

อภินันพนาการ

รหัสโครงการ SUT1-102-43-12-54



## รายงานการวิจัย

การศึกษาสมบัติเชิงพื้นผิวของวัสดุโพลีเมอร์โดยวิธีการจำลองแบบโมเดล

ด้วยคอมพิวเตอร์

(Molecular Simulation of Polymer at Surface and Interface)



ได้รับทุนอุดหนุนการวิจัยจาก  
มหาวิทยาลัยเทคโนโลยีสุรนารี

ผลงานวิจัยเป็นความรับผิดชอบของหัวหน้าโครงการวิจัยแต่เพียงผู้เดียว

รหัสโครงการ SUT1-102-43-12-54



## รายงานการวิจัย

การศึกษาสมบัติเชิงพื้นผิวของวัสดุโพลิเมอร์โดยวิธีการจำลองแบบโมเดลกูล

ด้วยคอมพิวเตอร์

(Molecular Simulation of Polymer at Surface and Interface)

หัวหน้าโครงการ

อาจารย์ ดร. วิสิษฐ์ แวงสูงเนิน

สาขาวิชาเคมี

สำนักวิชาวิทยาศาสตร์

มหาวิทยาลัยเทคโนโลยีสุรนารี

ได้รับทุนอุดหนุนการวิจัยจากมหาวิทยาลัยเทคโนโลยีสุรนารี ปีงบประมาณ พ.ศ. 2543

ผลงานวิจัยเป็นความรับผิดชอบของหัวหน้าโครงการวิจัยแต่เพียงผู้เดียว

มิถุนายน 2546

## กิตติกรรมประกาศ

ขอขอบคุณกลุ่มวิจัยเคมีคำนวณ มหาวิทยาลัยเทคโนโลยีสุรนารีที่เอื้อเพื่อการใช้เครื่องคอมพิวเตอร์ สมรรถนะสูงในการทำวิจัย Prof. Wayne Mattice (Department of Polymer Science, University of Akron, Ohio, USA) ผู้ร่วมเขียนบทความวิจัยและครวதงานศัลยบัณฑิตภาษาอังกฤษเพื่อตีพิมพ์ในวารสาร Macromolecular Theory and Simulations ทั้งสองบทความ Prof. Rahmi Ozisik (Department of Material Science and Engineering, Rensselaer Polytechnique Institute, New York, USA) ผู้ร่วมวิจัยในหัวข้ออนุภาคนาโน Dr.Guoqiang Xu (Department of Chemistry, Cornell University, New York, USA) ผู้ร่วมวิจัยในหัวข้อการตกแต่งในระบบนาโนไฟเบอร์ และขอขอบคุณองค์กรชาติการวารสาร Macromolecular Theory and Simulations ที่คิเว้นค่าธรรมเนียมในการคัดเลือกผลงานนี้เพื่อลงตีพิมพ์บนปกหน้าของวารสารดังกล่าว นับว่าเป็นเกียรติอย่างสูงสำหรับผู้วิจัยซึ่งได้ดำเนินการวิจัยชุดนี้ทุกขั้นตอนในประเทศไทย



## บทคัดย่อ

ได้นำเทคนิค monocentric โครงสร้าง 2nd นาใช้ในการจำลองแบบพอลิเอทิลีนนานาโน่ไฟเบอร์ และอนุภาคนาโน่โดยการรวมอันตราริยาภัยในโมเลกุลและระหว่างโมเลกุลเป็นตัวแทนพลังงานของระบบ nano ไฟเบอร์และอนุภาคนาโน่สร้างขึ้นได้จากการเพิ่มมิติของกล่องจำลองแบบให้ข้าวมากพ่อนไม่มีแรงกระทำระหว่างกันกับโมเลกุลในกล่องข้างเคียง เช่น กรณีของนาโน่ไฟเบอร์จะมีเงื่อนไขการเป็นคานของกล่องจำลองแบบเพียง 1 มิติ เนื่องจากตัวแบร์เพลส์งานระหว่างโมเลกุลมีค่าเป็นลบ ดังนั้นโครงสร้างที่เสถียรสามารถเกิดขึ้นได้จากแรงดึงดูดดังกล่าว พอลิเอทิลีนนานาโน่ไฟเบอร์และอนุภาคนาโน่จาก  $C_{100}H_{204}$  จำนวน 72 โมเลกุลจะมีรัศมีประมาณ 5.0 nm บนโครงสร้าง 2nd สำหรับอนุภาคนาโน่ที่ได้ ฟังก์ชันการกระจายความหนาแน่นเชิงรัศมีจะมีลักษณะแบบไฮเปอร์โนบลิก โดยมีก้อนของปลายสายโซ่รวมกันที่พื้นผิวในขณะที่ส่วนภายนอกของโมเลกุลจะพบได้ด้วยลงที่บริเวณนี้ การจัดเรียงในทิศทางเฉพาะจะพบทั้งระดับส่วนย่อยของสายโซ่และระดับโมเลกุล พลังงานพื้นผิวคำนวณได้โดยตรงจากพลังงานที่เกิดขึ้นบนโครงสร้างและแสดงเป็นฟังก์ชันกับรัศมี เมื่อเปรียบเทียบอนุภาคนาโน่ที่มีขนาดต่างกัน (ในช่วง 5.6 ถึง 7.6 nm) โดยมีจำนวนของโมเลกุลเท่านั้นที่แตกต่างกันพบว่ามีลักษณะที่เหมือนกัน การจำลองแบบกระบวนการตกผลึกของโมเลกุลพอลิเมอร์ในนาโน่ไฟเบอร์โดยการลดอุณหภูมิลงอย่างรวดเร็วที่ 298 K พนว่านาโน่ไฟเบอร์จะประกอบไปด้วยสายโซ่ยึดกีดหันซึ่งจะจัดเรียงบนแนวแกนไฟเบอร์ บริเวณใกล้กับแกนไฟเบอร์จะมีความหนาแน่น้อยและไร้ระเบียนมากกว่าบริเวณอื่น การเพิ่มอุณหภูมนิ่งไฟเบอร์ให้สูงขึ้นคำกว่าจุดหลอมเหลวประมาณ 10 K พนว่าบริเวณที่ไร้ระเบียนนี้จะกำจัดได้หากเมื่อเทียบกับการตกผลึกของพอลิเมอร์ในระบบพิล์มนาง

## ABSTRACT

Monte Carlo simulations of polyethylene (PE) nanofiber and nanoparticle were performed on the second nearest neighbor diamond (2nnd) lattice by including short and long-range interactions. Both nanofiber and nanoparticle can be obtained from equilibrate melts snapshots by increasing periodic side of two or three perpendicular directions to infinity. There is only one effective periodic boundary condition in the simulation of nanofiber. The presence of the attractive long-range interactions gives cohesion to the structure. PE nanofiber and nanoparticle, which contain up to 72 chains of  $C_{100}H_{204}$  and have the radius  $\sim 5.0$  nm, have been produced and equilibrated on the 2nnd lattice. In these nanoparticles, the density profiles are hyperbolic, with end beads being more abundant than the middle beads at the surface. There are orientational preferences at the surface on the scale of individual bond and whole chains. Surface energies can be calculated directly from the on-lattice energies and presented as a function of the nanoparticle radius. Comparison of nanoparticle with different thickness (the range from 5.6 to 7.6 nm), which contain different number of chains, does not indicate any significant differences in local and global equilibrium properties. Simulation of the nanofiber crystallization quenched from the melt to 298 K shows that the nanofiber adopts a configuration dominated by extended chains aligned parallel to the fiber axis. The vicinity of the fiber axis is less dense, and less well ordered, than the portions of the fiber located further from the fiber axis. Annealing at  $\sim 10$  K below its melting temperature finds that this low-density region inside the fiber is not as easily removed, as is the grain boundary that usually develops inside a free-standing thin film upon rapid crystallization.

## สารบัญ

กิตติกรรมประกาศ .....	หน้า
บทคัดย่อภาษาไทย .....	ก
บทคัดย่อภาษาอังกฤษ .....	ข
สารบัญ .....	ค
สารบัญตาราง .....	ง
สารบัญภาพ .....	ช

### บทที่ 1 บทนำ

ความสำคัญและที่มาของปัญหาการวิจัย .....	1
การจำลองแบบไม่เลกุลเพื่อศึกษาสมบัติเชิงพื้นผิวของวัสดุพอลิเมอร์ .....	1
วัตถุประสงค์ของการวิจัย .....	3
ขอบเขตของการวิจัย .....	3
ประโยชน์ที่ได้รับจากการวิจัย .....	3

### บทที่ 2 หลักการและทฤษฎีของการจำลองแบบไม่เลกุลระบบพอลิเมอร์

การจำลองแบบไม่เลกุลระบบพอลิเมอร์ .....	4
แบบจำลอง ไม่เลกุลพอลิเมอร์ โดยทฤษฎีไอโซเมอร์ เชิงโครงรูป .....	5
แบบจำลอง ไม่เลกุลพอลิเมอร์ โดยเทคนิคอนติการ์โลบัน โครงผลึกที่มีเลขโภอร์คิเนชันสูง .....	8

### บทที่ 3 การจำลองแบบอนติการ์โลสำหรับสมบัติเชิงสถิตและผลวัตถุของอนุภาคนาโนจากพอลิเมอร์อสันชูน

บทนำ .....	14
วิธีการจำลองแบบไม่เลกุล .....	14
การจำลองแบบพอลิเอทิลีนบัน โครงผลึก 2nnnd .....	14
การจำลองแบบอนุภาคนาโนจากพอลิเมอร์อสันชูน .....	16
ผลการวิจัยและการอภิปราย .....	19

สมบัติเชิงสถิติ.....	19
การกระจายความหนาแน่นเชิงรัศมี.....	19
สมบัติระดับโมเลกุลและส่วนย่อยโมเลกุล .....	22
การจัดเรียงระดับส่วนย่อยของสายโซ่.....	24
การจัดเรียงระดับโมเลกุล.....	26
ผลงานพื้นผิว.....	27
สมบัติเชิงพลวัต.....	29
การเคลื่อนที่ของพอลิเมอร์ระดับหน่วยย่อย.....	29
การขัดเรียงเชิงพลวัตของส่วนย่อยในสายโซ่.....	29
การเคลื่อนที่แบบหมุนรอบ.....	31
การเคลื่อนที่แบบเดือนตำแหน่ง.....	34
สรุป.....	39
บทที่ 4 การตกผลึกของโมเลกุลพอลิเมอร์ในระบบฟิล์มบางและนาโนไฟเบอร์	
บทนำ.....	40
วิธีการจำลองแบบโมเลกุล.....	43
ผลการศึกษาและการอภิปราย.....	43
การตกผลึกของนาโนไฟเบอร์.....	43
การเปลี่ยนโครงสร้างของนาโนไฟเบอร์ที่อุณหภูมิสูง.....	49
สรุป.....	50
บรรณานุกรม .....	51
ภาคผนวก	
ผลงานคีพินพ์จากงานวิจัยนี้ .....	53
ประวัติผู้วิจัย .....	54

## สารบัญตาราง

หน้า

ตารางที่ 2.1: การจำแนกกลุ่มของโครงรูปพอลิเอทิลีนในแบบจำลองโครงผลึก 2nd.....	10
ตารางที่ 2.2: ชุดตัวแปรของอันตรภิริยาบนโครงผลึก 2nd สำหรับพอลิเอทิลีน.....	12
ตารางที่ 3.1: เวลาผ่อนคลายสำหรับการเคลื่อนที่แบบหมุนของไมเลกุลพอลิเมอร์ ( $\tau_R$ ) และเวกเตอร์ส่วนย่อยของสายโซ่ ( $\tau_s$ ) .....	33
ตารางที่ 3.2: เลขยกกำลัง ‘a’ ( $MSD \sim t^a$ ) จากกราฟแบบ log-log ของการขัดยกกำลังสอง เคลื่อนที่กับเวลา.....	33
ตารางที่ 3.3: การเปรียบเทียบเวลาผ่อนคลายของการเคลื่อนที่แบบเดือนตำแหน่งสำหรับ <sup>ส่วนกลาง ส่วนปลาย และจุดศูนย์กลางมวลของไมเลกุลพอลิเมอร์</sup> .....	38



รูปที่ 3.1: การสร้างแบบจำลอง โนเลกุลของพอลิเมอร์ (a) จากระบบไม่มีพื้นผิว (3D) → อนุภาคนาโน และ (b) จากระบบไม่มีพื้นผิว (3D) → พิล์มนบาง (2D) → นาโนไฟเบอร์ (1D) → อนุภาคนาโน.....	18
รูปที่ 3.2: ภาพแสดงอนุภาคนาโนของพอลิเอทิลีนที่ประกอบขึ้นจากสายโซ่จำนวน 36 โนเลกุล โดยแต่สายโซ่แทน $C_{100}H_{204}$ ..... .....	19
รูปที่ 3.3: (a) การกระจายความหนาแน่นเชิงรัศมีโดยเป็นฟังก์ชันกับระยะห่างจากจุดศูนย์กลางมวลของอนุภาคนาโน (b) เลื่อนข้อมูลจากระบบ d36 เป็น ระยะเท่ากับ 0.10 nm เพื่อซ้อนทับกับข้อมูลจากระบบ d72..... .....	20
รูปที่ 3.4: ความหนาแน่นเชิงรัศมีสัมพัทธ์ของส่วนปลายและส่วนกลางของ สายโซ่ในอนุภาคนาโน..... .....	21
รูปที่ 3.5: การกระจายความหนาแน่นของจุดศูนย์กลางมวลโดยเป็นฟังก์ชันกับ ระยะห่างจากจุดศูนย์กลางมวลของอนุภาคนาโน..... .....	23
รูปที่ 3.6: การเปลี่ยนแปลงของแกนหลักในทรงรีที่แทน โนเลกุลพอลิเมอร์ โดยเป็นฟังก์ชันกับระยะห่างจากจุดศูนย์กลางมวลของอนุภาคนาโน..... .....	23
รูปที่ 3.7: การเปลี่ยนแปลงของรูปทรง โนเลกุล (asphericity และ acylindricity) โดยเป็นฟังก์ชันกับระยะห่างจากจุดศูนย์กลางมวลของอนุภาคนาโน..... .....	24
รูปที่ 3.8: ฟังก์ชันการจัดเรียงของส่วนย่อยจากสายโซ่ (ส่วนกลาง-, ส่วนปลาย- และทุกส่วน) โดยเป็นฟังก์ชันกับระยะห่างจากจุดศูนย์กลางมวลของอนุภาคนาโน..... .....	25
รูปที่ 3.9: ฟังก์ชันการจัดเรียงระดับ โนเลกุลของแกนหลักที่ 1 และที่ 3 ของทรงรีที่แทน โนเลกุลพอลิเมอร์โดยเป็นฟังก์ชันกับระยะห่างจากจุดศูนย์กลางมวลของอนุภาคนาโน..... .....	26
รูปที่ 3.10: ค่าเฉลี่ยของพลังงานภายใน โนเลกุล ระหว่าง โนเลกุลและพลังงานรวม ของอนุภาคนาโน โดยเป็นฟังก์ชันกับระยะห่างจากจุดศูนย์กลางมวลของอนุภาคนาโน..... .....	27

รูปที่ 3.11: ฟังก์ชันอัคตสหสัมพันธ์ของเวกเตอร์ส่วนย่อยในโมเลกุลโพลิเมอร์ของระบบ d36 (เส้นประ) และระบบ d72 (เส้นทึบ).....	30
รูปที่ 3.12: (a) ฟังก์ชันสหสัมพันธ์ของเวกเตอร์ที่เชื่อมระหว่างจุดปลายของโพลิเมอร์ตามวนรอบมอนติ คาร์โล ของระบบ d36 (เส้นประ) และระบบ d72 (เส้นทึบ) (b) ฟังก์ชันสหสัมพันธ์ของเวกเตอร์ที่เชื่อมระหว่างจุดศูนย์กลางอนุภาชนะในกับจุดศูนย์กลางของแต่ละ โมเลกุลความวนรอบมอนติ คาร์โล ของระบบ d36 (เส้นประ) และระบบ d72 (เส้นทึบ).....	32
รูปที่ 3.13: กราฟแบบ Log-log ของการจัดกลุ่มส่องแบบต่างๆเทียบกับเวลา (MCS) (a) ระบบ d36 และ (b) ระบบ d72 เทียบกับระบบที่ไม่มีพื้นผิว.....	37
รูปที่ 4.1 ลักษณะของผลึกที่อาจเกิดขึ้นได้ในกรณีของฟิล์มบาง (a, b) และนาโนไฟเบอร์ (c, d).....	42
รูปที่ 4.2 การเปลี่ยนแปลงของการกระจายความหนาแน่นเชิงรัศมีของนาโนไฟเบอร์เมื่อลดอุณหภูมิลงจาก 473 K เป็น 298 K ที่จำนวนวนรอบมอนติ คาร์โล (MCS) ต่างๆ .....	44
รูปที่ 4.3 ฟังก์ชันการจัดเรียงของส่วนย่อยในสายโซ่เทียบกับแกนของนาโนไฟเบอร์ที่จำนวนวนรอบมอนติ คาร์โลต่างๆ หลังการลดอุณหภูมิของระบบลงที่ 298 K .....	45
รูปที่ 4.4 การเปลี่ยนแปลงความหนาแน่นและฟังก์ชันการจัดเรียงในบริเวณ 4 Å และ 20 - 24 Å จากแกนไฟเบอร์.....	46
รูปที่ 4.5 ความน่าจะเป็นโดยเฉลี่ยของโครงรูปโพลิเมอร์ ( <i>t</i> คือ <i>trans</i> , <i>g</i> คือ <i>gauche</i> ) สำหรับพันธะ C-C ที่ 298 K.....	47
รูปที่ 4.6 โครงสร้างของนาโนไฟเบอร์ที่อุณหภูมิ 298 K (a) ภาพตามแนวแกนนาโนไฟเบอร์ (b) ภาพตัดขวางของนาโนไฟเบอร์.....	48
รูปที่ 4.7 การเปลี่ยนแปลงของฟังก์ชันการจัดเรียงของนาโนไฟเบอร์และโพลิเมอร์ฟิล์มบางที่อุณหภูมิ 380 K.....	49

## บทที่ 1

### บทนำ

#### 1.1 ความสำคัญและที่มาของปัญหาที่ทำการวิจัย

การจำลองแบบโมเดลคัวคูกอนพิวเตอร์จัดเป็นงานวิจัยแขนงใหม่ที่มีความสำคัญมากในปัจจุบันโดยเป็นเทคนิคที่ชื่อมโยงความเข้าใจและตรวจสอบผลการศึกษาด้วยวิธีการทดลองและทางทฤษฎี การจำลองแบบโมเดลคัวคูกอนพิวเตอร์ช่วยลดข้อจำกัดบางประการที่ไม่อ้างอิงทำได้ด้วยการทดลอง เช่น กรณีที่การทดลองมีความซุ่มยากหรือค่าใช้จ่ายสูง นอกจากนี้แล้วยังมีการนำเทคนิคการจำลองแบบโมเดลมาใช้เพื่อตรวจสอบผลจากทฤษฎีอีกด้วยเนื่องจากการศึกษาทางทฤษฎีมักถูกจำกัดจากการกำหนดสมมุติฐานเพื่อให้แก่ปัญหาได้ง่ายขึ้นคำตอบที่ได้จึงเป็นเพียงการทำนายแนวโน้มของระบบที่ศึกษา

ได้มีการศึกษาวิศวศุภลักษณ์เมอร์โคลีวิธีการจำลองแบบโมเดลคัวคูกอนพิวเตอร์ช่วงไม่กี่สิบปีที่ผ่านมาในต่างประเทศ วิธีดังกล่าวจัดเป็นเทคโนโลยีขั้นสูงที่จะมีความสำคัญอย่างมากในอนาคตสำหรับการสร้างวัสดุพอลีเมอร์ชนิดใหม่ที่มีสมบัติตามต้องการก่อนการสังเคราะห์ขึ้นภายหลังเพื่อลดค่าใช้จ่ายและเวลาขั้นการทดลอง หรือเรียกว่า Computer-Aided Material Design (CAMD) ในต่างประเทศ เช่น สหรัฐอเมริกา ได้จัดงานวิจัยแขนงนี้ให้เป็นแผนงานวิจัยเชิงยุทธศาสตร์ในอนาคตทางสาขาวิชาศุภศาสตร์และได้มีการจัดสรรงบประมาณสนับสนุนการวิจัยที่สูงมาก นอกจากรายงานวิจัยเชิงวิชาการแล้วยังมีงานวิจัยที่ในส่วนของภาคเอกชนอีกด้วยโดยเฉพาะบริษัทขนาดใหญ่ที่ดำเนินธุรกิจเกี่ยวกับวัสดุพอลีเมอร์ในต่างประเทศก็ได้มีความตื่นตัวในการใช้เทคโนโลยีดังกล่าวในแผนงานวิจัยและพัฒนาเพื่อเพิ่มศักยภาพในการแข่งขัน [1]

งานวิจัยในหัวข้อนี้ยังไม่มีในประเทศไทยทั้งนี้อาจเป็นเพราะว่าซอฟต์แวร์ที่ใช้ในงานวิจัยแขนงนี้มีราคาสูงหลายล้านบาทและขาดผู้ที่มีความชำนาญเป็นพิเศษ งานวิจัยชุดนี้จึงเป็นงานแรกที่ได้เริ่มต้นขึ้นและเน้นการพัฒนาซอฟต์แวร์ขึ้นใช้เอง โดยมีความร่วมมือทางวิชาการกับสาขาวิชาศุภศาสตร์พอลีเมอร์ มหาวิทยาลัยออกซฟอร์ด ประเทศอังกฤษ ประเทศสหรัฐอเมริกา

#### 1.2 การจำลองแบบโมเดลเพื่อศึกษาสมบัติเชิงพื้นผิวของวัสดุพอลีเมอร์

การศึกษาสมบัติเชิงพื้นผิวของวัสดุพอลีเมอร์นั้นมีความน่าสนใจทั้งเชิงวิชาการระดับสูงและเชิงประยุกต์ ความเข้าใจปัญหานี้จะมีความสำคัญต่อเทคโนโลยีที่เกี่ยวข้องกับการใช้วัสดุพอลีเมอร์ในชีวิตประจำวัน เช่น การติดปีก การเคลือบผิว การหล่อลิฟต์ วัสดุคอมพิวเตอร์ เป็นต้น [2] ในระยะแรกได้มีการใช้

ทฤษฎีทางฟิสิกส์ [3-6] เพื่อศึกษาสมบัติเชิงพื้นผิวของโพลีเมอร์ เช่น วิธี Self-consistent mean-field lattice model, scaling theory, pragmatic theory เป็นต้น การวิจัยโดยวิธีทฤษฎีจะมีข้อจำกัดเนื่องจากได้ผลการทำงานของสมบัติในเชิงคุณภาพเท่านั้นเนื่องจากมักจำลองโมเดลกูลโพลีเมอร์ให้เป็นการแก้ปัญหาเชิงคณิตศาสตร์ของการเดินแบบสุ่ม (random walk problem) ในสิ่งแวดล้อมที่จำกัด โดยพื้นผิวอุบัติ นอกเหนือไปนี้ดังแม่ได้มีเทคนิคการทดลองใหม่ๆ สำหรับการศึกษาพื้นผิวของวัสดุโพลีเมอร์ เช่น X-ray Photoelectron Spectrometry (XPS), Forward Recoil Spectrometry (FRES), Nuclear Reaction Analysis (NRA), Secondary Ion Mass Spectrometry (SIMS), Neutron Reflectivity (NR), Attenuated Total Reflection FTIR Spectroscopy แต่เทคนิคการทดลองเหล่านี้ค่อนข้างซับซ้อน และมีค่าใช้จ่ายสูงทำให้ความเข้าใจรายละเอียดระดับอะตอมยังเป็นเรื่องที่กระทำได้ยากในปัจจุบัน [1-3] การศึกษาปัญหานี้โดยเทคนิคการจำลองแบบโมเดลกูลด้วยคอมพิวเตอร์จึงเป็นตัวเลือกที่น่าสนใจเพื่อเสริมภาระการศึกษาโดยวิธีทฤษฎีและการทดลองเพื่อลดข้อจำกัดดังกล่าว

โมเดลกูลโพลีเมอร์ที่อยู่ใกล้กับพื้นผิวนี้มีสมบัติและพฤติกรรมทั้งเชิงสถิติและพลวัตที่แตกต่างจากโมเดลกูลในระบบที่ไม่มีพื้นผิว สมบัติสำคัญที่ต่างกัน เช่น รูปทรงของโมเดลกูล การจัดเรียงของโมเดลกูลแบบมีทิศทาง การเกาะกลุ่มที่พื้นผิวของจุดปลายในสายโซ่ ความเร็วและทิศทางการแพร่ของโมเดลกูล เป็นต้น ความเข้าใจสมบัติเชิงพื้นผิวคังกล่าวจำเป็นต้องทราบรายละเอียดระดับโมเดลกูลซึ่งมีค่าใช้จ่ายสูงในการทดลอง จากการสำรวจงานวิจัยที่ผ่านมาพบว่าได้มีการนำเทคนิคการจำลองแบบโมเดลกูลหลายวิธีเพื่อศึกษาสมบัติเชิงพื้นผิวโพลีเมอร์ เช่น เทคนิคเคมีความอนตัมแบบ ab initio และ semi-empirical , โมเดลกูลร์เมคานิกส์, โมเดลกูลร์ไอนามิกส์, มองดิคาร์โล เป็นต้น [1-9]

ระเบียบวิธีข้างต้นมีข้อดีและข้อด้อยที่แตกต่างกันซึ่งมักเกี่ยวข้องกับขนาดและเวลาของระบบ การตัดสินใจเลือกเทคนิคการจำลองแบบโมเดลกูลนั้นต้องคำนึงถึงด้วยปัญหาเป็นหลักกว่าต้องการคำตอบเหล่านี้ได้ ตัวอย่างเช่น การใช้เทคนิค โมเดลกูลร์เมคานิกส์ [7] หรือ โมเดลกูลร์ไอนามิกส์ [8-9] ระบบที่ศึกษาต้องมีขนาดไม่เกิน 100 อังศูนย์ และเวลาานานไม่เกินระดับนาโนวินาที ดังนั้นการคำนวณสมบัติที่อยู่เกินขอบเขตนี้จะต้องใช้วิธีการจำลองแบบโมเดลกูลประเภทอื่น เช่น ใช้เทคนิค มองดิคาร์โล ที่ปรับแบบจำลองระดับที่เหมาะสมขึ้น

โครงการนี้จะศึกษาสมบัติเชิงพื้นผิวของวัสดุโพลีเมอร์ที่มีผิวสัมผัสกับสิ่งแวดล้อมโดยใช้เทคนิคที่ปรับปรุงเพิ่มเติมจากวิธีที่พัฒนาโดย Mattice et al. [10-11] ระเบียบวิธีนี้ใช้ศึกษาวัสดุโพลีเมอร์จริงแต่ละชนิดได้โดยการแทนหน่วยเคมีด้วยพจน์ของแบบจำลองที่ขึ้นกับพลังงาน จากนั้นจึงใช้อัลกอริ

ที่มีแบบมอนติคาร์โลบนโครงสร้างเพื่อทำให้การคำนวณเร็วขึ้น สมบัติต่างๆ ของระบบหาได้จากค่าเฉลี่ยแบบองค์รวมเบ็ดเตล็ด

### 1.3 วัตถุประสงค์ของโครงการ

1. การถ่ายทอดเทคโนโลยีและองค์ความรู้จากต่างประเทศของงานวิจัยทางค้านการจำลองแบบโมเดลระบบพอลิเมอร์
2. ศึกษาการสร้างและการพัฒนาซอฟต์แวร์ที่ใช้ในการจำลองแบบโมเดลระบบพอลิเมอร์เน้นสมบัติเชิงพื้นผิว
3. เป็นโครงการนำร่องเพื่อนำไปสู่การศึกษาระดับโมเดลของสมบัติอื่นๆ ของวัสดุพอลิเมอร์โดยวิธีการจำลองแบบโมเดลคุณภาพคอมพิวเตอร์
4. เป็นแนวทางสำหรับการทำวิจัยประกอบวิทยานิพนธ์ของนักศึกษาระดับบัณฑิตศึกษาของมหาวิทยาลัยเทคโนโลยีสุรนารีในอนาคต

### 1.4 ขอบเขตของงานวิจัย

งานวิจัยโครงการนี้มุ่งความสนใจในการใช้เทคนิคการจำลองแบบระดับโมเดลกับระบบพอลิเมอร์ที่ยังไม่ได้ศึกษามาก่อนหรือปัญหาวิจัยที่ยังไม่ค้าตอบไม่ชัดเจน โดยเน้นการศึกษาระบบที่มีความสำคัญต่อการประยุกต์ทางเทคโนโลยี 2 หัวข้อที่ต้องเน้นกัน ดังนี้

1. การจำลองแบบโมเดลเพื่อศึกษาสมบัติเชิงพื้นผิวของวัสดุพอลิเมอร์
2. การศึกษาระบวนการตกหลักของโมเดลพอลิเมอร์ในพื้นผิวขากร้าว

### 1.5 ประโยชน์ที่ได้จากการวิจัย

1. การพัฒนาองค์ความรู้และซอฟต์แวร์ที่ใช้ในการจำลองแบบโมเดลระบบพอลิเมอร์
2. ทำนายสมบัติวัสดุพอลิเมอร์ที่ศึกษาได้จากการทดลองและทางทฤษฎี
3. ได้ผลงานตีพิมพ์ระดับนานาชาติโดยใช้ต้นทุนการทำวิจัยน้อย

## บทที่ 2

### หลักการและทฤษฎีของการจำลองแบบโมเดลระบบพอลิเมอร์

#### 2.1 การจำลองแบบโมเดลระบบพอลิเมอร์

การจำลองแบบโมเดลของวัสดุพอลิเมอร์นั้นได้เริ่มนีการศึกษาในช่วงไม่กี่สิบปีที่ผ่านมาถึงแม้ว่าได้มีงานวิจัยเกี่ยวกับการศึกษาลักษณะเชิงโครงสร้างของโมเดลพอลิเมอร์คัวคณพิวเตอร์เป็นเวลานานแล้วก็ตาม ปัญหาหลักของงานวิจัยระบบพอลิเมอร์คือการเป็นโมเดลขนาดใหญ่และมีจำนวนองศาสรวมอิสระสูง การคำนวณระบบใหญ่คัวคณพิวเตอร์ยังคงกระทำได้ยากในปัจจุบัน เทคนิกที่ใช้ศึกษาพอลิเมอร์ในปัจจุบัน ได้แก่ การใช้วิธีเคมีความตื้น โมเดลถาวรเมียนิกส์ โมเดลถาวรไคโนมิกส์และมอนติคาร์โล เป็นต้น

การคำนวณแบบเคมีความตื้นหรืออาจเรียกว่าการคำนวณออร์บิทัลเชิงโมเดล (MO) เนื่องจากขั้นตอนการคำนวณนักประดิษฐ์คุ้มครองห้ามใช้ในวงรอบงานกระทั้งได้โมเดลถาวร ออร์บิทัลที่คีที่สุด พื้นฐานเชิงทฤษฎีสำหรับการคำนวณระดับความตื้นนี้จะเริ่มจากการกำหนด Hamiltoian ของระบบจากคำดำเนินของนิวเคลียสโดยไม่เข้ากับเวลาและไม่มีผลจากสัมพัทธภาพซึ่งทำให้ได้สมการ Schrodinger ที่มีค่าไอเกนฟังก์ชันเป็นโมเดลถาวร ออร์บิทัล Psi การคำนวณ MO โดยไม่ใช้การประมาณใดๆเรียกว่าการคำนวณแบบ ab initio ซึ่งความแม่นยำของวิธีนี้ขึ้นอยู่กับคุณภาพของ atomic-like orbital หรือ basis function เวลาที่ใช้ในการคำนวณจะเปรียบเท่า  $N^4$  เมื่อ N เป็นจำนวนของ basis function หรือจำนวนอะตอม วิธีจึงใช้ได้กับระบบที่มีขนาดไม่เกิน 100 อะตอม ในปัจจุบันการคำนวณระดับเคมีความตื้นยังคงมีจำกัดสำหรับระบบพอลิเมอร์ โดยทั่วไปมักใช้เทคนิคนี้ในการพัฒนาสถานะแรงหรือศึกษาโครงสร้างอิเล็กตรอนของส่วนย่อยขนาดเล็กของพอลิเมอร์เท่านั้น

โมเดลถาวรเมียนิกส์ (MM) เป็นวิธีอ่ายोงง่ายโดยศึกษาผลที่เกิดขึ้นจากแรงกระทำระหว่างนิวเคลียสเท่านั้น โดยใช้ฟังก์ชันคณิตศาสตร์แทนสถานะแรงในระบบ เช่น พลังงานในการขึ้นพันธะ พลังงานรอบมุนบิดหรือพลังงานที่เกิดจากอันตรกิริยาระหว่างอนุภาค เป็นต้น จากนั้นจะคำนวณหาโครงสร้างและสมบัติเชิงสถิติของโมเดลโดยคำนวณจากสถานะแรงเหล่านี้ การใช้ระบบที่มีวิธีนี้ข้อคือสามารถศึกษาระบบที่ใหญ่ได้แต่มักมีข้อจำกัดของการคำนวณ โดยมักมีปัญหาจากเรื่องคุณภาพของสถานะแรงที่ใช้

เทคนิคโนมเลกูลาร์ไดนามิกส์มีลักษณะคล้ายกับเทคนิคโนมเลกูลาร์เมcanicnikส์โดยมีการใช้สنانัมแรงเพื่อศึกษาระบบโนมเลกูล แต่นำกฎการเคลื่อนที่ เช่น กฎของนิวตัน  $F = ma$  มาเป็นกรอบในการกำหนดคุณิติการเคลื่อนที่ของอนุภาคในระดับอุบลภาคเพื่อใช้แทนค่าเฉลี่ยของช่วงเบล สมบัติของระบบหั้งเชิงสติ๊กและเชิงพลวัตจะศึกษาได้โดยใช้เทคนิคนี้ แต่มีข้อเดียวกับลักษณะกับเทคนิคโนมเลกูลาร์เมcanicnikส์ในเรื่องของสنانัมแรง นอกจานนี้ยังมีข้อจำกัดในเรื่องขนาดและนิติเวลาของระบบที่ต้องอยู่ในช่วงนาโนเมตรและนาโนวินาที ตามลำดับ

เทคนิคสอนติคาร์โลจะคล้ายกับเทคนิคโนมเลกูลาร์ไดนามิกส์โดยระบบจะมีการเปลี่ยนตำแหน่งของอนุภาคในแต่ละวินาที ถึงที่แตกต่างจากเทคนิคโนมเลกูลาร์ไดนามิกส์คือวิธีการเปลี่ยนตำแหน่งของอนุภาคจะเป็นแบบสุ่ม โดยขึ้นอยู่กับการเปลี่ยนแปลงของพลังงานในระบบเป็นสำคัญ ข้อดีของเทคนิคสอนติคาร์โลจะเป็นเรื่องของการขยายขนาดและนิติเวลาในการจำลองแบบโนมเลกูลโดยการปรับให้แบบจำลองโนมเลกูลในระดับขยายเพื่อลดความเป็นอิสระของระบบลง ดังนั้น หากระบบที่ต้องการศึกษามีขนาดใหญ่ การเลือกใช้เทคนิคสอนติคาร์โล จะเป็นวิธีที่เหมาะสม

แบบจำลองระดับอะตอมของวัสดุพอลิเมอร์สัมฐานได้สร้างขึ้นครั้งแรกในปี 1985 ที่ ภาควิชาวิศวกรรมเคมี Massachusette Institute of Technology (MIT) [7] อ้าง ไว้กีตามะเบี่ยนวิธีดังกล่าวขึ้นเมื่อจำกัดจากการใช้ขนาดของแบบจำลองโนมเลกูลที่เล็กและต้องใช้เวลาในการคำนวณนานมากจนกระหั้นไม่สามารถศึกษาสมบัติที่สำคัญของย่างของวัสดุพอลิเมอร์ได้ตามต้องการ หลังจากนั้นจึงมีกลุ่มนักวิจัยได้พยายามพัฒนาเทคนิคใหม่ๆ ในการสร้างแบบจำลองวัสดุพอลิเมอร์สัมฐานคุ้มคอมพิวเตอร์ขึ้นมาเพื่อแก้ไขข้อจำกัดดังกล่าว

Mattice et al. [10-11] ได้พัฒนาเทคนิคการจำลองแบบโนมเลกูลวัสดุพอลิเมอร์โดยวิธีสอนติคาร์โล โดยรวมข้อดีจากการใช้แบบจำลองโครงผลึกและปรับแบบจำลองโนมเลกูลพอลิเมอร์ให้ขยายขึ้นแต่บังคับลักษณะเฉพาะของพอลิเมอร์แต่ละชนิด ข้อดีคือกล่าวทำให้ช่วยเวลาในการคำนวณจริงได้มาก โนมเลกูลพอลิเมอร์จะแทนด้วยแบบจำลองไอโซเมอร์โครงรูป (RIS) ระดับขยายที่สร้างขึ้นจากพื้นฐานของกลศาสตร์สติ๊ก วิธีนี้มีข้อ ได้เปรียบจากวิธีอื่นๆ เนื่องจากสามารถขยายขอบเขตทางนิติเวลาและขนาดของระบบที่ศึกษาให้ครอบคลุมพอดีในการศึกษาสมบัติต่างๆ ของวัสดุพอลิเมอร์เนื่องจากการคำนวณระดับอะตอมโดยวิธีโนมเลกูลาร์ไดนามิกส์ โนมเลกูลาร์เมcanicnikส์ หรือ เคมีความต้ม จะจำกัดอยู่ในช่วงเวลาที่แคบ (ระดับนาโนวินาที) และขนาดที่เล็กมาก (ระดับนาโนเมตร) ระเบียบวิธีนี้ยังมีข้อ ได้เปรียบ

เมื่อเทียบกับเทคนิคอนดิكار์โลอีนซึ่งสามารถทำนายได้เพียงสมบัติของวัสดุพอลิเมอร์อย่างไม่เจาะจงหรือให้คำศوبเชิงแนวโน้มที่เทียบเคียงกับพอลิเมอร์จริงแต่ละชนิดไม่ได้

## 2.2 แบบจำลองโมเลกุลพอลิเมอร์โดยทฤษฎีไอโซเมอร์เชิงโครงรูป

ทฤษฎีไอโซเมอร์เชิงโครงรูปสร้างขึ้นจากหลักการของกลศาสตร์สถิติโดย Flory [12] ผู้ได้รับรางวัลโนเบลสาขาเคมี ปี 1974 ผลสำคัญที่ได้จากการประยุกต์เพื่อศึกษาสมบัติที่ขึ้นกับโครงรูปของพอลิเมอร์ เช่น การทำนายค่า Intrinsic Viscosity, NMR coupling constant, Dipole Moment, Optical Anisotropy, Optical Activity, Electronic Excitation และ Scattering of Radiation เป็นต้น

หลักการสำคัญของทฤษฎีนี้คือการหาอันตรกิริยาห่วงหนูเคลมีที่กระทำต่อ กันเมื่อหมุนมุมบิดและเลือกจำนวนไอโซเมอร์เชิงโครงรูปที่มีพลังงานค่าเป็นตัวแทนโครงรูปที่สำคัญ จากนั้นจึงสร้าง矩阵ตัวแปรเพื่อแทนความแรงของอันตรกิริยาเหล่านั้นแล้วจัดให้อยู่ในรูปแมทริกซ์ต่อไปนี้หนักเชิงสถิติ (statistical weight matrices) ตัวอย่างเช่น พอลิเอทิลีนจะมีแมทริกซ์ต่อไปนี้หนักเชิงสถิติของแต่ละพันธะ  $\text{CH}_2-\text{CH}_2$  เป็น

$$U = \begin{bmatrix} 1 & \sigma & \sigma \\ 1 & \sigma & \sigma\omega \\ 1 & \sigma\omega & \sigma \end{bmatrix} \quad (2.1)$$

โดยแมทริกซ์คุณต์ที่ได้มีขนาด  $3 \times 3$  ตามจำนวนไอโซเมอร์โครงรูป คือ trans, gauche+ และ gauche- ตัวแปร  $\sigma$  และ  $\omega$  คือ อันตรกิริยาปฐมภูมิและอันตรกิริยาทุคัญภูมิซึ่งนิยามจาก  $\exp(-E_\sigma/kT)$  และ  $\exp(-E_\omega/kT)$  ตามลำดับ เมื่อ  $E_\sigma \sim 2.1$  และ  $E_\omega \sim 7.5 \text{ kJ/mol}$  ที่  $300 \text{ K}$

การคำนวณหาสมบัติที่ขึ้นอยู่กับโครงรูปของโมเลกุลพอลิเมอร์ทำได้โดยวิธีการคูณ super generator matrice ( $G$ ) ดังนี้

$$\langle A_0 \rangle = Z^{-1} \prod G \quad (2.2)$$

โดย super generator matrice เป็นแมทริกส์ที่ประกอบขึ้นจากค่าถ่วงน้ำหนักเชิงสถิติและตัวแปรที่เกี่ยวข้องกับสมบัติที่ศึกษาซึ่งนิยามในเชิงคณิตศาสตร์ได้จากการรวม 3 แมทริกซ์ เข้าด้วยกัน ได้แก่ แมทริกส์ถ่วงน้ำหนักเชิงสถิติ ( $U$ ), แมทริกซ์เอกลักษณ์ ( $E$ ) และ แมทริกซ์ทะແຍນแบบบล็อก  $\|F\|$ , ดังนี้

$$G_i = (U_i \otimes E_s) \|F_i\| \quad (2.3)$$

สำหรับพาร์ทิชันพิงก์ชันหาได้จากผลคูณของแมทริกซ์ถ่วงน้ำหนักเชิงสถิติ ( $U$ ) โดย

$$Z = \prod_i U_i \quad (2.4)$$

ตัวอย่างการประยุกต์ทฤษฎี RIS เช่น การคำนวณระยะห่างของจุดปลายกำลังสองเฉลี่ย (mean-square end-to-end distance) ซึ่งเป็นปริมาณที่เกี่ยวข้องกับความหนืดเหลวตัว (intrinsic viscosity,  $[\eta]$ ) ของสารละลายน้ำมัน เช่นเดียวกับผลคูณ super generator matrice ( $G$ ) ตามสมการ

$$r^2 = G_1 G_2 G_3 \dots G_{n-1} G_n \quad (2.5)$$

โดย

$$G_i = \begin{bmatrix} 1 & 2l^T T & l^2 \\ 0 & T & l \\ 0 & 0 & 1 \end{bmatrix}_i \quad (2.6)$$

เมื่อ  $I$  คือ ความยาวพันธะ (1.53 อังสตروم สำหรับ  $-\text{CH}_2-\text{CH}_2-$ ) และ  $T$  คือ แมทริกซ์การแปลงเชิงเรขาคณิต (transformation matrix) ซึ่งรวมตัวแปรทั้งมุมพันธะ ( $\theta$  มีค่าประมาณ  $112^\circ$  สำหรับมุม  $\text{CH}_2-\text{CH}_2-\text{CH}_2$ ) และมุมเบิด ( $\phi$  มีค่าประมาณ  $0^\circ, 60^\circ, 120^\circ$  สำหรับโครงรูป trans, gauche+, gauche- ของมุมเบิด  $\text{CH}_2-\text{CH}_2-\text{CH}_2-\text{CH}_2$ ) นิยามโดย

$$T_i = \begin{bmatrix} -\cos \theta & \sin \theta & 0 \\ -\sin \theta \cos \phi & -\cos \theta \cos \phi & -\sin \phi \\ -\sin \theta \sin \phi & -\cos \theta \sin \phi & \cos \phi \end{bmatrix} \quad (2.7)$$

นอกจากการคำนวณสมบัติของพอลิเมอร์โมเลกุลเดี่ยวแล้ว แบบจำลอง RIS ยังนำไปใช้เป็นส่วนหนึ่งของการจำลองแบบระดับโมเลกุลโดยวิธีโมเลกุลาร์เมคนิกส์ โมเลกุลาร์ไดนามิกส์ และมอนติคาร์โลที่มีจำนวนโมเลกุลมากอีกด้วย แบบจำลองดังกล่าวจะทำให้ทราบที่แท้จริงของโครงรูปของแต่ละโมเลกุลหรือแทนการหาผลลัพธ์งานภาคในแต่ละโมเลกุล หัวข้อดังไปจะเป็นการนำแบบจำลอง RIS เพื่อประยุกต์ในการจำลองแบบโดยเทคนิค蒙ติคาร์โลบนโครงผลึกที่มีเลขโภอร์ดิเนชันสูง

### 2.3 แบบจำลองโมเลกุลพอลิเมอร์โดยเทคนิค蒙ติคาร์โลบนโครงผลึกที่มีเลขโภอร์ดิเนชันสูง

เนื่องจากพอลิเมอร์เป็นโมเลกุลขนาดใหญ่ที่มีจำนวนความอิสระสูง การจำลองแบบโมเลกุลโดยพิจารณารายละเอียดระดับอะตอมจะทำได้ยากสำหรับการศึกษาสมบัติของวัสดุในบางระบบ การลดตอนจำนวนของความอิสระลงจึงเป็นสิ่งจำเป็นเพื่อทำให้การจำลองแบบโมเลกุลเป็นไปได้จำกัดมากขึ้น ในงานวิจัยนี้จะกระทำการโดยการแทนแบบจำลองระดับอะตอมด้วยแบบจำลองบนโครงผลึกซึ่งโมเลกุลพอลิเมอร์จะเปลี่ยนโครงรูปสอดคล้องกับบุนบิดบางค่าที่เหมาะสมเท่านั้น เมื่อใช้เทคนิค蒙ติคาร์โลกับแบบจำลองบนโครงผลึกดังกล่าวจะทำให้ได้วิธีการจำลองแบบโมเลกุลพอลิเมอร์ที่มีความเร็วสูงในการคำนวณด้วยคอมพิวเตอร์

Skolnick [13] ได้ใช้แนวคิดที่คล้ายคลึงนี้เพื่อศึกษาการม้วนพับของโมเลกุลโปรดีเปปไทด์และประสบผลสำเร็จเป็นอย่างดีโดยการจัดโครงสร้างของโมเลกุลพอลิเปปไทด์เรียงตามระยะห่างระหว่างอัลฟ่าคาร์บอน ( $C^\alpha$ ) โดยมีมุมพันธะ ( $\theta$ ) และมุมบิด ( $\phi$ ) เป็นค่าคงที่ โครงผลึกที่ใช้สำหรับโมเลกุลพอลิเปปไทด์นี้จะเป็นโครงผลึกถูกนาสก์ที่ประกอบขึ้นจากชุดเวกเตอร์เอกฐาน (basis vector) เช่น เวกเตอร์  $[2, 1, 0]$  เป็นต้น เมื่อเพิ่มจำนวนชุดเวกเตอร์เอกฐานให้มากขึ้นจะทำให้ได้แบบจำลองโมเลกุลของพอลิเปปไทด์ที่ใกล้เคียงกับระบบจริงมากขึ้น ทั้งนี้ความละเอียดของแบบจำลองที่ใช้จะขึ้นกับปัญหาที่ต้องการศึกษาเป็นสำคัญ

Mattice [10-11] ได้พัฒนาระเบียบวิธีการจำลองแบบพอลิเมอร์ที่คล้ายกับระบบพอลิเปปไทด์โดยนำแบบจำลองไอโซเมอร์เชิงโครงรูปเป็นตัวแทนพลังงานของโมเลกุลพอลิเมอร์แต่ละชนิด แบบจำลองนี้จะใช้ตัวแปรพื้นฐาน ได้แก่ จำนวนพันธะ ( $n$ ), ความยาวพันธะ ( $l$ ), มุมพันธะ ( $\theta$ ), มุมบิคพันธะ ( $\phi$ ) โดยตัวแปรดังกล่าวจะต้องมีการปรับให้合乎ข้อกำหนดโครงผลึกที่ใช้เป็น  $N, L, \Theta, \Phi$  ตามลำดับจำนวนของชุดตัวแปรใหม่จะขึ้นกับระดับความหมายของแบบจำลองที่ใช้ ในเบื้องต้น Mattice ได้ลดจำนวนของศักยภาพครึ่งหนึ่งเมื่อเทียบกับแบบจำลองละเอียดระดับอะตอม นั่นคือการแทนหนึ่งหน่วยบนโครงผลึกด้วย  $CH_2CH_2$  สำหรับโมเลกุลพอลิเอทิลีนจริง เมื่อพิจารณาโครงผลึกที่เหมาะสมในการจำลองแบบ โมเลกุลพอลิเมอร์ระดับหมายที่ปรับมาจากการจำลองไอโซเมอร์เชิงโครงรูป Mattice พบว่าโครงผลึกแบบเทคราชีครัลหรือโครงผลึกเพชรเป็นโครงผลึกที่เหมาะสมที่สุดเนื่องจากมีลักษณะเชิงเรขาคณิตเทียบเคียงได้ใกล้เคียงกับแบบจำลองไอโซเมอร์เชิงโครงรูป Mattice ได้ตั้งชื่อโครงผลึกที่ใช้กับแบบจำลองนี้ว่า Second Nearest Neighbor Diamond (2nnd) lattice และเรียกแบบจำลองโมเลกุลที่ปรับใหม่จากการลดทอนของศักยภาพว่า 2nnd chain

การนำแบบจำลองไอโซเมอร์เชิงโครงรูปสำหรับพอลิเอทิลีนมาปรับให้เป็น 2nnd chain [14] นั้นเริ่มจากการปรับແທริกซ์ถ่วงน้ำหนักเชิงสถิติจากแบบจำลองละเอียดระดับอะตอมไปสู่แบบจำลองหมายที่ลดทอนของศักยภาพครึ่งหนึ่ง ซึ่งทำได้โดยการคำนวณโครงรูปที่เป็นไปได้ชุดใหม่เมื่อโมเลกุลอยู่บนโครงผลึกทั้งหมดและลดทอนจำนวนพันธะลงครึ่งหนึ่ง จากนั้นจึงเป็นการหาແທริกซ์ถ่วงน้ำหนักเชิงสถิติของโครงรูปที่เกิดจาก 4 พันธะที่อยู่ต่อเนื่องกันโดยดัชนีลำดับของแควรและสคุมก์ของແທริกซ์ขนาด  $9 \times 9$  ที่ได้จะเรียกลำดับเป็น  $t_l, tg+, tg-, g+t, g-t, g+g+, g-g-, g+g-, g-g+$  ແທຣິກສໍາຄັກລ່າວ ຄືອ

$$U = \begin{bmatrix} 1 & \sigma & \sigma & \sigma & \sigma & \sigma & \sigma\sigma & \sigma\sigma & \sigma\sigma\omega \\ 1 & \sigma & \sigma & \sigma & \sigma\omega & \sigma\sigma & \sigma\sigma\omega & \sigma\sigma\omega & \sigma\sigma\omega\omega \\ 1 & \sigma & \sigma & \sigma\omega & \sigma & \sigma\sigma\omega & \sigma\sigma & \sigma\sigma\omega\omega & \sigma\sigma\omega \\ 1 & \sigma & \sigma & \sigma & \sigma & \sigma\sigma & \sigma\sigma & \sigma\sigma\omega & \sigma\sigma\omega \\ 1 & \sigma & \sigma & \sigma & \sigma & \sigma\sigma & \sigma\sigma & \sigma\sigma\omega & \sigma\sigma\omega \\ 1 & \sigma & \sigma & \sigma & \sigma & \sigma\sigma & \sigma\sigma & \sigma\sigma\omega & \sigma\sigma\omega \\ 1 & \sigma & \sigma & \sigma & \sigma\omega & \sigma\sigma & \sigma\sigma\omega & \sigma\sigma\omega & \sigma\sigma\omega\omega \\ 1 & \sigma & \sigma & \sigma\omega & \sigma & \sigma\sigma\omega & \sigma\sigma & \sigma\sigma\omega\omega & \sigma\sigma\omega \\ 1 & \sigma & \sigma & \sigma\omega & \sigma & \sigma\sigma\omega & \sigma\sigma & \sigma\sigma\omega\omega & \sigma\sigma\omega \\ 1 & \sigma & \sigma & \sigma\omega & \sigma\omega & \sigma\sigma\omega & \sigma\sigma\omega & \sigma\sigma\omega\omega & \sigma\sigma\omega\omega \end{bmatrix} \quad (2.8)$$

แม่ทริกส์ที่ได้ข้างต้นยังน่าดีอยู่ก็เป็นสำหรับการคำนวณอย่างมีประสิทธิภาพ การลดมิติของแม่ทริกส์ลงจะช่วยเพิ่มความเร็วของเทคนิค monocentric ให้สูงขึ้นซึ่งกระทำได้โดยการจัดกลุ่มโครงรูปที่คล้ายกันให้อยู่ในกลุ่มเดียวกัน สำหรับกรณีของพอลิเอทิลีนจะใช้ระยะห่างระหว่างจุดปลายของสายโซ่เป็นค่ากำหนดโดยมีระยะห่างที่เป็นไปได้ทั้งหมด 4 แบบตามโครงรูปที่แสดงในตารางที่ 2.1 เพื่อลดมิติของแม่ทริกส์ให้เล็กลงจะต้องจัดกลุ่มสมาชิกให้มีลักษณะคล้ายกันโดยใช้ค่าเฉลี่ย  $a$ ,  $b$  และ  $c$  สำหรับโครงรูปทั้ง 4 กลุ่ม โดยจะได้แม่ทริกส์ขนาด  $9 \times 9$  ที่ขยายขึ้นก่อนการยุบขนาดเป็น  $4 \times 4$  ดังนี้

$$\mathbf{U}_{2nnd} = \begin{bmatrix} 1 & \sigma & \sigma & \sigma & \sigma & \sigma & \sigma\sigma & \sigma\sigma\omega & \sigma\sigma\omega \\ 1 & a & a & a & a & b\sigma & b\sigma & b\sigma\omega & b\sigma\omega \\ 1 & a & a & a & a & b\sigma & b\sigma & b\sigma\omega & b\sigma\omega \\ 1 & a & a & a & a & b\sigma & b\sigma & b\sigma\omega & b\sigma\omega \\ 1 & a & a & a & a & b\sigma & b\sigma & b\sigma\omega & b\sigma\omega \\ 1 & b & b & b & b & c & c & cb\omega & cb\omega \\ 1 & b & b & b & b & c & c & cb\omega & cb\omega \\ 1 & b & b & b & b & c & c & cb\omega & cb\omega \\ 1 & b & b & b & b & c & c & cb\omega & cb\omega \end{bmatrix} \quad (2.9)$$

เมื่อ  $a$ ,  $b$  และ  $c$  เป็นค่าแปรที่ใช้ปรับแม่ทริกส์ระดับหมายให้มีสมบัติคล้ายกับแม่ทริกส์เดิมมากที่สุด โดยพบว่า การใช้ค่าเฉลี่ยแบบเรขาคณิตจะให้ผลลัพธ์ที่สุด ( $a = \sigma\omega^{1/8}$ ,  $b = \sigma\omega^{1/4}$ ,  $c = \sigma^2\omega^{1/2}$ )

เมื่อจัดกลุ่มตามระยะห่างระหว่างจุดปลายตามตารางที่ 2.1 จะได้แม่ทริกส์ที่ลดขนาดลงเป็น  $4 \times 4$  ดังนี้

$$\mathbf{U}_{2nnd} = \begin{bmatrix} 1 & 4\sigma & 2\sigma\sigma & 2\sigma\sigma\omega \\ 1 & 4a & 2b\sigma & 2b\sigma\omega \\ 1 & 4b & 2c & 2c\omega \\ 1 & 4b & 2c & 2c\omega \end{bmatrix} \quad (2.10)$$

เนื่องจากพอลิเอทิลีนเป็นพอลิเมอร์ที่มีพลังงานศักย์รอนมุนบิดที่สมมาตรระหว่างโครงรูป gauche ทั้งสอง ดังนั้นจึงสามารถรวมกลุ่มน้ำซิก  $g+g+$ ,  $g-g-$ ,  $g+g-$ ,  $g-g+$  เข้าด้วยกัน ได้แมทริกซ์ใหม่เป็นมิติ  $3 \times 3$

$$\mathbf{U}_{2nnd} = \begin{bmatrix} 1 & 4\sigma & 2\sigma\sigma(1+\omega) \\ 1 & 4a & 2b\sigma(1+\omega) \\ 1 & 4b & 2c(1+\omega) \end{bmatrix} \quad (2.11)$$

ตารางที่ 2.1 การจำแนกกลุ่มของโครงรูปพอลิเอทิลีนในแบบจำลองโครงผลึก 2nnd

หมวด	ระยะหักจากหมู่เมทธิลที่อยู่ติดไป 2 หมู่ (nm)	โครงรูปของโนเมกุล พอลิเมอร์
A	0.500	Tt
B	0.433	$tg^+, tg^-, g+t, g-t$
C	0.353	$g+g^+, g-g^-$
D	0.250	$g+g^-, g-g^+$

ขั้นตอนที่ 2 ออกแบบอัลกอริธึมการสร้างแมทริกซ์เพื่อใช้แทนพอลิเมอร์จากแบบจำลอง ไอโซเมอร์เชิงโครงรูป ก็คือการหาพลังงานที่เกิดขึ้นจากอันตรกิริยาระหว่างโนเมกุล [15]

โดยจะกำหนดให้อัลกอริธึมคำนวณรากที่สองของแรงดึงดูดของสายโซ่แบบ Lennard-Jones สำหรับหมู่เอทิลีน  $\text{CH}_2=\text{CH}_2$  ตามลักษณะของแบบจำลองพอลิเมอร์ระดับขยายที่ใช้บนโครงผลึก วิธีการหาอันตรกิริยาระหว่างโนเมกุลบนโครงผลึกจะใช้หลักที่คล้ายกับการหาค่าสัมประสิทธิ์ไวเรียลยันคับสองของแก๊สажริง ( $B_2$ ) ดังสมการ

$$B_2 = -\frac{1}{2} \left[ \int \left\{ e^{-\beta u(r)} - 1 \right\} dr \right] = -\frac{1}{2} \left[ \int f dr \right] \quad (2.12)$$

สมการดังกล่าวจะเป็นรูปที่อยู่ในปริภูมิที่ค่อเนื่อง ดังนั้นจึงต้องมีการปรับรูปสมการให้เข้ากับแบบขั้ลลงพอลีเมอร์ระดับขยายบาน โครงผลึกโดยการแทนเครื่องหมายอินที่เกรตด้วยการกระจายผลรวมในแต่ละชั้น เพียงกับจุดข้างอิง โดยจะเป็น  $B_2$  ใหม่ในรูปที่สัมพันธ์กับเลขโคออร์ดิเนชัน ( $z$ ) และ ค่าเฉลี่ยของฟังก์ชันเมเยอร์ (Mayer function) ในแต่ละชั้น ได้เป็น

$$B_2 = \frac{V_c}{2} \left[ 1 - z_1 \bar{f}_{1st} - z_2 \bar{f}_{2nd} - z_3 \bar{f}_{3rd} - \dots \right] \quad (2.13)$$

โดยที่พารามิเตอร์ของอันตรกิริยาในแต่ละชั้น ( $z_i$ ) มีค่าเป็น

$$\exp(-\beta u_i) - 1 \equiv \bar{f}_{ih} \quad (2.14)$$

ในที่นี้จะใช้ศักย์ระหว่างอนุภาคจากความสัมพันธ์ของ Lennard-Jones (LJ) ในการหาค่า  $\langle f \rangle$  คือ

$$u = \infty \quad , r < 2.5 \text{ \AA}$$

$$u = 4\varepsilon \left[ \left( \frac{\sigma}{r} \right)^{12} - \left( \frac{\sigma}{r} \right)^6 \right] \quad , r > 2.5 \text{ \AA} \quad (2.15)$$

โดยตัวแปร  $\sigma$  และ  $\varepsilon$  สำหรับ  $\text{CH}_2=\text{CH}_2$  มีค่าเป็น  $\sigma = 4.2 \text{ \AA}$  และ  $\varepsilon/k_B = 205 \text{ K}$  ตัวอย่างๆ ค่าตัวเลขที่แทนอันตรกิริยาระหว่างแบบขั้ลลง โนเลกุลพอลีเมอร์บัน โครงผลึกที่อุณหภูมิต่างๆ แสดงในตารางที่ 2.2 ตัวเลขที่ได้ในชั้นที่ 1 พนว่ามีค่ามากกว่าศูนย์อยู่มากแสดงว่าจะมีแรงกระทำที่ผลักกันสูงหากมีอิเล็กตรอนอ่อนอยู่ในชั้นลำดับที่หนึ่งหรือในระยะห่าง  $2.5-5.0 \text{ \AA}$  ส่วนชั้นที่สองจะมีค่ามากกว่าศูนย์เล็กน้อย หลังจากนั้นค่าตัวเลขในชั้นที่สามจะเป็นค่าลบซึ่งแสดงถึงแรงดึงดูดระหว่างกัน ชั้นอื่นๆ จะมีค่าลบเหมือนชั้นที่สามแต่จะมีค่าน้อยกว่า ในงานวิจัยนี้จะใช้ตัวเลขชั้นตรกิริยาเพียง 3 ตัวแรกเพื่อเพิ่มความเร็วในการคำนวณ

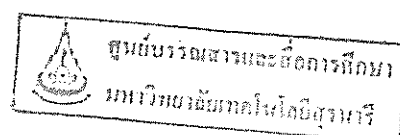
ตารางที่ 2.2 ชุดตัวแปรของอันตรกิริยาน์โครงสร้าง 2nd สำหรับพอลิเอทิลีน

ตัวแปร	
$\varepsilon/k$ (K)	185
$\sigma$ (nm)	0.44
$u_1$ (kJ/mol)	14.122
$u_2$ (kJ/mol)	0.526
$u_3$ (kJ/mol)	-0.627

คำค้นคือไปของระบบที่มีอนุคิริยา โลหะคือการนำค่าพลังงานที่คำนวณมาจากอันตรกิริยาที่เกิดขึ้นระหว่างโมเลกุลและภายในโมเลกุลเดียวกันมาสร้างเงื่อนไขในการเคลื่อนที่สำหรับแบบจำลองโมเลกุลพอลิเมอร์บนโครงสร้าง โดยอาศัยเงื่อนไข Metropolis ดังนี้

$$P_{move} = \min \left[ 1, P_{inter} \left( \frac{P_{new}}{P_{old}} \right)_{intra} \right] \quad (2.16)$$

สมการข้างต้นมีหมายความว่าจะยอมรับการเปลี่ยนโครงสร้างของพอลิเมอร์ที่มีค่าพลังงานโดยรวมลดลงเสมอ แต่หากการเปลี่ยนแปลงนั้นทำให้พลังงานของระบบเพิ่มขึ้นจะต้องสร้างเงื่อนไขการยอมรับโดยเปรียบเทียบค่าถ่วงน้ำหนัก  $P_{inter}(P_{new}/P_{old})$  กับค่าเลขสุ่มที่สร้างขึ้นระหว่าง 0 ถึง 1 การเคลื่อนที่ของโมเลกุลในแต่ละขั้นจะเกิดขึ้นโดยการแทนหน่วยอย่างของสายโซ่ลงตำแหน่งว่างในโครงสร้าง สำหรับระบบที่มีเปลี่ยนโครงสร้างของพอลิเมอร์เพียงตำแหน่งเดียวในแต่ละครั้ง



การจำลองแบบพอลิเมอร์โดยเทคนิคอนดิكار์โลบัน โครงสร้าง 2nnd นี้ได้เริ่มพัฒนาตั้งแต่ปี 1995 [16] และประสบความสำเร็จเป็นอย่างดีในการใช้ศึกษาระบบทองพอลิเมอร์หลายชนิด ตัวอย่างเช่น

- (1) การจำลองแบบพอลิเมอร์อสัมฐานชนิดต่างๆ เช่น polyethylene [14-16], polypropylene [17], polystyrene [18] และ polyvinylchloride [19] เป็นต้น
- (2) ศึกษาสมบัติการแพร่ของพอลิเมอร์ [20]
- (3) ศึกษาการเข้ากันได้ของวัสดุพอลิเมอร์ผสม [21]
- (4) การศึกษาพอลิเมอร์ฟิล์มนบาง [22] และนาโนไฟเบอร์ [23]

ในงานวิจัยชุดนี้จะเป็นการใช้เทคนิคอนดิคาร์โลบัน โครงสร้างกล่าวเพื่อศึกษาปัญหาใหม่ 2 หัวข้อ ได้แก่

**(ก) การจำลองแบบโมเดลกุลพอลิเมอร์ระบบอนุภาคขนาดนาโน**

หัวข้อแรกของงานวิจัยชุดนี้จะเป็นการศึกษาโครงสร้างและสมบัติทั้งเชิงสถิติและพลวัตของพอลิเมอร์ที่ประกอบกันขึ้นเป็นอนุภาคขนาดนาโนเมตร สิ่งที่น่าสนใจในที่นี้คือพอลิเมอร์จะถูกจำกัดในสิ่งแวดล้อมที่เล็กเทียบเท่าขนาดของโมเลกุลและมีพื้นผิวอิสระเป็นที่คาดว่าพอลิเมอร์จะมีโครงสร้างและสมบัติที่ต่างไปจากสภาพภาวะปกติที่ไม่มีผลจากการมีพื้นผิวและปริภูมิจำกัด รายละเอียดของงานวิจัยส่วนนี้จะอธิบายในบทที่ 3

**(ข) การจำลองแบบโมเดลการตกผลึกของพอลิเมอร์ในนาโนไฟเบอร์**

หัวข้อที่สองของโครงการวิจัยชุดนี้จะเป็นการศึกษาเชิงเปรียบเทียบลักษณะการตกผลึกของโมเลกุลพอลิเมอร์ที่มีผลมาจากการพื้นผิวและการถูกจำกัดในสิ่งแวดล้อมเล็กขนาดนาโนเมตรที่มีรูปทรงเรขาคณิตต่างกัน ได้แก่ นาโนไฟเบอร์และฟิล์มนบาง ซึ่งมีพื้นผิวจำกัดเป็นรูปทรงเป็นทรงกระบอกและทรงสี่เหลี่ยมพื้นผ้า ตามลำดับ ผลงานวิจัยส่วนนี้จะนำเสนอในบทที่ 4

## การจำลองแบบมอนติคาร์โลสำหรับสมบัติเชิงสกิดและพลวัตของอนุภาคนาโนจากพอลิเมอร์สันธ์

### 1. บทนำ

การศึกษาโครงสร้างและสมบัติของพอลิเมอร์ในสิ่งแวดล้อมที่มีพื้นผิวได้มีมาเป็นเวลานานพอสมควรเนื่องจากการใช้ประโยชน์จากการวัสดุพอลิเมอร์ส่วนมากจะต้องเกี่ยวข้องกับสมบัติเชิงพื้นผิว ไม่เลกุลพอลิเมอร์ที่อยู่ใกล้บริเวณพื้นผิวจะมีลักษณะที่ต่างไปจากระบบที่ไม่มีพื้นผิวซึ่งทำให้สมบัติเชิงสกิดและพลวัตแตกต่างออกไป ผลดังกล่าวจะเกิดขึ้นกับไมเลกุลพอลิเมอร์ที่มีระบบห่างจากพื้นผิวประมาณขนาดของไมเลกุล ในอดีตการศึกษาระบบพอลิเมอร์ที่มีพื้นผิวจำกัดจะเป็นเพียงพื้นผิวเรียบ สิ่งที่น่าสนใจคือไมเลกุล ตัวอย่างระบบที่ศึกษาในงานวิจัยนี้คืออนุภาคกระดับนาโนเมตราจากพอลิเมอร์สันธ์ซึ่งสังเคราะห์ได้จากการทดลอง อนุภาคนาโนเหล่านี้จะมีสมบัติเฉพาะแตกจากระบบอื่นๆเนื่องจากมีความยาวิกฤตเทียบได้กับขนาดของอนุภาค โดยเหตุนี้การประยุกต์อนุภาคนาโนจึงเกี่ยวกับข้อได้เปรียบจากการมีอัตราส่วนระหว่างพื้นที่ผิวต่อปริมาตรที่สูงและมีสมบัติอื่นที่ต่างจากระบบอนุภาคขนาดใหญ่หรือระบบที่ไม่มีพื้นผิว

เนื่องจากอนุภาคนาโนมีขนาดที่เล็กมาก การศึกษาระบบดังกล่าวโดยเทคนิคการทดลองจึงกระทำได้ยาก อายุนี้การศึกษาระบบอนุภาคนาโนจะกระทำได้โดยอาศัยเทคนิคการจำลองแบบไมเลกุลตัวอย่าง เช่น งานวิจัยของ Fukui และคณะ [24] ได้ใช้เทคนิคไมเลกุลาร์ไดนามิกส์ขนาดใหญ่กับระบบที่มีจำนวนอะตอมมากถึง 120000 อะตอมด้วยเครื่องคอมพิวเตอร์สมรรถนะสูงเพื่อคำนวณสมบัติทางภาพของอนุภาคนี้ที่อุณหภูมิต่างๆ ถึงแม้ว่าจะดังกล่าวจะให้ข้อมูลที่น่าสนใจพอกสมควรแต่ยังมีข้อจำกัดที่ยังไม่สามารถศึกษาสมบัติในขอบเขตของมิติเวลาและปริภูมิได้มากเท่าที่ต้องการ การแก้ข้อจำกัดดังกล่าวกระทำได้โดยการปรับแบบจำลองไมเลกุลให้หมายมากขึ้นกว่าระดับอะตอมและเลือกเทคนิคการจำลองแบบไมเลกุลที่เหมาะสม ในงานวิจัยนี้จะเป็นการนำร่างเบี้ยนวิธีมอนติ คาร์โล สำหรับแบบจำลองพอลิเมอร์ระดับหนาแน่นโครงผลึกมาใช้ศึกษาระบบดังกล่าวทั้งสมบัติเชิงสกิดและเชิงพลวัต

### 2. วิธีการจำลองแบบไมเลกุล

#### 2.1 การจำลองแบบพอลิเอทธิลีนบนโครงผลึก 2nnd

งานวิจัยนี้ใช้แบบจำลองไมเลกุลพอลิเมอร์ระดับหนาแน่นโดยจะแทนแค่ละจุดด้วยเอทธิลีนหรือการบอน 2 อะตอมบนโครงผลึกที่เรียกว่า second nearest neighbor diamond (2nnd) ซึ่งเป็นโครงผลึกที่คล้ายกับลูกบาศก์ที่บิดเป็นมุม  $60^\circ$  ทุกด้าน ( $\alpha = \beta = \gamma = 60^\circ$ ) ทำให้มีประสิทธิภาพการบรรจุที่สูงชั่นเดียว กับการบรรจุแบบแนวชิดที่พบในผลึกของแข็งทั่วไป พอลิเอทธิลีนจะแทนด้วยไมเลกุล  $C_{2x}H_{4x+2}$  ที่ไม่มีหมู่

กิ่งคั่วความยาว  $x$  หน่วยนิโตรเจนโพลีก ระยะห่างระหว่างหน่วยย่อยมีค่าคงที่เท่ากับ  $0.25 \text{ nm}$  ซึ่งคำนวณมา จากความยาวพันธะ C-C และบุนพันธะ C-C-C เมื่อจำแนกกลุ่มของโครงรูปที่เป็นไปได้บนโครงผลึกพบว่า จะแบ่งได้เป็น 4 แบบตามระยะห่างของหน่วยย่อยที่  $i$  และ  $i+2$  หรือความยาวของเวกเตอร์ที่เชื่อมระหว่างจุด 2 จุดที่อยู่ติดกันบนโครงผลึก

อันตรกิริยาภายในโมเลกุลพอลิเอทิลีนนำجاทางแบบจำลองไอโซเมอร์เชิงโครงรูปโดยปรับมิติของ แม่ทริกส์ถ่วงน้ำหนักเชิงสติติให้เข้ากับลักษณะแบบจำลองและโครงรูปที่เกิดขึ้นบนโครงผลึกที่ใช้ เมื่อ พิจารณาจำนวนโครงรูปที่เกิดขึ้นจากสองพันธะที่อยู่ติดกันพบว่าจะมีโครงรูปทั้งหมดได้ 9 แบบ ( $tt$ ,  $tg+$ ,  $tg-$ ,  $g+t$ ,  $g+g+$ ,  $g+g-$ ,  $g-t$ ,  $g-g+$ ,  $g-g-$ ) ทำให้ได้แม่ทริกส์ถ่วงน้ำหนักมีมิติเป็น  $9 \times 9$  จากการแบ่งชนิดของโครง รูปตามระยะห่างของหน่วยย่อย ทั้ง 4 แบบจะลดขนาดของแม่ทริกส์ทั่วไปเป็น  $4 \times 4$  นอกจากนี้แล้วพอลิเอทิลีน ยังมีพลังงานเชิงโครงรูปแบบสมมาตรทำให้ลดขนาดของแม่ทริกส์ลงกล่าวลงได้เป็น  $3 \times 3$  โดยมีตัวแปรเพิ่ม ขึ้นในการปรับแต่งแม่ทริกส์ 3 ตัว ได้แก่  $a$ ,  $b$  และ  $c$  นอกจากตัวแปรที่มาจากการแบบจำลองเชิงโครงรูปของ พอลิเอทิลีน 2 ตัว คือ  $\sigma$  และ  $\omega$

$$U_{PE} = \begin{bmatrix} 1 & \sigma & \sigma \\ 1 & \sigma & \sigma\omega \\ 1 & \sigma\omega & \sigma \end{bmatrix} \rightarrow U_{2nd} = \begin{bmatrix} 1 & 4\sigma & 2\sigma\sigma(1+\omega) \\ 1 & 4a & 2b\sigma(1+\omega) \\ 1 & 4b & 2c(1+\omega) \end{bmatrix} \quad (3.1)$$

เมื่อ  $\sigma = \sigma_0 \exp(-E_\sigma/kT)$ ,  $\omega = \omega_0 \exp(-E_\omega/kT)$   $a = \sigma\omega^{1/8}$ ,  $b = \sigma\omega^{1/4}$  และ  $c = \sigma^2\omega^{1/2}$

อันตรกิริยะระหว่างโมเลกุลหาได้จากการประมาณสมการศักย์ของ Lennard-Jones (LJ) เนื่องจาก การจำลองแบบในงานวิจัยนี้ใช้โครงผลึกซึ่งเป็นปริภูมิที่ไม่ต่อเนื่อง ดังนั้นจึงต้องมีการประมาณชุดค่าแปร จากสมการศักย์ Lennard-Jones แต่ละชั้นในโครงผลึกซึ่งแทนค่าสัญลักษณ์  $n_i$  ซึ่งหากการเฉลี่ยฟังก์ชันแม เยอร์ (Mayer) ที่ใช้อธิบายกลศาสตร์สติติของแก๊สจริง โดยตัวแปรพลังงาน  $n_i$  ของชั้นที่  $i$  บนโครงผลึกนิยาม ได้จากสมการ

$$\exp\left(-\frac{u_i}{k_B T}\right) - 1 \equiv \bar{f}_i \quad (3.2)$$

ค่าเฉลี่ยของฟังก์ชันแมเยอร์ที่ชั้น  $i$  ( $\bar{f}_i$ ) หาได้จากการอินทีเกรต  $n(r)$  รอบปริภูมิของชั้นที่  $i$  ดังนี้

$$\bar{f}_i = \frac{\int_{cell} f dr}{\int_{cell} dr} \quad (3.3)$$

ชุดตัวเลขอันตรกิริยาแบบ Lennard-Jones ระหว่างหน่วยย่อของโนมเลกุลจะนำมาจากตัวแปรของอทิลีน ( $\text{CH}_2=\text{CH}_2$ ) ซึ่งมีค่า  $\epsilon/k_B = 205 \text{ K}$  และ  $\sigma = 4.2 \text{ \AA}$  ในงานวิจัยนี้จะใช้  $n_i$  เพียง 3 ชั้นแรกหรือเทียบเท่ากับ อันตรกิริยาที่เกิดภายในระยะห่าง  $7.5 \text{ \AA}$  เพื่อลดเวลาที่ใช้ในการคำนวณ

การเปลี่ยนตำแหน่งของหน่วยย่อในสายโซ่จะเป็นการเดือนอทิลีนที่ละหน่วยไปยังตำแหน่งที่ว่าง ในโครงสร้าง การเดือนหน่วยย่อจะเป็นแบบสุ่มแต่จะเน้นในการยอนรับการเปลี่ยนตำแหน่งใหม่จะใช้อัลกอริทึมของ เมโทรโพลิส โดยความน่าจะเป็นของการเปลี่ยนตำแหน่งหาได้จากสมการ

$$P_{move} = \min[1, P_{LR} P_{new}/P_{old}] \quad (3.4)$$

เมื่อ  $P_{LR} = \exp(-\Delta E_{LR}/RT)$  เป็นความน่าจะเป็นที่มาจากการเปลี่ยนแปลงของอันตรกิริยาระหว่างโนมเลกุลและ  $P_{new}/P_{old}$  เป็นอัตราส่วนของความน่าจะเป็นจากอันตรกิริยาภายในโนมเลกุลระหว่างตำแหน่งใหม่ต่อตำแหน่งเดิม การวนรอบมอนติ คาร์โล Monte Carlo step (MCS) จะนับเมื่อทุกๆ ส่วนย่อของโนมเลกุลได้ทดสอบการเคลื่อนย้าย การเปลี่ยนตำแหน่งแต่ละครั้งของส่วนย่อของโนมเลกุลได้กับการเปลี่ยนโครงรูปของพันธะระหว่างการบอน 2-3 พันธะในโนมเลกุลพอลิเอทิลีน

## 2.2 การจำลองแบบอนุภาคนาโนจากพอลิเมอร์สันฐาน

งานวิจัยนี้กำหนดให้ความยาวของโซ่พอลิเมอร์มีค่าเท่ากับ 50 หน่วยของโครงสร้างทุกๆ โนมเลกุลหรือมีความยาวจริงเทียบได้กับ  $\text{C}_{100}\text{H}_{204}$  ขนาดของโครงสร้างที่ใช้ในการจำลองแบบเท่ากับ  $63 \times 66 \times 66$  และ  $63 \times 66 \times 120$  สำหรับระบบที่ประกอบด้วยโซ่พอลิเมอร์จำนวน 36 และ 72 โนมเลกุล ตามลำดับ ในที่นี้จะแทนระบบที่สองด้วยสัญลักษณ์  $d_{36}$  และ  $d_{72}$  โดยหมายถึงข้างหลังจะแทนจำนวนโซ่พอลิเมอร์ที่มีอยู่ในอนุภาคนาโน อุณหภูมิที่ใช้ในการจำลองแบบโนมเลกุลเท่ากับ 509 K ซึ่งเป็นอุณหภูมิเดียวกันกับงานวิจัยครั้งก่อนสำหรับการจำลองแบบพอลิเมอร์ในระบบฟิล์มบางและนาโนไฟเบอร์

โครงสร้างเริ่มต้นของอนุภาคนาโนจะเริ่มจากแบบจำลองพอลิเมอร์สันฐานที่สภาวะสมดุล

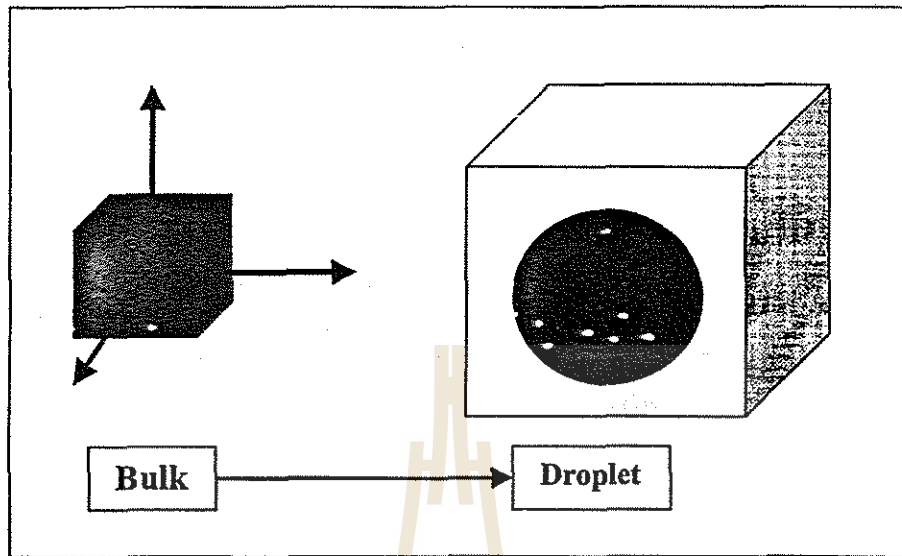
คุณเทอร์โนไคนามิกส์ จากนั้นจึงลดจำนวนค้านช้าของกล่องจำลองแบบลงจนเหลือเพียง 1 มิติ โดยกระทำให้ 2 วิธี คือ วิธีแรก ลดจำนวนค้านช้าของกล่องทันทีจาก 3 มิติ สู่ 0 มิติ หรือ วิธีที่ 2 ลดจำนวนค้านช้าของกล่องที่ละขึ้นจาก 3 มิติ สู่ 2 มิติ สู่ 1 มิติ และสู่ 0 มิติ คังรูปที่ 3.1

วิธีที่ 1: BULK (1D) → DROPLET

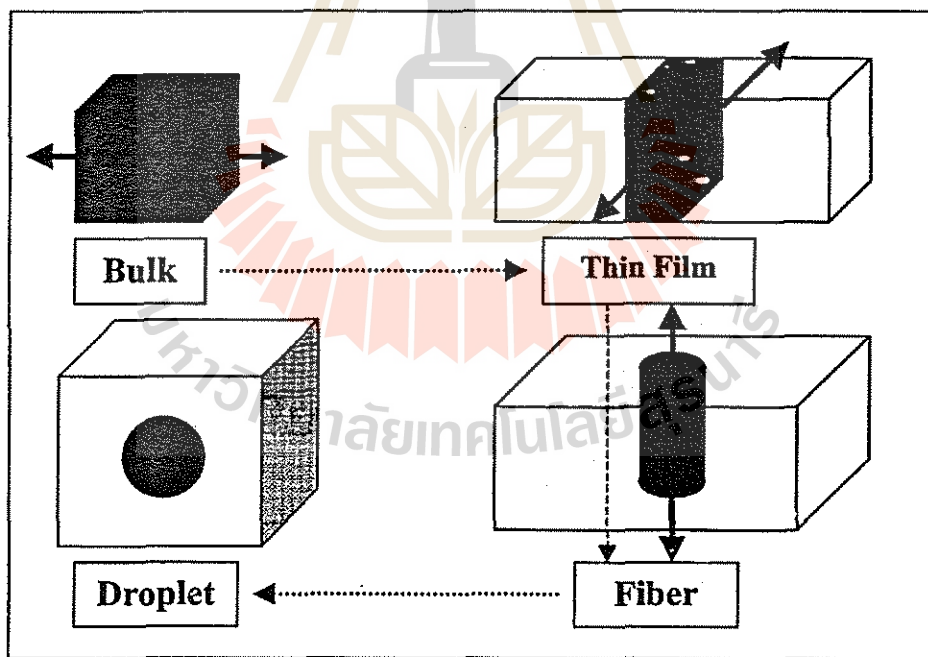
วิธีที่ 2: BULK (3D) → THIN FILM (2D) → FIBER (1D) → DROPLET

ขนาดของกล่องในแต่ละขั้นจะเพิ่มขึ้นประมาณ 3-4 เท่าจากขนาดเดิมในทิศการยืดที่ตั้งจากซึ่งกันและกันทำให้สายโซ่หลักที่อยู่ในกล่องด้านบนไม่สามารถถอดออกได้ กระทำกับสายโซ่อื่นๆที่อยู่ภายนอกได้เนื่องจากไม่เลกฤทธิ์อยู่ในกล่องด้านบนมีแรงคึ่งคุณแบบวนแควร์วัลส์ระหว่างสายโซ่ทำให้โครงสร้างมีการยุบตัวและเข้าสู่สมดุลที่มีโครงสร้างใหม่โดยใช้จำนวนรอบมอนติคาร์โลประมาณ 50,000 -100,000 MCS เพื่อให้ได้โครงสร้างอนุภาคนาโนที่สภาวะสมดุลอย่างแท้จริงซึ่งตรวจสอบได้จากการกระจายของไม่เลกฤทธิ์ พอดิเมอร์อย่างสม่ำเสมอและระบบมีพลังงานคงที่ การวิเคราะห์สมบัติเชิงสถิติกาได้จากการยืดที่ตั้งของช่วงเปลี่ยนแปลงในช่วง 1,000,000 MCS หลังจากระบบเข้าสู่สภาวะสมดุล โดยจะเฉลี่ยจากโครงสร้างที่ได้ทุกๆ 1,000 MCS สำหรับการวิเคราะห์สมบัติเชิงพลวัตน์จะใช้ช่วงเวลาที่นานกว่า ในงานวิจัยนี้จะใช้จำนวนรอบมอนติคาร์โลเพ่ำกับ 10,000,000 MCS

Method 1: Box expansion in x, y, z direction simultaneously.



Method 2: Box expansion in x, y, z direction consecutively.



รูปที่ 3.1: การสร้างแบบจำลองโมเดลของพอลิเมอร์

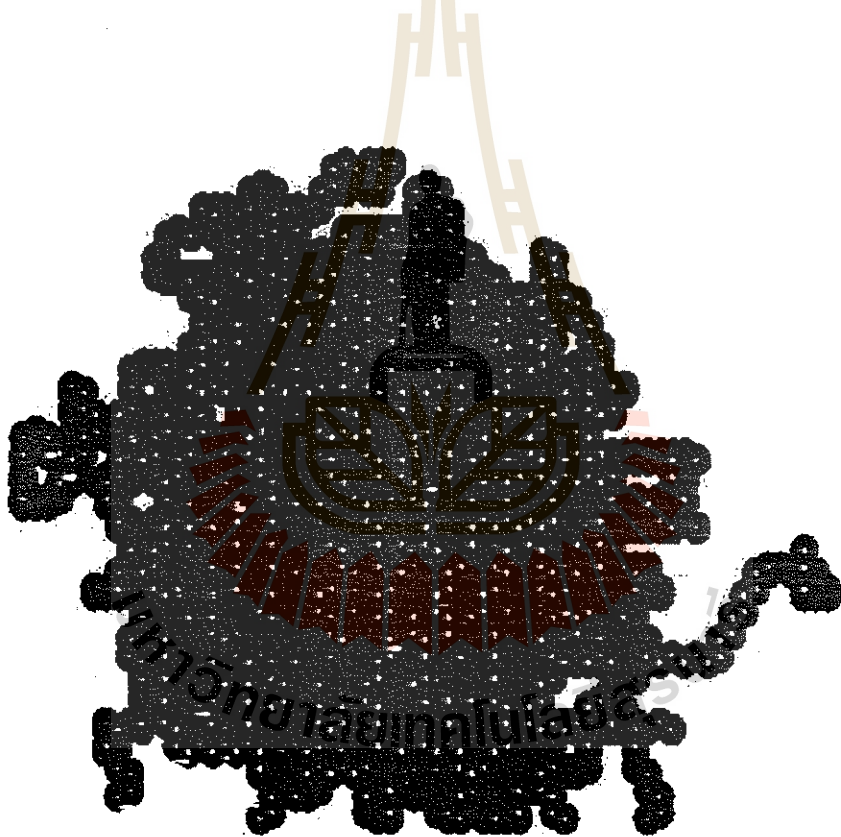
- (a) จากรูบบ้านี้พื้นผิว (3D) → อนุภาค nano และ
- (b) จากรูบบ้านี้พื้นผิว (3D) → ฟิล์มบาง (2D) → นาโนไฟเบอร์ (1D) → อนุภาค nano

### 3. ผลการวิจัยและการอภิปราย

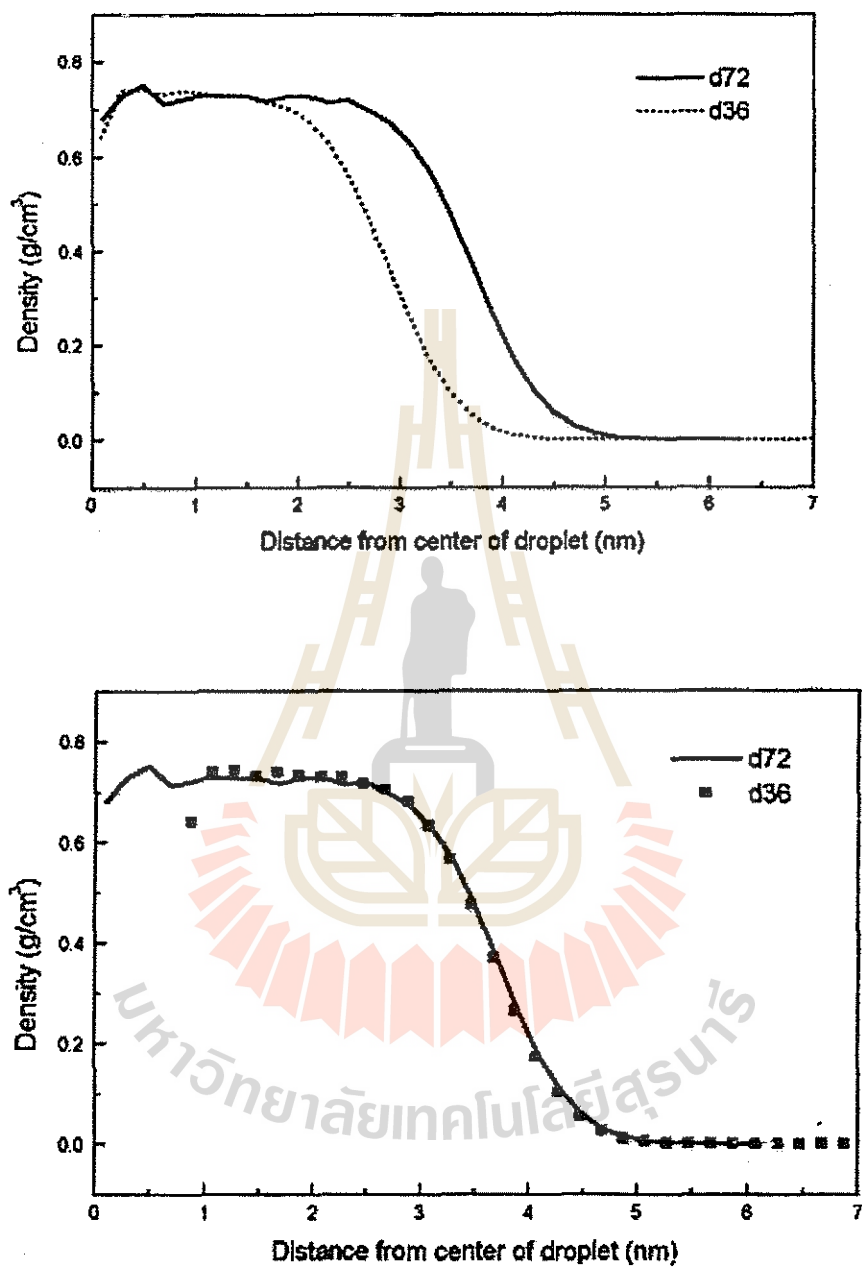
#### 3.1 สมบัติเชิงสัมบูรณ์

##### 3.1.1 การกระจายความหนาแน่นเชิงรัศมี

รูปที่ 3.2 แสดงโครงสร้างของอนุภาคนาโนที่สภาวะสมดุลของการจำลองแบบไม่เดখุณนี้ รูปที่ได้มีลักษณะเกือบเป็นทรงกลมซึ่งประกอบด้วยสารไฮโซ่ที่มีโครงรูปไวรัสเมียบ ความหนาแน่นของอนุภาคนาโนที่ได้จะมีค่าคงที่ไม่ขึ้นกับจำนวนสายไฮโซ่ที่มีอยู่โดยมีข้อแม้ว่าจำนวนสายไฮโซ่ต้องมากพอ การกระจายความหนาแน่นเชิงรัศมีของโครงสร้างนี้ยามจากน้ำหนักของส่วนสายไฮโซ่พอดีเมื่อในแต่ละชั้นของเปลือกทรงกลมที่มีขนาดแปรผันรัศมีที่มีจุดศูนย์กลางตรงจุดกึ่งกลางของอนุภาค รูปที่ 3.3 แสดงการกระจายความหนาแน่นเชิงรัศมีของอนุภาคนาโนทั้งสองตัวอย่าง ( $d_{36}$  และ  $d_{72}$ ) ซึ่งพบว่าอนุภาคทั้งสองจะมีความหนาแน่นที่บริเวณภายในเท่ากันประมาณ  $0.7 \text{ g/cm}^3$  ที่อุณหภูมิ  $509 \text{ K}$



รูปที่ 3.2: ภาพแสดงอนุภาคนาโนของพอลิเอทิลีนที่ประกอบขึ้นจากสายไฮโซ่จำนวน 36 ไมล์โดยแต่ละสายไฮโซ่  
 $\text{C}_{100}\text{H}_{204}$



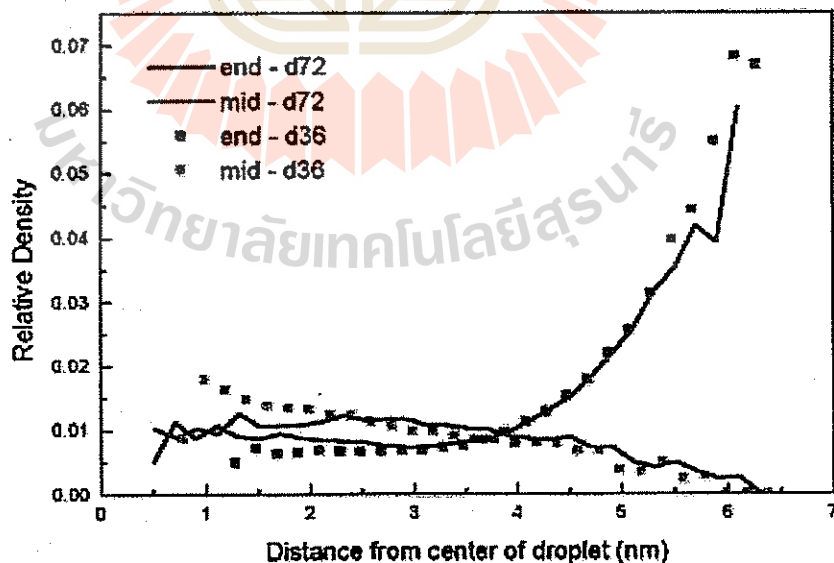
รูปที่ 3.3: (a) การกระจายความหนาแน่นเชิงรัศมีโดยเป็นฟังก์ชันกับระยะห่างจากจุดศูนย์กลางมวลของอนุภาค nano (b) เลื่อนข้อมูลจากระบบ d36 เป็นระยะเท่ากับ 0.10 nm เพื่อซ้อนทับกับข้อมูลจากระบบ d72

ข้อมูลที่ได้สามารถนำมาเทียบกับสมการที่ใช้อธิบายสมบัติเชิงพื้นผิวจากทฤษฎี ดังนี้

$$\rho(r) = \frac{1}{2} \rho_{\text{bulk}} \left[ 1 - \tanh\left(\frac{r/\xi}{\sqrt{2}}\right) \right] \quad (3.5)$$

โดย  $\rho_{\text{bulk}}$  เป็นความหนาแน่นของโพลิเมอร์ในส่วนที่ไม่ใช่บริเวณพื้นผิว เมื่อเทียบสมการดังกล่าวกับผลการจำลองแบบที่ได้ข้างต้นจะได้ค่าความหนาของพื้นผิว (interfacial width) เท่ากับ 0.712 nm (d36) และ 0.727 nm (d72) โดยนิยามค่าความหนาของพื้นผิวจากระยะห่างที่ทำให้ความหนาแน่นจากเส้นกราฟลดลงจาก 90% เป็น 10% เมื่อเทียบกับ  $\rho_{\text{bulk}}$  ค่าที่ได้ในระบบ d72 จะมีค่าสูงกว่า d36 เพียงเล็กน้อย สำหรับความยาวสหสัมพันธ์ (correlation length,  $\xi$ ) ที่ได้จากการเทียบข้อมูลกับสมการข้างต้นมีค่า  $0.648 \pm 0.008$  nm และ  $0.622 \pm 0.012$  nm สำหรับระบบ d36 และ d72 ตามลำดับ

รูปที่ 3.4 แสดงการกระจายความหนาแน่นเชิงรัศมีของอะตอนการ์บอนที่อยู่ส่วนปลายและบริเวณตรงกลางของสายโซ่ จากกราฟพบว่าความหนาแน่นของอะตอนการ์บอนทึ่งสองชนิดที่บริเวณภายนอกน้ำในจะมีค่าไม่แตกต่างกัน แต่มีอัตราณฑิ่งบริเวณพื้นผิวพบว่าปริมาณของส่วนปลายของสายโซ่จะเพิ่มสูงขึ้นมากขณะที่อะตอนการ์บอนคำแห่งนักล้ำมีจำนวนลดลง ลักษณะที่ได้นี้เป็นผลจากเน昂โตรบีซิ่งครองขั้น กับผลจากเน昂ทาลปีซิ่งทำให้เกิดการเกาะกลุ่มของศูนย์กลางมวลโนเลกุลที่บริเวณพื้นผิว ผลที่ได้จะกล่าว สอดคล้องกับงานวิจัยครั้งก่อนในระบบโพลิเมอร์ฟลัมบางและนาโนไฟเบอร์และผลที่ได้จากทั้งสองระบบ (d36 และ d72) พบว่าไม่มีความแตกต่างกันอย่างมีนัยสำคัญ

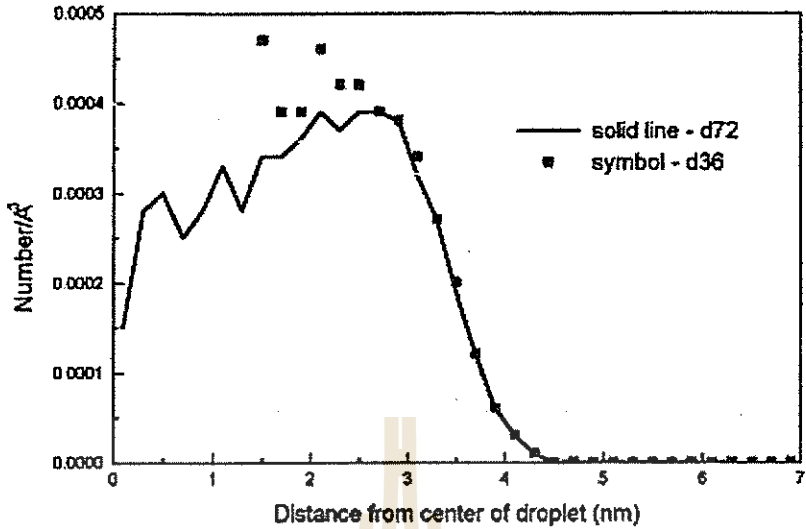


รูปที่ 3.4: ความหนาแน่นเชิงรัศมีสัมพัทธ์ของส่วนปลายและส่วนกลางของสายโซ่ในอนุภาคนาโน

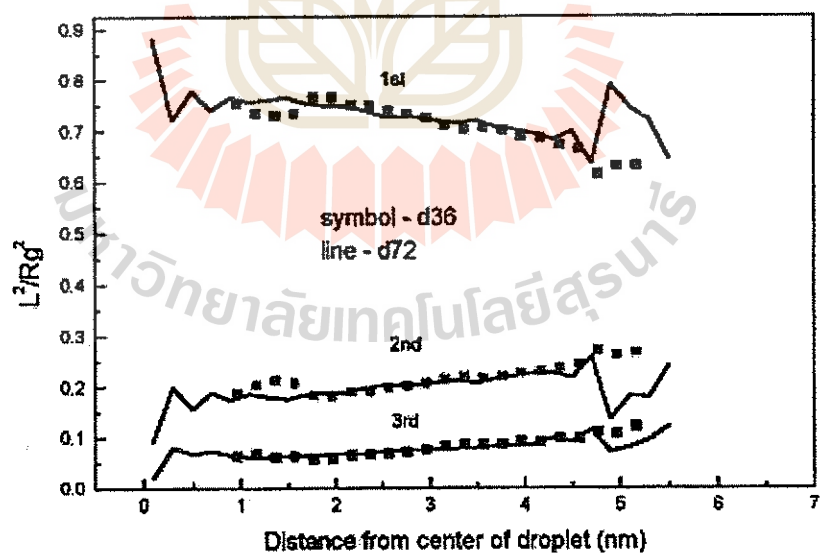
### 3.1.2 สมบัติระดับโนมเลกุลและส่วนย่อยโนมเลกุล

รัศมีไจเรชันเฉลี่ยกกำลังสอง ( $\langle Rg^2 \rangle$ ) และระยะห่างระหว่างจุดปลายของสายโซ่ยอกกำลังสอง ( $\langle R^2 \rangle$ ) ของระบบ d72 (d36) มีค่าเท่ากับ  $1.68 \pm 0.26 \text{ nm}^2$  ( $1.62 \pm 0.21 \text{ nm}^2$ ) และ  $10.21 \pm 2.33 \text{ nm}^2$  ( $9.71 \pm 1.89 \text{ nm}^2$ ) ตามลำดับ อัตราส่วนของตัวแปรทั้งสอง  $\langle R^2 \rangle / \langle Rg^2 \rangle$  มีค่าเป็น 6.08 (5.99) ใกล้เคียงกับ 6.5 ซึ่งเป็นตัวเลขจากทฤษฎีไอโอดเมอร์เชิงโครงรูปสำหรับพอลิอิทธิลีนที่มีความยาวสายโซ่ยอกกำลังสอง อัตราส่วนจำเพาะ (characteristic ratio)  $\langle R^2 \rangle / nl^2$  มีค่าเป็น  $4.45 \pm 1.02$  ( $4.24 \pm 0.82$ ) แสดงว่าโนมเลกุลพอลิเมอร์เมื่อยืดในอนุภาคนาโนจะมีขนาดเล็กลงเมื่อเทียบกับโนมเลกุลที่อยู่ในสภาพปกติ ค่าเบี้ยงเบนมาตรฐานในที่นี้เป็นความกว้างในการกระจายของตัวแปร  $R^2$  และ  $Rg^2$  ซึ่งบ่งบอกให้กับค่าจากทฤษฎีสำหรับสายโซ่แบบเก้าส์เชียน คือ  $\langle R^4 \rangle / \langle R^2 \rangle^2 = 5/3$  และ  $\langle Rg^4 \rangle / \langle Rg^2 \rangle^2 = 19/15$  ตามลำดับ อัตราส่วนเหล่านี้จะทำนายค่าเบี้ยงเบนมาตรฐานของการจำลองแบบโนมเลกุลจะมีค่าห้ออยกว่าค่าที่ทำนายจากทฤษฎีซึ่งเป็นผลจากโนมเลกุลพอลิเมอร์มีขนาดเล็กลงในสิ่งแวดล้อมจำกัดนี้

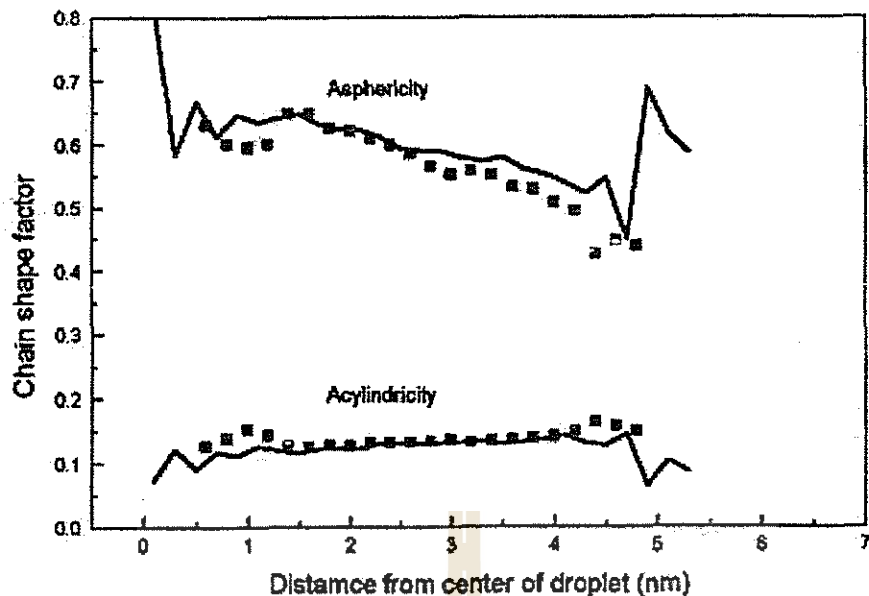
การกระจายจุดศูนย์กลางมวลของแต่ละโซ่พอลิเมอร์แสดงในรูปที่ 3.5 โดยกำหนดให้อยู่ในรูปของจำนวนโนมเลกุลต่อปริมาตร ข้อมูลจากรูปที่ 3.5 ทำให้สรุปได้ว่าอนุภาคนาโนทั้งสองตัวอย่างจะมีการกระจายของโนมเลกุลในลักษณะที่คล้ายกันโดยไม่ขึ้นกับขนาดของอนุภาค เมื่อพิจารณาปัจจัยของโนมเลกุลพบว่าสามารถใช้รูปทรงรีแท็งได้ โดยมีแกนหลัก 3 แกน ( $L_1 > L_2 > L_3$ ) ในการจำแนกรูปทรงรีได้ แกนหลักทั้งสามจะเป็นส่วนประกอบที่นานาจากเหตุของรัศมีไจเรชัน (radius of gyration tensor) ความสัมพันธ์ระหว่างจุดตัวแปรทั้งสอง คือ  $L_1^2 + L_2^2 + L_3^2 = Rg^2$  หรือหมายถึงผลรวมยกกำลังสองของแกนหลักทั้งสามของทรงรีจะเท่ากับกำลังสองของรัศมีไจเรชันของโนมเลกุล รูปที่ 3.6 แสดงผลการคำนวณของค่าดังกล่าวทั้งสามแกนหารด้วยกำลังสองของรัศมีไจเรชัน ค่าดังกล่าวจะมีการเปลี่ยนแปลงในบริเวณใกล้พื้นผิว นอกจากนี้รูปทรงโนมเลกุลยังนิยามได้จากการใช้ตัวแปรเรียกว่า ดัชนีความเบี้ยงเบนจากทรงกรวยอก (acylindricity) และ ดัชนีความเบี้ยงเบนจากทรงกลม (asphericity) จากสมการ  $c = (L_2^2 - L_3^2)$  และ  $b = L_1^2 - 1/2(L_2^2 + L_3^2)$  ตามลำดับ เนื่องจากใช้ตัวแปรเหล่านี้เนื่องจากโนมเลกุลพอลิเมอร์จะมีรูปทรงอยู่ในระหว่างทรงกลมและทรงกรวยอก รูปที่ 3.7 แสดงให้เห็นว่ารูปทรงของโนมเลกุลพอลิเมอร์จะเปลี่ยนแปลงเมื่อโนมเลกุลอยู่ใกล้บริเวณพื้นผิวโดยโนมเลกุลจะมีรูปทรงคล้ายทรงกลมมากขึ้น ดัชนีความเบี้ยงเบนจากทรงกลมจะมีค่าเพิ่มขึ้นและการดัชนีความเบี้ยงเบนจากทรงกรวยอกจะมีค่าลดลงที่บริเวณพื้นผิว



รูปที่ 3.5: การกระจายความหนาแน่นของจุดศูนย์กลางมวลโดยเป็นฟังก์ชันกับระยะห่างจากจุดศูนย์กลางมวลของอนุภาค nano



รูปที่ 3.6: การเปลี่ยนแปลงของแกนหลักในกรรีทีเกนโนเลกูลพอดิเมอร์โดยเป็นฟังก์ชันกับระยะห่างจากจุดศูนย์กลางมวลของอนุภาค nano



รูปที่ 3.7: การเปลี่ยนแปลงของรูปร่างโมเลกุล (asphericity และ acylindricity) โดยเป็นฟังก์ชันกับระยะห่างจากจุดศูนย์กลางมวลของอนุภาคนาโน

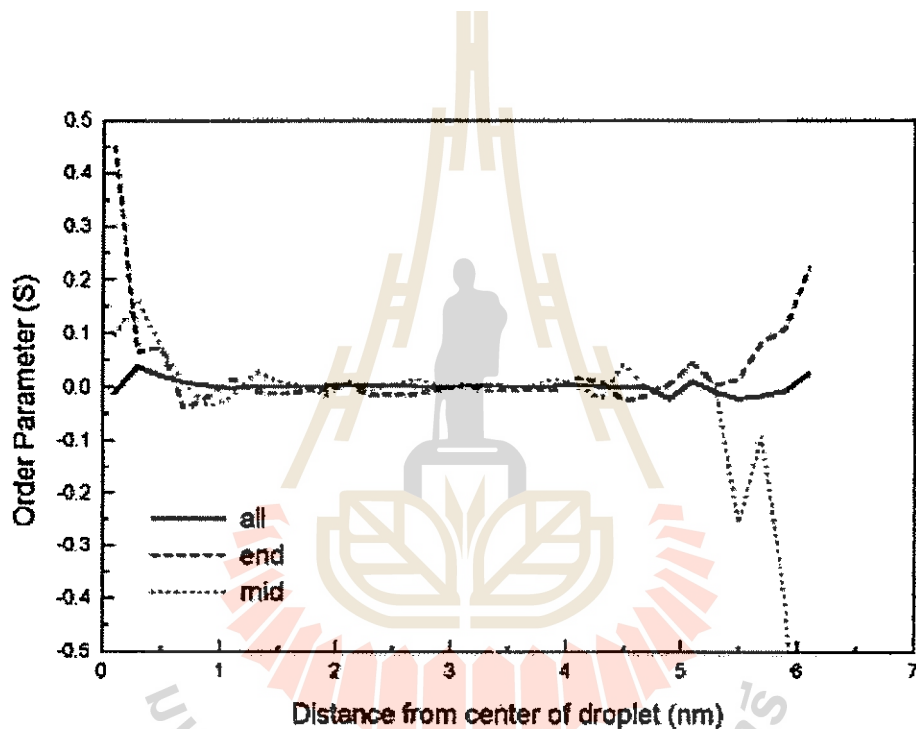
### 3.1.3 การจัดเรียงระดับส่วนย่อของสายโซ่

ในหัวข้อนี้จะเป็นการศึกษาลักษณะการจัดเรียงของพันธะระหว่างอะตอมคาร์บอนที่อยู่คิดกัน แต่เนื่องจากโครงผลึกที่ใช้ในที่นี้จะแทนแต่ละจุดบนโครงผลึกด้วยอะทิลลีนซึ่งมีคาร์บอน 2 อะตอม ทำให้ต้องนิยามการจัดเรียงระดับส่วนย่อของสายโซ่ใหม่โดยใช้เวกเตอร์ที่เชื่อมระหว่างอะทิลลีนสองหน่วยเพื่อระบุระยะห่างของอะตอมคาร์บอนอยู่ห่างกันสองพันธะ ดังนีการจัดเรียง (order parameter) นิยามจากสมการ

$$S_b = \frac{1}{2} \langle 3 \cos^2 \theta - 1 \rangle \quad (3.6)$$

เมื่อ  $\theta$  เป็นมุมระหว่างเวกเตอร์ที่เชื่อมระหว่างส่วนย่อของสายโซ่กับเวกเตอร์อ้างอิง ในที่นี้จะใช้เวกเตอร์อ้างอิงที่นิยามโดยเวกเตอร์ที่เชื่อมระหว่างจุดศูนย์กลางมวลของอนุภาคนาโนและจุดศูนย์กลางมวลของส่วนย่อข้างนั้นๆ วงเล็บที่แสดงในสมการหมายถึงการเฉลี่ยแบบองซอนเบิล ดังนีการจัดเรียงจะมีค่าเป็น -0.5 หรือ 1.0 เมื่อเวกเตอร์ทั้งสองมีทิศตั้งฉากหรือขนานกันอย่างสมบูรณ์ และมีค่าเท่ากับ 0 เมื่อเป็นการจัดเรียงแบบໄร์ะเปียนอย่างสมบูรณ์ เมื่อพิจารณาการจัดเรียงเทียบกับพื้นผิวพบว่าค่าดังนีดังกล่าวจะเท่ากับ 1 เมื่อเวกเตอร์ของส่วนย่อแยกจากสายโซ่ตั้งฉากกับพื้นผิว

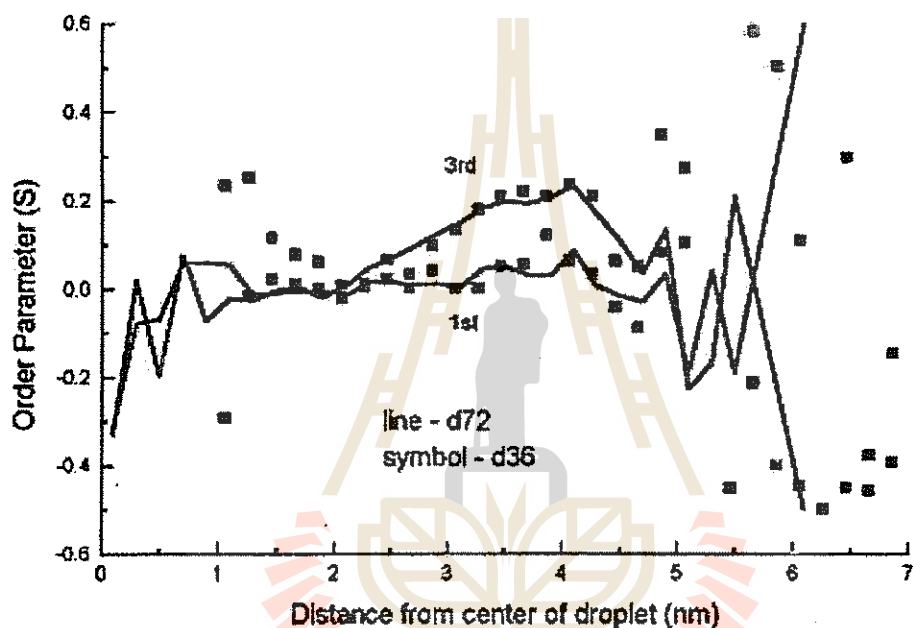
รูปที่ 3.8 แสดงการกระจายตัวของการจัดเรียงความรักมีของอนุภาคนาโน โดยพิจารณาแยกส่วนของเวกเตอร์จากส่วนปลายและกึ่งกลางในสายไฟที่เทียบกับการเฉลี่ยของเวกเตอร์ทั้งหมดในโมเลกุล ผลที่ได้พบว่าจะไม่มีการจัดเรียงที่เป็นระเบียบเรียบภายในอนุภาคนาโนซึ่งแสดงจากค่า  $S = 0$  การเปลี่ยนแปลงที่บริเวณใกล้จุดศูนย์กลางมวลของอนุภาคนี้จะไม่นำมาพิจารณา เพราะมีจำนวนตัวอย่างน้อยทำให้เกิดการเบี่ยงเบนเชิงสถิติ สำหรับบริเวณใกล้พื้นผิวน้ำที่เวกเตอร์จากบริเวณกึ่งกลางของโมเลกุลจะจัดเรียงในทิศทางกันพื้นผิวน้ำที่เวกเตอร์จากส่วนปลายของสายไฟจะจัดเรียงในทิศตั้งฉาก เมื่อพิจารณาผลเฉลี่ยทั้งหมดพบว่าผลทรงข้ามทั้งสองจะหักล้างกันที่บริเวณพื้นผิวทำให้ชั้นการจัดเรียงโดยรวมของทุกเวกเตอร์มีค่าใกล้เคียงศูนย์ข้อมูลที่ได้จากการบนอนุภาคนาโนนี้คือถ้ากันงานวิจัยครั้งก่อนในระบบฟิล์มนางและนาโนไฟเบอร์



รูปที่ 3.8: ฟังก์ชันการจัดเรียงของส่วนย่อแยกจากสายไฟ (ส่วนกลาง-, ส่วนปลาย- และทุกส่วน) โดยเป็นฟังก์ชันกับระยะห่างจากจุดศูนย์กลางมวลของอนุภาคนาโน

### 3.1.4 การจัดเรียงระดับโนเมเลกุล

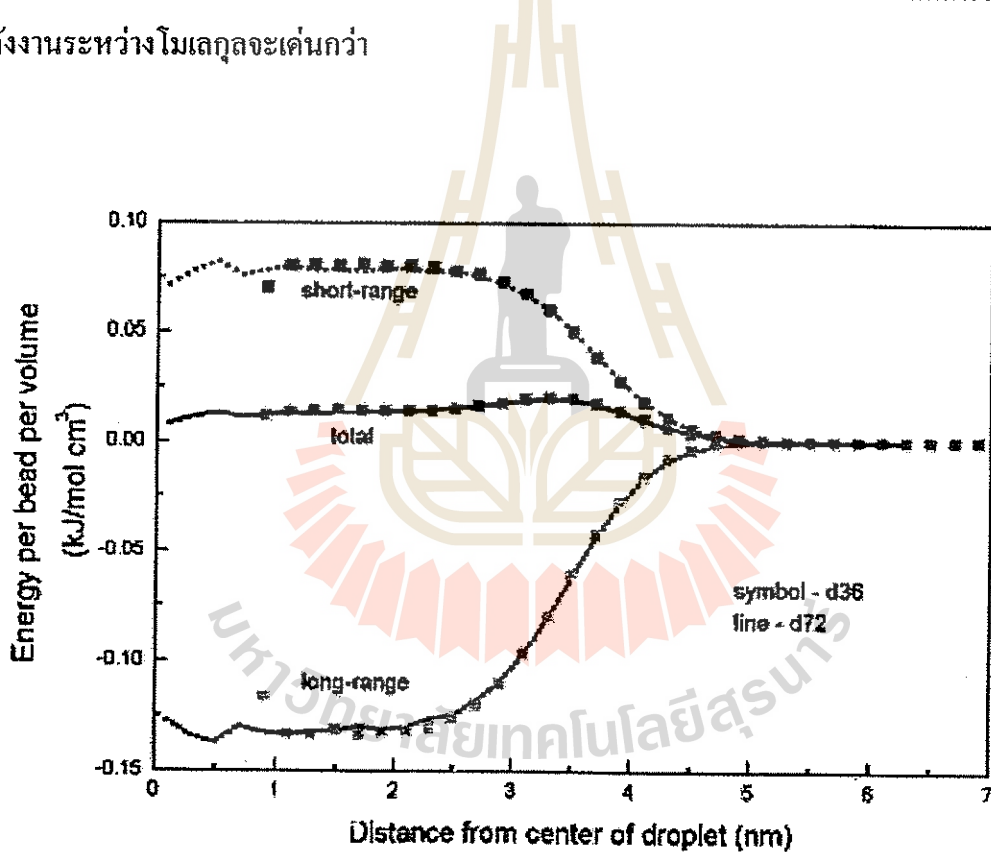
รูปที่ 3.9 แสดงการจัดเรียงของไอกenen เวกเตอร์ที่คำนวณมาจากแกนหลักทั้งสามของทรงรีที่แทนรูปทรงของโนเมเลกุลพอลิเมอร์ ( $L_1$  และ  $L_3$ , แทนแกนหลักของทรงรีที่ยาวและสั้นที่สุดตามลำดับ) นิยามของดัชนีการจัดเรียงและเวกเตอร์อ้างอิงจะเหมือนหัวข้อ 3.1.3 แต่จะใช้เวกเตอร์ระดับโนเมเลกุลในการพิจารณา ผลที่ได้พบว่าเวกเตอร์ทั้งสองจะจัดเรียงแบบไร้ระเบียบบริเวณส่วนในของอนุภาคนาโนจากนั้นจะจัดเรียงแบบมีทิศทางจำเพาะเมื่อโนเมเลกุลอยู่ใกล้บริเวณพื้นผิวเป็นระยะห่างไม่เกิน  $2R_g$  ในทิศที่นานกับพื้นผิว



รูปที่ 3.9: ฟังก์ชันการจัดเรียงระดับโนเมเลกุลของแกนหลักที่ 1 และที่ 3 ของทรงรีที่แทนโนเมเลกุลพอลิเมอร์โดยเป็นฟังก์ชันกับระยะห่างจากจุดศูนย์กลางมวลของอนุภาคนาโน

### 3.1.5 พลังงานพื้นผิว

พลังงานพื้นผิวของอนุภาคนาโนคำนวณได้จากการเปรียบเทียบระหว่างพลังงานรวมของอนุภาคเทียบกับพลังงานในส่วนที่ไม่มีพื้นผิวปรากฏอยู่ พลังงานในส่วนหลังนี้หาได้จากบริเวณภายในของอนุภาคซึ่งมีค่าพลังงานคงที่ ดังรูปที่ 3.10 พลังงานรวมแยกออกได้สองส่วน คือ พลังงานภายในโมเลกุล (intramolecular energy) และพลังงานระหว่างโมเลกุล (intermolecular energy) พลังงานภายในโมเลกุลหาได้จากแบบจำลองไฮโซเมอร์เชิงโครงรูป ส่วนพลังงานระหว่างโมเลกุลหาได้จากการผลรวมของพลังงานศักย์จากอันตรกิริยาแบบ Lennard-Jones บนโครงสร้าง ผลการคำนวณแสดงในรูปที่ 3.10 ซึ่งพบว่าพลังงานทั้งสองจะเปลี่ยนแปลงในลักษณะตรงข้ามกันที่บริเวณใกล้พื้นผิว คือ พลังงานภายในโมเลกุลมีค่าลดลงแต่พลังงานระหว่างโมเลกุลจะมีค่าเพิ่มขึ้น แสดงว่าโครงรูปโมเลกุลจะเป็นแบบทรงลูกศรมากขึ้นบริเวณพื้นผิวและมีแรงผลักระหว่างกันเพิ่มขึ้น พลังงานรวมของระบบบริเวณพื้นผิวนี้มีค่าเพิ่มขึ้นเพียงเล็กน้อยแสดงว่าผลจากพลังงานระหว่างโมเลกุลจะเด่นกว่า



รูปที่ 3.10: ค่าเฉลี่ยของพลังงานภายในโมเลกุล ระหว่างโมเลกุลและพลังงานรวมของอนุภาคนาโนโดยเป็นฟังก์ชันกับระยะห่างจากจุดศูนย์กลางมวลของอนุภาคนาโน

ส่วนที่เป็นพลังงานศักย์ของพลังงานพื้นผิว (ส่วนที่เป็นพลังงานจนไม่สามารถหาได้จากการจำลองแบบโมเดลกูลโคลยเทคนิคอนติ คาร์โลนี) หาได้จากสมการ

$$\gamma = (E_{\text{droplet}} - \langle E_{3D} \rangle) / 4\pi R^2 \quad (3.7)$$

เมื่อ  $E_{\text{droplet}}$  และ  $\langle E_{3D} \rangle$  คือ พลังงานศักย์เฉลี่ยของอนุภาคนาโนและพลังงานของโครงสร้างที่ไม่มีพื้นผิว ตามลำดับ  $E_{\text{droplet}}$  หาได้โดยตรงจากพลังงานรวมของอนุภาค ส่วน  $\langle E_{3D} \rangle$  ประมาณได้จากพลังงานในบริเวณส่วนกลางของอนุภาคนาโน เมื่อพิจารณาจากรูปที่ 3.10 พบว่าสามารถใช้ค่าพลังงานบริเวณรัศมีที่น้อยกว่า 1 nm เป็นตัวของ  $\langle E_{3D} \rangle$  ได้ การกำหนดรัศมี ( $R$ ) ของอนุภาคนาโนไม่ชัดเจนเนื่องจากมีพื้นผิวที่กว้าง คั่งน้ำนมการเปรียบเทียบพลังงานพื้นผิวระหว่างอนุภาคทึ้งสอง ( $d_{36}$  และ  $d_{72}$ ) จะใช้รัศมีที่ความหนาแน่นของอนุภาคลดลงครึ่งหนึ่งเมื่อเทียบกับบริเวณภายนอก จากข้อกำหนดคั่งกล้าวทำให้ได้พลังงานพื้นผิวเท่ากับ  $21.5 \text{ erg.cm}^{-2}$  ที่  $R = 2.9 \text{ nm}$  และ  $25.2 \text{ erg.cm}^{-2}$  ที่  $R = 3.7 \text{ nm}$  สำหรับระบบ  $d_{36}$  และ  $d_{72}$  ตามลำดับ ค่าที่ได้ใกล้เคียงกับระบบฟิล์มนางและนาโนไฟเบอร์ โดยระบบพอลิเมอร์ฟิล์มนางทึ้งจากการทดลองและการจำลองแบบโมเดลให้ค่าเท่ากับ  $22.2 \text{ erg.cm}^{-2}$  และ  $23.4 \text{ erg.cm}^{-2}$  ตามลำดับ [22-23]

### 3.2 สมบัติเชิงพลวัต

#### 3.2.1 การเคลื่อนที่ของพอลิเมอร์ระดับหน่วยย่อย

อัตราการยอมรับ (accepted rate) ในการเคลื่อนที่ของหน่วยย่อยบริเวณภายนอกอนุภาคนาโนที่ไม่เคลื่อนที่ในแต่ละวนรอบอนติ คาร์โล ที่อุณหภูมิ  $509 \text{ K}$  มีค่าประมาณ  $17.5 \%$  ซึ่งมีค่าใกล้เคียงกับผลจากระบบพอลิเมอร์ที่ไม่มีพื้นผิวที่อุณหภูมิและความหนาแน่นเดียวกัน อย่างไรก็ดี อัตราการยอมรับจะมีค่าเพิ่มขึ้นเป็น  $22.0\%$  ที่บริเวณพื้นผิว (บริเวณที่ความหนาแน่นลดลงจาก  $0.7 \text{ g.cm}^{-2}$  เป็น  $0 \text{ g.cm}^{-2}$  ในช่วงระยะประมาณ  $2.5 \text{ nm}$ ) การเพิ่มขึ้นของอัตราการยอมรับที่บริเวณพื้นผิวของอนุภาคนาโนจะคล้ายกับพฤติกรรมของโมเดลกูลโคลยเมอร์ในระบบฟิล์มนางและนาโนไฟเบอร์

#### 3.2.2 การจัดเรียงเชิงพลวัตของส่วนย่อยในสายโซ่

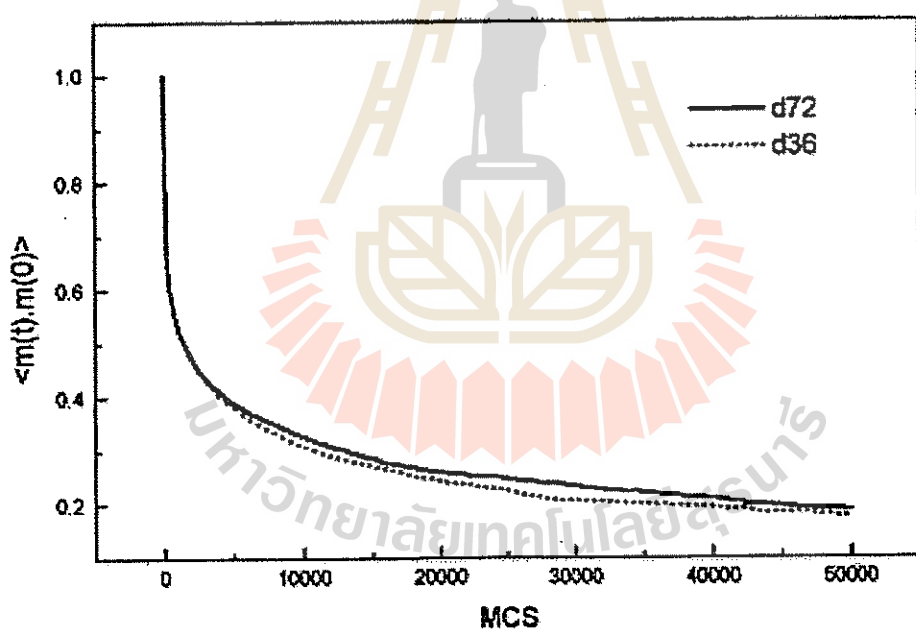
ในหัวข้อนี้เป็นการศึกษาสมบัติเชิงพลวัตในระดับที่เล็กกว่าโมเดลกูลโคลยเกี่ยวกับการเคลื่อนที่ของส่วนย่อยในสายโซ่ซึ่งนิยามจากเวกเตอร์ที่เข้มงวดระหว่างอะตอนการบนที่อยู่ห่างกัน  $2 \text{ พันจะ } m(t)$  ตามลักษณะแบบจำลองของสายโซ่บนโครงผลึกที่ใช้ การจัดเรียงเชิงพลวัตจะศึกษาโดยใช้ฟังก์ชันที่เรียกว่า ฟังก์ชันอัตโนมัติสหสมพันธ์ (autocorrelation function)  $P(t)$  ซึ่งนิยามจากสมการ

$$P(t) = \langle \mathbf{m}(t) \cdot \mathbf{m}(0) \rangle \quad (3.8)$$

โดยที่เครื่องหมายวงเล็บหมายถึงการเฉลี่ยแบบองซอนเบิล จากนั้นนำผลที่ได้เทียบกับสมการ William-Watts ดังนี้

$$P(t) = \exp[-(t/\tau_c)^\beta] \quad (3.9)$$

โดย  $\tau_c$  เป็นเวลาในการคลายตัวของเวกเตอร์และ  $\beta$  เป็นตัวแปรที่บ่งถึงการเบี่ยงเบนจากการคลายตัวแบบ Debye รูปที่ 3.11 แสดงฟังก์ชันอัตโนมัติที่ได้จากการทั้งสอง สำหรับค่าของ  $\tau_c$  และ  $\beta$  จากการเทียบกับสมการ 3.9 แสดงในตารางที่ 3.1 ข้อมูลจากระบบที่ไม่มีพื้นผิวจากตารางนำมาจากระบบที่มีสายโซ่ยาว 100 หน่วยจำนวน 36 โดยคุณชี้แจงที่จำนวนหน่วยอยู่ของอนุภาคนาโน จากข้อมูลที่ได้พบว่าการคลายตัวในระดับส่วนย่อยของสายโซ่สำหรับอนุภาคนาโนจะเกิดขึ้นได้เร็วกว่าระบบที่ไม่มีพื้นผิว การคลายตัวของส่วนย่อยในโมเลกุลของอนุภาคนาโนที่มีขนาดเล็กจะเกิดได้ง่ายกว่า ส่วนตัวแปร  $\beta$  นั้นพบว่าจะเปลี่ยนแปลงค่อนข้างน้อยกว่าเมื่อเทียบกับตัวแปร  $\tau_c$



รูปที่ 3.11: ฟังก์ชันอัตโนมัติที่ของเวกเตอร์ส่วนย่อยในโมเลกุลพอลิเมอร์ของระบบ d36 (เส้นประ) และระบบ d72 (เส้นทึบ)

### 3.2.3 การเคลื่อนที่แบบหมุนรอบ

ในที่นี้จะแบ่งการเคลื่อนที่แบบหมุนรอบออกเป็นสองลักษณะ คือ ชนิดที่ 1 เป็นการคลายตัวระดับโมเลกุล โดยพิจารณาจาก การเคลื่อนที่ของเวกเตอร์ที่เชื่อมระหว่างจุดปลายของสายโซ่  $\mathbf{R}_{EE}(t)$  ชนิดที่ 2 เป็นการพิจารณา การหมุนรอบจุดศูนย์กลางของอนุภาคนาโน โดยใช้เวกเตอร์ที่เชื่อมระหว่างจุดศูนย์กลางมวลของสายโซ่ และอนุภาคนาโน  $\mathbf{R}_{CM}(t)$  เป็นตัวกำหนด การอธิบายลักษณะการเคลื่อนที่ที่นิยามเวกเตอร์ทั้งสองจะใช้ฟังก์ชันสหสัมพันธ์เดียวกัน คือ

$$C(t) = \langle \mathbf{R}(t) \cdot \mathbf{R}(0) \rangle / \langle \mathbf{R} \rangle^2 \quad (3.10)$$

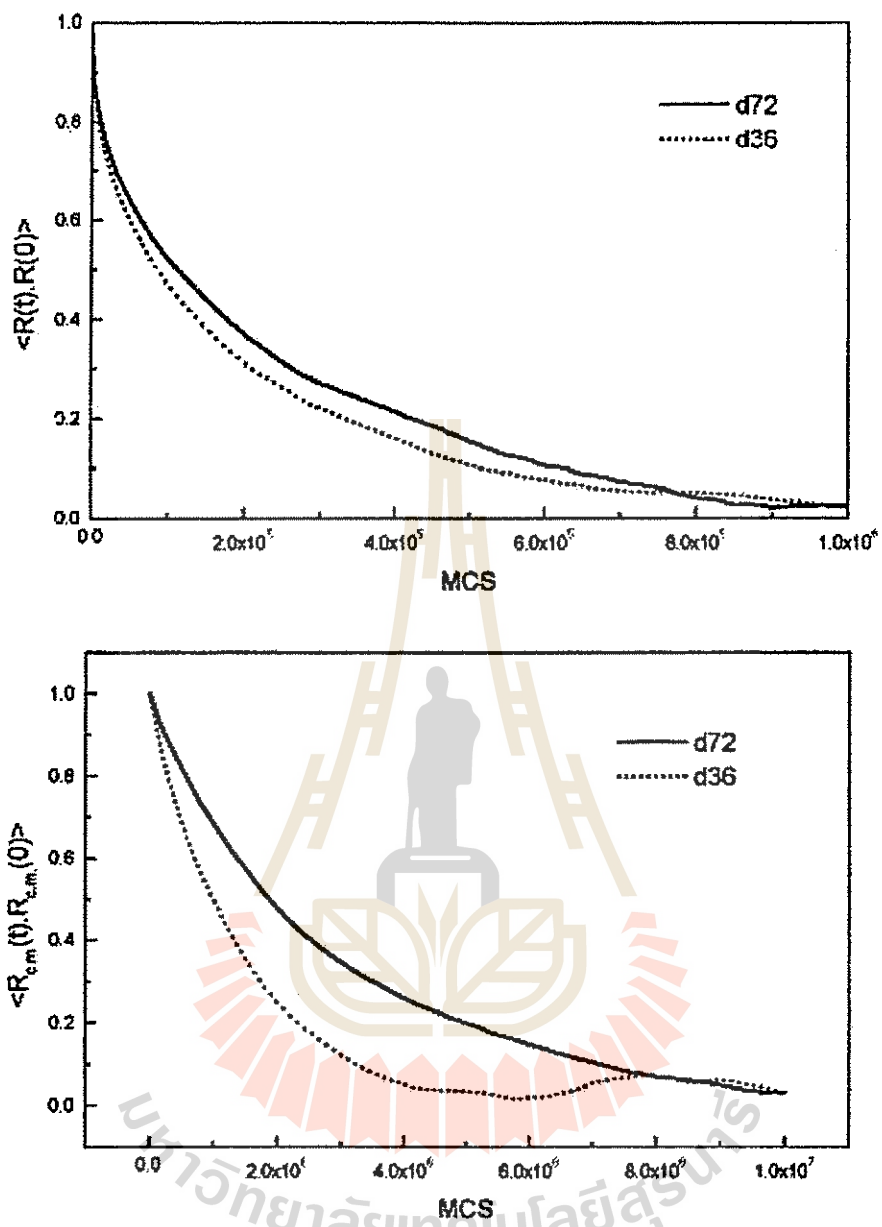
เมื่อ  $\mathbf{R}(t)$  เป็นเวกเตอร์ที่เชื่อมระหว่างจุดปลายของสายโซ่  $\mathbf{R}_{EE}(t)$  หรือ เวกเตอร์ที่เชื่อมระหว่างจุดศูนย์กลางมวลของสายโซ่ และอนุภาคนาโน  $\mathbf{R}_{CM}(t)$  ที่เวลา  $t$  ไดๆ

การคลายตัวของโมเลกุลและอนุภาคนาโนแสดงในรูปที่ 3.12a และ 3.12b ตามลำดับ จากข้อมูลที่ได้พบว่า การคลายตัวในระดับโมเลกุลจะเกิดขึ้นเร็กว่าระดับอนุภาคประมาณ 10 เท่า เมื่อพิจารณาจาก การคลายตัวของฟังก์ชันสหสัมพันธ์  $C(t) \rightarrow 0$  พนท.  $t \sim 10^6$  MCS และ  $t \sim 10^7$  MCS สำหรับการผ่อนคลายระดับโมเลกุลและระดับอนุภาค ตามลำดับ นอกจากนี้ยังพบอีกว่า การผ่อนคลายทั้งสองประเภทในอนุภาคขนาดเล็ก (d36) จะเกิดขึ้นเร็วกว่าในอนุภาคขนาดใหญ่ (d72) เช่น หากเลือกช่วงเวลาที่ทำให้ฟังก์ชันสหสัมพันธ์ลดลงเป็น  $1/e$  จะได้ค่าเป็น  $t_{1/e} = 1.38 \times 10^6$  (d36) และ  $t_{1/e} = 2.70 \times 10^6$  (d72)

การเปรียบเทียบลักษณะการผ่อนคลายของโมเลกุลกับระบบพอลิเมอร์อื่นทำได้โดยการเปรียบเทียบ การลดลงของเวกเตอร์  $\mathbf{R}_{EE}(t)$  กับสมการที่สร้างขึ้นจากแบบจำลองราส์ (Rouse model) ดังนี้

$$\frac{\langle \mathbf{R}_{EE}(t) \cdot \mathbf{R}_{EE}(0) \rangle}{\langle \mathbf{R}_{EE} \rangle^2} = \sum_{p=1,3,\dots} \frac{8}{p^2 \pi^2} \exp\left(-\frac{tp^2}{\tau_R}\right) \quad (3.11)$$

โดยตัวแปร  $\tau_R$  ในที่นี้ คือ เวลาที่นานที่สุดในการผ่อนคลายของระบบและเป็นตัวแปรที่ใช้เปรียบเทียบกับข้อมูลจากการจำลองแบบกับสมการ 3.11 ในที่นี้จะใช้ผลรวมถึงพจน์  $p = 7$  ซึ่งเป็นเงื่อนไขที่ใช้ได้คือ ค่าของตัวแปร  $\tau_R$  และ อัตราส่วน  $\tau_C / \tau_R$  แสดงในตารางที่ 3.1 สำหรับระบบอนุภาคนาโนและระบบที่ไม่มีพื้นผิว ผลที่ได้ให้ข้อสรุปว่า กระบวนการคลายตัวในอนุภาคนาโนจะเกิดขึ้นได้เร็วกว่าระบบที่ไม่มีพื้นผิวและอนุภาคนาโนที่มีขนาดเล็กจะคลายตัวได้เร็วกว่า



รูปที่ 3.12: (a) พังก์ชันสหสัมพันธ์ของเวลาเตอร์ที่เชื่อมระหว่างจุดปลายของพอดิเมอร์ตามวนรอบ non-ติการ์โล ของระบบ  $d=36$  (เส้นประ) และระบบ  $d=72$  (เส้นทึบ) (b) พังก์ชันสหสัมพันธ์ของเวลาเตอร์ที่เชื่อมระหว่างจุดศูนย์กลางอนุภาคนานโนกับจุดศูนย์กลางของแต่ละโโมเลกุลตามวนรอบ non-ติการ์โล ของระบบ  $d=36$  (เส้นประ) และระบบ  $d=72$  (เส้นทึบ)

ตารางที่ 3.1: เวลาผ่อนคลายสำหรับการเคลื่อนที่แบบหมุนของโมเลกุลพอลิเมอร์ ( $\tau_r$ ) และเวลาเตอร์ส่วนย่อของสายโซ่ ( $\tau_c$ )

ระบบ	$\tau_c$ ( $\times 10^3$ MCS)	$\beta$	$\tau_r$ ( $\times 10^5$ MCS)	$\tau_c/\tau_r$
ไนโตรฟิล์ม	9.81	0.258	5.22	0.019
อนุภาคนาโน (d36)	5.56	0.262	2.31	0.024
อนุภาคนาโน (d72)	6.83	0.247	2.75	0.023

ตารางที่ 3.2: เลขยกกำลัง ‘a’ ( $MSD \sim t^a$ ) จากกราฟแบบ log-log ของการจัดกลำลังสองเฉลี่ยกับเวลา

MSD	Regime I: $t < \tau_r$			Regime II: $t > \tau_r$		
	d72	d36	bulk	d72	d36	bulk
$g_1$	0.439	0.425	0.531	0.542	0.559	0.821
$g_2$	0.396	0.382	0.471	-	-	-
$g_3$	0.813	0.806	0.811	0.791	0.713	0.974
$g_4$	0.538	0.559	0.473	0.299	0.405	0.608
$g_5$	0.468	0.468	0.446	-	-	-

\* ข้อมูลที่ว่างของ  $g_2$  และ  $g_5$  ในย่านที่ II หมายถึง MSD จะมีค่าคงที่ในช่วงเวลาที่นานพอ

### 3.2.4 การเคลื่อนที่แบบเลื่อนคำแห่งน้ำ

ในที่นี่จะใช้ฟังก์ชันการขัดกำลังสอง (mean square displacement) 7 ชนิดเพื่อธิบายการเคลื่อนที่แบบเลื่อนคำแห่งน้ำของระบบอนุภาคนาโน โดยฟังก์ชัน  $g_1$  และ  $g_2$  จะใช้กับมอนอเมอร์ที่อยู่ส่วนในของสายโซ่,  $g_3$  และ  $g_{3D}$  ใช้กับจุดศูนย์กลางมวลของพอลิเมอร์,  $g_4$  และ  $g_5$  ใช้กับมอนอเมอร์ที่อยู่ส่วนปลายของสายโซ่  $g_6$  ใช้กับจุดศูนย์กลางมวลของอนุภาคนาโน โดยฟังก์ชันทั้งหมดนี้ได้ดังนี้

(1) ฟังก์ชันการขัดกำลังสองของมอนอเมอร์ที่อยู่ภายในสายโซ่โดยใช้พิกัดภายนอกอ้างอิง

$$g_1 = \langle (\mathbf{R}_{\text{mid}}(t) - \mathbf{R}_{\text{mid}}(0))^2 \rangle \quad (3.12)$$

(2) ฟังก์ชันการขัดกำลังสองของมอนอเมอร์ที่อยู่ภายในสายโซ่โดยใช้จุดศูนย์กลางมวลของอนุภาคนาโนเป็นพิกัดอ้างอิง

$$g_2 = \langle [(\mathbf{R}_{\text{mid}}(t) - \mathbf{R}_{\text{cm}}(t)) - (\mathbf{R}_{\text{mid}}(0) - \mathbf{R}_{\text{cm}}(0))]^2 \rangle \quad (3.13)$$

(3) ฟังก์ชันการขัดกำลังสองของจุดศูนย์กลางมวลของสายโซ่โดยใช้พิกัดภายนอกอ้างอิง

$$g_3 = \langle (\mathbf{R}_{\text{cm}}(t) - \mathbf{R}_{\text{cm}}(0))^2 \rangle \quad (3.14)$$

(4) ฟังก์ชันการขัดกำลังสองของจุดศูนย์กลางมวลของสายโซ่โดยใช้จุดศูนย์กลางมวลของอนุภาคนาโนเป็นพิกัดอ้างอิง

$$g_{3D} = \langle [(\mathbf{R}_{\text{cm}}(t) - \mathbf{D}_{\text{cm}}(t)) - (\mathbf{R}_{\text{cm}}(0) - \mathbf{D}_{\text{cm}}(0))]^2 \rangle \quad (3.15)$$

(5) ฟังก์ชันการขัดกำลังสองของมอนอเมอร์ที่อยู่ปลายสายโซ่โดยใช้พิกัดภายนอกอ้างอิง

$$g_4 = \langle (\mathbf{R}_{\text{end}}(t) - \mathbf{R}_{\text{end}}(0))^2 \rangle \quad (3.16)$$

(6) ฟังก์ชันการขัดกำลังสองของมอนอเมอร์ที่อยู่ปลายสายโซ่โดยใช้จุดศูนย์กลางมวลของอนุภาคนาโนเป็นพิกัดอ้างอิง

$$g_s = \langle [R_{end}(t) - R_{cm}(t)] - [R_{end}(0) - R_{cm}(0)]^2 \rangle \quad (3.17)$$

(7) พังก์ชันการขัดกำลังสองของจุดศูนย์กลางมวลของอนุภาคนาโนใช้พิกัดภายนอกอ้างอิง

$$g_D = \langle (D_{cm}(t) - D_{cm}(0))^2 \rangle \quad (3.18)$$

เมื่อ  $R_{end}(t)$ ,  $R_{cm}(t)$ ,  $D_{cm}(t)$  เป็นเวกเตอร์ของตำแหน่งที่เวลา  $t$  ของอนุเมอร์ภายในสายโซ่, อนุเมอร์ที่จุดปลายสายโซ่, จุดศูนย์กลางมวลของโซ่อ่อนลิเมอร์และอนุภาคนาโน ตามลำดับ เครื่องหมายเลื่อนเป็นการเคลื่อนที่ในแนวนอนและต่อตัวช่วงเวลาที่ใช้

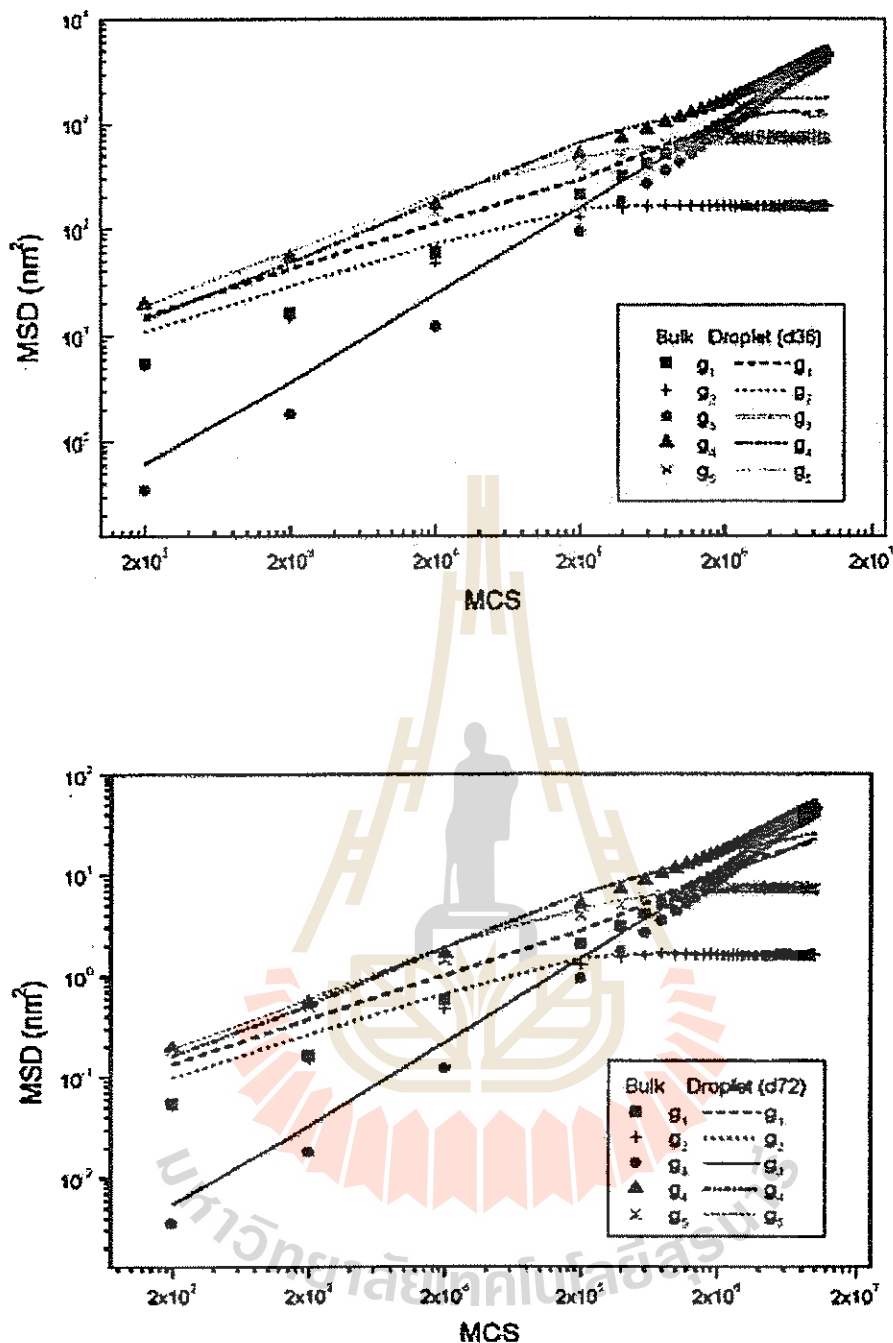
จากแบบจำลองเรารู้ว่าสายโซ่เก่าสืบที่จะได้ความสัมพันธ์ระหว่างพังก์ชันการขัดกับเวลา คั่งนี้  $g_i(t) \propto t^{1/2}$  ( $g_i(t) \propto t^{1/(1+1/2v)}$  สำหรับสายโซ่ที่มีอัตราการห่วงกันในช่วงเวลาที่สั้นกว่าเวลาเรารู้ และจะได้ความสัมพันธ์  $g_i(t) \propto t$  ในช่วงเวลาที่นานกว่าเวลาเรารู้มาก ( $t > \tau_R$ ) ลักษณะเช่นเดียว กัน  $g_2(t) \approx g_1(t)$  สำหรับ  $t < \tau_R$  ขณะที่  $g_2(t \geq \tau_R) \approx \langle Rg^2 \rangle$ . สำหรับ  $g_3(t)$  นั้นจะมีพุทธิกรรมคล้ายกับกระบวนการแพร่แบบธรรมชาติทุกช่วงเวลา โดย  $g_3(t) \propto t$ , ทึ้งสายโซ่แบบเก่าสืบที่จะได้ความสัมพันธ์ระหว่างพังก์ชันการขัดกับเวลาที่ใช้ อัตราการห่วงกัน การเคลื่อนที่ของส่วนปลายในสายโซ่จะเกิดขึ้นเร็วกว่าส่วนที่อยู่ภายใต้สายโซ่ เป็นที่คาดว่า  $g_4$  จะมีลักษณะคล้ายกัน  $g_4$  เมื่อ  $t < \tau_R$  แต่จะถึงจุดคงตัวที่  $t > \tau_R$ ,  $g_4(t \rightarrow \infty) = \frac{2}{3} \langle R_{EE}^2 \rangle$  สำหรับช่วงเวลาสั้นๆ ที่  $t < \tau_R$  นั้น อัตราส่วน  $g_4/g_3$  จะถูกเข้าสู่ 2

ข้อมูลข้างต้นเป็นผลการทำนายจากแบบจำลองเรารู้ การทดสอบแบบจำลองเรารู้จะต้องเปรียบเทียบกับผลการทำนายแบบไม่เลกูลของระบบที่ไม่มีพินผือเพื่อหาลักษณะพังก์ชันการขัดทั้ง 5 ชนิด ( $g_1$ ,  $g_2$ ,  $g_3$ ,  $g_4$  และ  $g_5$ ) ข้อมูลที่ได้พบว่าพังก์ชันการขัดของอนุเมอร์จะมีการเคลื่อนที่บางช่วงเป็นการแพร่แบบไม่สมบูรณ์ก่อน โดย  $g_1$  และ  $g_4$  จะเปรียบตาม  $t^{1/2}$  ก่อนเจ้ามานไปสู่ช่วงการแพร่แบบสมบูรณ์ที่เวลา  $t > \tau_R$  ตามผลการทำนายจากแบบจำลองเรารู้ สัมประสิทธิ์ในยานก่อนการแพร่แบบสมบูรณ์ของ  $g_1$  และ  $g_4$  มีค่าเป็น 0.53 และ 0.47 ตามลำดับ ขณะที่  $g_2$  และ  $g_5$  จะมีค่าคงที่ในช่วงเวลาดังกล่าวเนื่องจากทราบว่าพังก์ชันทั้งสองเป็นการวัดเทียบกับจุดศูนย์กลางมวลที่ใช้เป็นกรอบอ้างอิง ส่วนพังก์ชันการขัดของจุดศูนย์กลางมวลจะมีพุทธิกรรมการแพร่แบบไม่สมบูรณ์โดย  $g_3$  มีค่าเปรียบตาม  $t^{0.81}$  เมื่อ  $t < \tau_R$  และจะเปลี่ยนเป็นการแพร่แบบปกติเมื่อเวลานานขึ้น ข้อมูลที่ได้ทั้งหมดนี้ให้ข้อสรุปว่าลักษณะการแพร่ของแบบจำลองพอลิเมอร์เมื่อไม่มีพินผือจะมีพุทธิกรรมเชิงพลวัตตามแบบจำลองเรารู้

สมบัติเชิงพลวัตของวัสดุนาโนจะมีลักษณะที่ต่างออกไปเนื่องจากผลของพื้นผิวและขนาดของปริญามีที่จำกัดการเคลื่อนที่ไม่เลกูลพอลิเมอร์ รูปที่ 3.13a และ 3.13b แสดงข้อมูลของพังก์ชันการขัดแบบต่างๆ ซึ่ง

พบว่าลักษณะการแพร่จะเปลี่ยนออกเป็น 2 ข่านที่แตกต่างกัน คือ ช่วง  $t > \tau_R$  และช่วง  $t < \tau_R$  เลขยกกำลัง 'a' จากความสัมพันธ์  $MSD \sim t^a$  ในย่านที่สองแสดงในตารางที่ 3.2 สำหรับช่วง  $t < \tau_R$  นั้น ฟังก์ชันการจัดของอนุเมอร์ส่วนที่อยู่ภายใต้โมเลกุลและจุดศูนย์กลางมวลจะมีลักษณะเป็นแบบไม่ปิด (การแพร่จะเพิ่มขึ้นช้ากว่าเวลา) ส่วนย่าน  $t < \tau_R$  นั้น พบว่าค่าของ  $g_1$ ,  $g_2$  และ  $g_3$  สำหรับอนุภาคนาโนจะน้อยกว่าในระบบที่ไม่มีพื้นผิว แต่ค่าของ  $g_4$  และ  $g_5$  จะไม่แตกต่างนัก เลขยกกำลัง 'a' ของ  $g_1$  และ  $g_2$  จะมีค่าน้อยกว่าของ  $g_4$  จะมีค่ามากกว่าสำหรับอนุภาคนาโน ส่วน  $g_3$  และ  $g_5$  นั้นพบว่าไม่มีข้อแตกต่างแต่อย่างไร จากข้อมูลดังกล่าวทำให้สรุปได้ว่าสมบัติเชิงพลวัตของส่วนที่อยู่ภายใต้โมเลกุลจะเกิดขึ้นได้ช้ากว่าในย่าน  $t < \tau_R$  เมื่อเทียบกับระบบที่ไม่มีพื้นผิว

สำหรับย่าน  $t > \tau_R$  นั้น พบว่าบางฟังก์ชันการจัด ( $g_2$ ,  $g_4$  and  $g_{3D}$ ) จะถูกเข้าสู่ค่าคงที่เมื่อเวลาผ่านไป ค่าคงที่สำหรับ  $g_2$ ,  $g_4$  และ  $g_{3D}$  เท่ากับ  $1.65 \text{ nm}^2$ ,  $6.50 \text{ nm}^2$  และ  $9.20 \text{ nm}^2$  (ระบบ d36) ความลำดับเส้นกราฟของฟังก์ชันการจัดในย่านนี้ของระบบที่ไม่มีพื้นผิวจะลากตัดผ่านเส้นกราฟในระบบอนุภาคนาโนและมีค่าสูงกว่าหลังจากนั้น ซึ่งเรียกลำดับนี้ว่า  $g_3 < g_1 < g_4$  แต่เลขยกกำลัง 'a' จะเรียงลำดับตรงข้าม คือ  $g_4 < g_1 < g_3$  แสดงว่าเส้นกราฟเหล่านี้จะตัดกันได้เมื่อเวลาผ่านไปนานพอ เมื่อพิจารณาการแพร่ของอนุภาคนาโนจาก  $g_D$  พบว่าอนุภาคขนาดเล็ก (d36) จะแพร่ได้เร็วกว่า (d72) ตามคาดเนื่องจากมีมวลน้อยกว่า ส่วนฟังก์ชันการจัดของจุดศูนย์กลางมวลของโมเลกุลพอลิเมอร์ในระบบอนุภาคนาโนนั้นพบว่าจะแตกต่างจากการณ์ระบบที่ไม่มีพื้นผิวโดย  $g_3$  จะถูกเข้าสู่ค่าคงที่ที่มีค่าใกล้เคียงกับขนาดของอนุภาค (ประมาณ  $10 \text{ nm}^2$  สำหรับ d36 และ  $15 \text{ nm}^2$  สำหรับ d72 ค่าเหล่านี้ประมาณมาจากฟังก์ชันการกระจายความหนาแน่นเชิงรัศมีของอนุภาคนาโน) ค่าดังกล่าวจะเป็นขอบเขตที่จำกัดการเคลื่อนที่ของโมเลกุลพอลิเมอร์ในอนุภาคนาโน



รูปที่ 3.13: กราฟแบบ Log-log ของการขัดยกกำลังสองแบบต่างๆเทียบกับเวลา (MCS) (a) ระบบ d36 และ (b) ระบบ d72 เทียบกับระบบที่ไม่มีพื้นผิว

ต่อจากนี้เป็นการวิเคราะห์สมบัติเชิงพลวัตเพิ่มมา โดยจะนิยามกลุ่มค่าว่าของเวลาผ่อนคลาย 5 ชนิด คือ  $\tau_1, \tau_2, \tau_3, \tau_4$  และ  $\tau_5$  เพื่อใช้ชี้วิถีพังก์ชันการขัดที่ได้จากผลข้างต้น ดังนี้

$$g_1(\tau_1) = \langle Rg^2 \rangle, g_2(\tau_2) = \frac{2}{3} \langle Rg^2 \rangle, g_3(\tau_3) = g_2(\tau_3) \text{ และ } g_5(\tau_4) = \langle Rg^2 \rangle$$

ส่วน  $\tau_5$  นิยามจากการกำหนดให้  $g_4(\tau_5) = \langle R_{EE}^2 \rangle$  การนิยามชุดของเวลาผ่อนคลายดังกล่าวทำให้เปรียบเทียบผลที่ได้จากการจำลองแบบและทฤษฎีเราส์ได้สะดวกขึ้น แบบจำลองเราส์จะทำนายผลตามลักษณะ  $\tau_4 \ll \tau_2 \leq \tau_1 < \tau_3$ , โดยมีความแตกต่างประมาณ 20% ระหว่าง  $\tau_1$  และ  $\tau_2$  อัตราส่วนของเวลาผ่อนคลายแต่ละอย่างสำหรับสายโซ่แบบเก่าเชิงน้ำที่ไม่มีอันตรกิริยาระหว่างกันแสดงในตารางที่ 3.3 ส่วนเวลาผ่อนคลายของระบบที่มีอันตรกิริยาระหว่างน้ำที่ใช้ข้อมูลจากการจำลองแบบของระบบที่ไม่มีพื้นผิวนี้เป็นการเปรียบเทียบแทนทั้งนี้เนื่องจากยังไม่มีทฤษฎีใดๆที่ให้ข้อมูลดังกล่าวได้ในปัจจุบัน

ตารางที่ 3.3: การเปรียบเทียบเวลาผ่อนคลายของการเคลื่อนที่แบบเลื่อนตำแหน่งสำหรับส่วนกลาง ส่วนปลายและชุดศูนย์กลางมวลของโมเดลถูกพอสิเมอร์

ระบบ	$\tau_1 \times 10^4$ (MCS)	$\tau_2 \times 10^4$ (MCS)	$\tau_3 \times 10^4$ (MCS)	$\tau_4 \times 10^4$ (MCS)	$\tau_5 \times 10^4$ (MCS)	$\tau_2/\tau_1$	$\tau_3/\tau_1$	$\tau_4/\tau_1$	$\tau_5/\tau_1$
เราส์	-	-	-	-	-	0.74	3.73	0.29	8.89
ไม่มีพื้นผิว (2nd)	7.25	6.85	16.5	2.65	NA	0.94	2.28	0.37	NA
อนุภาคนาโน (d36)	6.5	5.9	16.2	0.82	47.1	0.91	2.49	0.13	7.25
อนุภาคนาโน (d72)	8.2	7.2	20.0	1.10	53.8	0.88	2.44	0.13	6.56

จากนั้นจึงเป็นการศึกษาการเปลี่ยนแปลงชุดตัวเลขเหล่านี้เมื่อถูกจำกัดด้วยพื้นผิวในระบบอนุภาคนาโน เวลาผ่อนคลายและอัตราส่วนตั้งกล่าวซึ่งหากได้จากรูปที่ 3.13 แสดงในตารางที่ 3.3 ข้อมูลที่ได้จากการวิจัยนี้ค่อนข้างสมเหตุผลทั้งค่าของเวลาผ่อนคลายและการเรียงลำดับ แต่การเคลื่อนที่ของอนอมอเมอร์และสายโซ่ในระบบอนุภาคนาโนจะต่างไปจากระบบที่ไม่มีพื้นผิวโดยกลุ่มนอนอมอเมอร์ที่อยู่บริเวณพื้นผิวจะเคลื่อนที่ได้มากกว่าบริเวณส่วนในของอนุภาคนาโน ผลดังกล่าวสอดคล้องกับข้อมูลที่ที่พบว่าส่วนปลายของสายโซ่จะรวมกันอยู่บริเวณพื้นผิวทำให้การเคลื่อนที่ของส่วนปลายในโมเลกุลมากขึ้น ส่วนการเคลื่อนที่แบบเดือนดำเนินการนั้นพบว่าการแพร่ของจุดศูนย์กลางมวลของโมเลกุลจะเพิ่มขึ้นเมื่อเทียบกับระบบที่ไม่มีพื้นผิวและจะมากขึ้นในการณ์ของอนุภาคนาโนที่มีขนาดเล็กกว่า

#### 4. สรุป

ในบทนี้ได้แสดงการจำลองแบบโมเลกุลพอลิเมอร์โดยใช้เทคนิค蒙ติคาร์โลเพื่อศึกษาทั้งสมบัติเชิงสติตและสมบัติเชิงพลวัตของอนุภาคนาโนที่ประกอบด้วยโซ่อพอลิเมอร์จำนวน 36 และ 72 โมเลกุล โดยแต่ละโมเลกุล คือ  $C_{100}H_{202}$  แบบจำลองอนุภาคนาโนสร้างขึ้นได้โดยใช้โครงผลึกที่มีเลขโකออร์ดีเนชันสูง ผังก์ชันการกระจายความหนาแน่นเชิงรัศมีที่ได้มีลักษณะเป็นสัน โถ้งแบบไบเปอร์โนลิก ส่วนปลายของสายโซ่จะเกาะกันที่บริเวณพื้นผิวของอนุภาคในขณะที่ส่วนอื่นของสายโซ่จะมีจำนวนลดลงในบริเวณดังกล่าว ส่วนของโมเลกุลที่อยู่ใกล้พื้นผิวจะมีการจัดเรียงในทิศทางเดียวกันซึ่งต่างจากส่วนอื่นที่มีการจัดเรียงแบบไรีระเบียบ พลังงานพื้นผิวหากได้โดยตรงจากเทคนิค蒙ติคาร์โลและมีค่าใกล้เคียงกับระบบพอลิเมอร์ฟิล์มบางและนานาในไฟเบอร์โดยพลังงานพื้นผิวเป็นผลมาจากการกิริยาระหว่างโมเลกุลเป็นส่วนใหญ่ สมบัติเชิงพลวัตของพอลิเมอร์ในอนุภาคนาโนทั้งในระดับส่วนย่อยของสายโซ่และระดับโมเลกุลจะมีค่าเพิ่มขึ้นเมื่อเทียบกับระบบที่ไม่มีพื้นผิวและจะมีค่ามากขึ้นหากขนาดของอนุภาคเล็กลง

## การทดสอบผลิตภัณฑ์ในระบบฟิล์มบางและนาโนไฟเบอร์

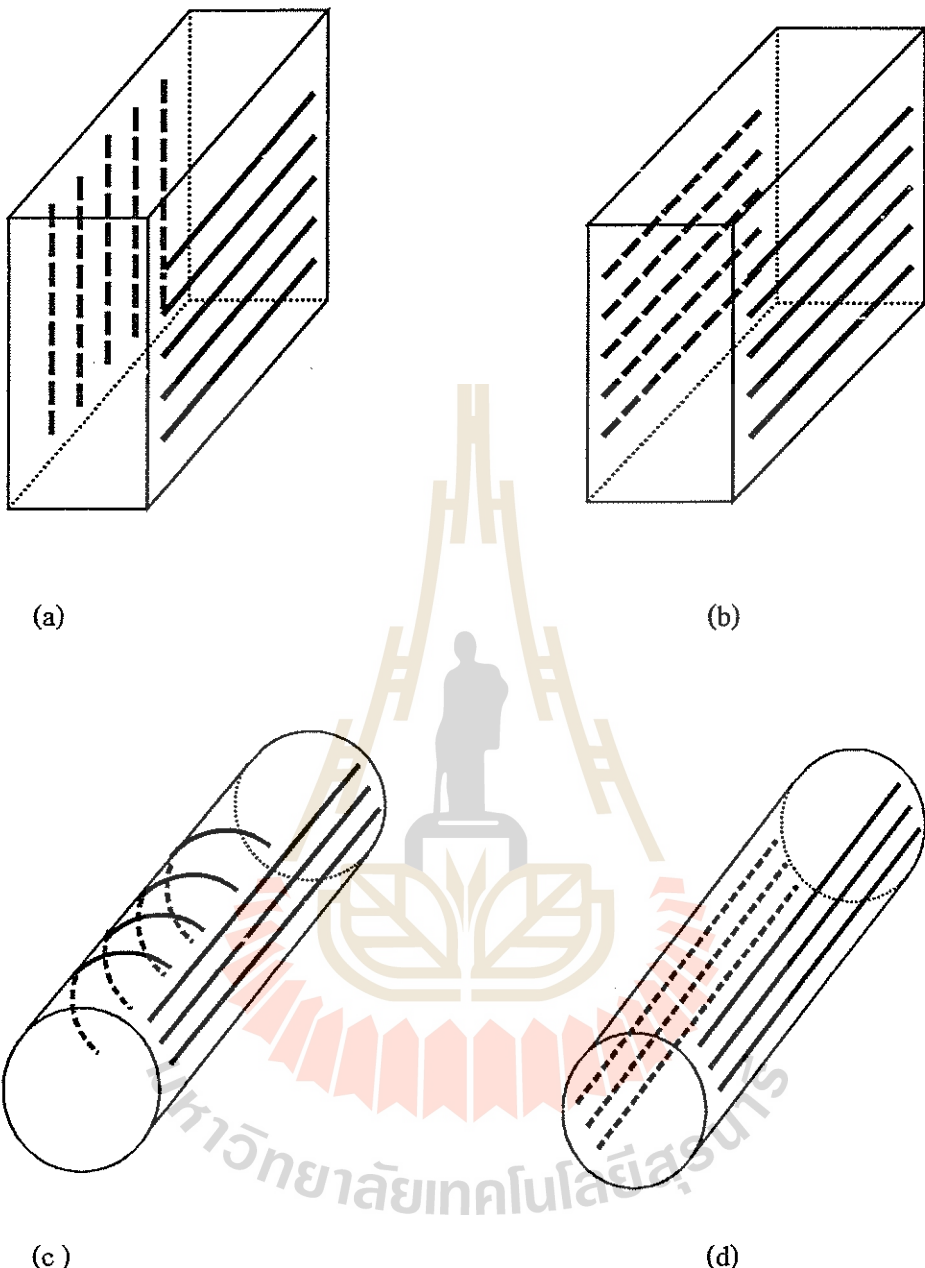
### 4.1 บทนำ

การลดอุณหภูมิของระบบลงจะทำให้พอลิเมอร์ที่อยู่ในสภาวะหลอมเหลวคงผลึกได้ โครงสร้างที่เกิดขึ้นจะมีความเป็นระเบียบมากหรือน้อยขึ้นอยู่กับรูปแบบการลดลงของอุณหภูมิ ถึงแม้ว่าการศึกษาเรื่องกลไกและโครงสร้างของพลีกพอลิเมอร์ได้มีการวิจัยเป็นเวลานานแล้วแต่ยังมีประเด็นที่ซึ่งไม่เป็นที่กระจ่างชัดในปัจจุบันอยู่บ้างโดยเฉพาะอย่างยิ่งการทดสอบของพอลิเมอร์จากสภาวะหลอมเหลวซึ่งมักมีขั้นตอนที่ถูกกระบวนการจากสิ่งแวดล้อมทำให้ผลึกที่ได้มีความแตกต่างจากที่เกิดขึ้นในสภาวะสารละลายเจือจาง หากมีการจำกัดขนาดของระบบในระดับนาโนเมตรจะมีผลต่อกระบวนการทดสอบของพอลิเมอร์จากสภาวะหลอมเหลว นอกจากนี้อาจมีผลจากอันตราริษยาระหว่างผนังที่พื้นผิวกับโมเลกุลพอลิเมอร์ได้ซึ่งเป็นที่ทราบกันดีว่าอันตราริษยาเหล่านี้จะมีผลต่อสมบัติเชิงสกัตและสมบัติเชิงจลน์ของโมเลกุลพอลิเมอร์ที่คำแนะนำ่ใกล้กับผนัง

การลดผลกระทบจากอันตราริษยาของผนังต่อโมเลกุลพอลิเมอร์ในสิ่งแวดล้อมจำกัดทำได้โดยการศึกษาระบบที่มีประสิริษ อย่างไรก็ตามแนวคิดดังกล่าวไม่อาจทำได้โดยง่ายด้วยเทคนิคการทดลองที่มีอยู่ในปัจจุบันแต่จะศึกษาได้ยากหากใช้วิธีการจำลองแบบโมเลกุล การศึกษาระบวนการทดสอบของพอลิเมอร์ด้วยระเบียบวิธีนี้จะต้องใช้เวลาในการคำนวณมากเนื่องจากพอลิเมอร์เป็นโมเลกุลขนาดใหญ่ และมีเวลาการผ่อนคลายนาน หากใช้เทคนิคการจำลองแบบโมเลกุลที่ละเอียดระดับอะตอม เช่น เทคนิกโมเลกุลาร์ไนโนานมิกส์ จะไม่สามารถศึกษาปัญหาดังกล่าวได้ถ้าหากเว้นกรณีที่มีเครื่องคอมพิวเตอร์สมรรถภาพสูง ตัวอย่างเช่นงานวิจัยของ Doi และคณะที่มหาวิทยาลัยนาโภชา ประเทศไทย [25] ได้ใช้เทคนิกโมเลกุลาร์ไนโนานมิกส์ในการศึกษาระบวนการทดสอบของพอลิเมอร์ฟิล์มบาง โดยการลดอุณหภูมิลงอย่างทันทีจาก 500 K สู่ 300K ผลที่ได้พบว่าผลึกจะเกิดขึ้นอย่างเป็นอิสระต่อกันที่บริเวณพื้นผิวทั้งสองของฟิล์มบางโดยไม่จำเป็นต้องมีทิศการขัดเรียงเดียวกัน นิวเคลียสจะเริ่มเกิดขึ้นที่พื้นผิวและผลึกจะแผ่กระจายเข้าไปบริเวณด้านในของฟิล์มจากพื้นทั้งสองด้าน เนื่องจากผลึกทั้งสองส่วนมีการจัดเรียงในทิศที่ต่างกันทำให้การทดสอบแบบสมบูรณ์จึงเกิดขึ้นได้ยาก ผลึกที่ได้จึงยังมีบริเวณที่ไวรัสเบียบและความหนาแน่นต่ำกว่าบริเวณอื่นเหลืออยู่บ้างบริเวณภายในแผ่นฟิล์มซึ่งเกิดจากขอบรอยต่อระหว่างผลึกจากพื้นผิวทั้งสอง

การจำลองแบบระบบพอลิเมอร์ฟิล์มบางด้วยเทคนิคโนเลกุลาร์โดยนามิกส์ข้างต้นให้ผลค่อนข้างคล้ายกันที่ได้จากเทคนิค่อนติ かる์โลซึ่งใช้แบบจำลองโนเลกุลระดับขยายบนโครงผลึกที่มีเลขโකออร์คินชันสูง โดยนิวเคลียสของผลึกจะเกิดขึ้นอย่างอิสระที่พื้นผิวทั้งสองด้านของฟิล์มเมื่อผลักดันของระบบลงอย่างทันที งานนี้จึงแห่เข้าไปบริเวณภายใน เนื่องจากเทคนิค่อนติかる์โลจะใช้เวลาในการคำนวณน้อยกว่าเทคนิคโนเลกุลาร์โดยนามิกส์มาก การตรวจสอบผลลัพธ์กระทำซ้ำได้หลายครั้งโดยใช้โครงสร้างเริ่มต้นของฟิล์มบางที่แตกต่างกัน ผลที่ได้มักเป็นลักษณะเดียวกันคือจะเกิดผลึกทั้งสองด้านโดยมีพิษการจัดเรียงแตกต่างกันและมีบริเวณขอบผลึกที่ไวระเบียบดังรูป 4.1(a) การจำลองแบบด้วยเทคนิค่อนติ かる์โลในบางครั้งอาจทำให้ได้ผลลัพธ์เดียวที่มีพิษการจัดเรียงเดียวกันทั้งสองด้านของฟิล์มหรือได้โครงสร้างเป็นผลึกอย่างสมบูรณ์ดังรูป 4.1(b) ซึ่งไม่พบโครงสร้างนี้หากใช้เทคนิคโนเลกุลาร์โดยนามิกส์ เนื่องจากต้องใช้เวลาในการคำนวณมากเกินกว่าที่จะกระทำได้ในปัจจุบัน นอกจากนี้เมื่อใช้เทคนิค่อนติかる์โล ที่อุณหภูมิต่ำกว่าจุดหลอมเหลวเล็กน้อย (ประมาณ 10 K) จะทำให้ผลึกโครงสร้างไม่สมบูรณ์ในฟิล์มบางเปลี่ยนเป็นผลึกสมบูรณ์ที่ไม่มีบริเวณไวระเบียบได้

ในบทนี้จะเป็นการศึกษาเพิ่มเติมจากการจำลองแบบฟิล์มบางของงานวิจัยในครั้งก่อนโดยจะเป็นการศึกษาในประเด็นที่ว่า หากมีการลดจำนวนพื้นผิวงจาก 2 ด้านเหลือเพียง 1 ด้านจะทำให้กลไกและลักษณะการตกผลึกของพอลิเมอร์เปลี่ยนไปหรือไม่ ระบบที่มีพื้นผิว 1 ด้านในที่นี้คือ nano ไฟเบอร์ ซึ่งแสดงในรูปที่ 4.1(a) และ 4.1(b) ส่วนระบบฟิล์มบางแสดงในรูป 4.1(c) และ 4.1(d) เป็นการเปรียบเทียบแผนภาพตั้งกล่าวแสดงแบบการจัดเรียงของผลึกที่เป็นไปได้ของระบบทั้งสอง งานวิจัยนี้จะเป็นการหาคำตอบว่าผลึกที่เกิดขึ้นใน nano ไฟเบอร์จะมีลักษณะเป็นอย่างไร โดยพิจารณาจากพิษการจัดเรียงของผลึกซึ่งอาจเป็นไปตามแนวแกนของ nano ไฟเบอร์ทั้งหมดหรืออาจมีผลึกบางส่วนที่มีพิษการจัดเรียงแบบอื่น หากผลึกมีการจัดเรียงได้หลายพิษทางแล้วจะเปลี่ยนไปสู่โครงสร้างผลึกแบบสมบูรณ์ได้หรือไม่โดยการเพิ่มอุณหภูมิของระบบให้สูงขึ้น



รูปที่ 4.1 ลักษณะของผลึกที่อาจเกิดขึ้นได้ในการผึ้งของพิล์มบาง (a, b) และนาโนไฟเบอร์ (c, d)

#### 4.2 วิธีการจำลองแบบโนมเลกุล

รายละเอียดของวิธีการจำลองแบบโนมเลกุลได้อธิบายโดยละเอียดในบทที่ 3 แล้ว ในบทนี้จะกล่าวเพิ่มเติมสำหรับการจำลองแบบระบบพอลิเมอร์นาโนไฟเบอร์เท่านั้น การสร้างแบบจำลองนาโนไฟเบอร์จะใช้เทคนิคการลดจำนวนเงื่อนไขขอบเขตเป็นคาบ (periodic boundary condition) ของกล่องจำลองแบบให้เหลือเพียง 1 มิติ โดยเริ่มจากการใช้ การ์โนนิกอต ของชอมเบิล (NVT) ที่อุณหภูมิ 473 K สำหรับระบบที่ประกอบด้วย โนมเลกุลยาร 20 หน่วยบนโครงผลึก (เทียบเท่ากับ  $C_{40}H_{82}$ , *n*-tetracontane เนื่องจาก 1 หน่วยบนโครงผลึกเทียบเท่ากับ โนมเลกุลเอทธิลีน) จำนวน 155 โนมเลกุล โดยใช้กล่องจำลองแบบยาวด้านละ 24 หน่วย (ความยาว 1 หน่วยของโครงผลึกเท่ากับ 2.5 อังสตรอม) ความหนาแน่นที่ใช้มีค่าใกล้เคียงกับความหนาแน่นของผลึกพอลิเอทธิลีน เมื่อระบบเข้าสู่สมดุล ด้านของกล่องจำลองแบบ 2 ด้านจะยืดออก 4 เท่า หรือได้ความยาวแกน  $y$  และแกน  $z$  ใหม่เป็น 96 หน่วย จากนั้นใช้เทคนิคอนติการ์โลที่อุณหภูมิ 473 K ต่อเป็นจำนวนรอบ 2,000,000 MCS จนได้โครงสร้างใหม่เป็นพอลิเมอร์นาโนไฟเบอร์ที่สภาวะหลอมเหลว การตกผลึกกระทำได้โดยลดอุณหภูมิของระบบทันทีจาก 473 K เป็น 298 K จนกระทั่งเข้าสู่สมดุลใหม่ การทดลองปรับโครงสร้างผลึกให้มีการจัดเรียงอย่างสมบูรณ์นั้น กระทำการโดยนำผลึกที่ได้จากสภาวะสมดุลที่ 298 K มาให้ความร้อนที่อุณหภูมิ 380 K ซึ่งเป็นอุณหภูมิที่ค่ากว่าจุดหลอมเหลวของผลึกประมาณ 10 K

#### 4.3 ผลการศึกษาและการอภิปราช

##### 4.3.1 การตกผลึกของนาโนไฟเบอร์

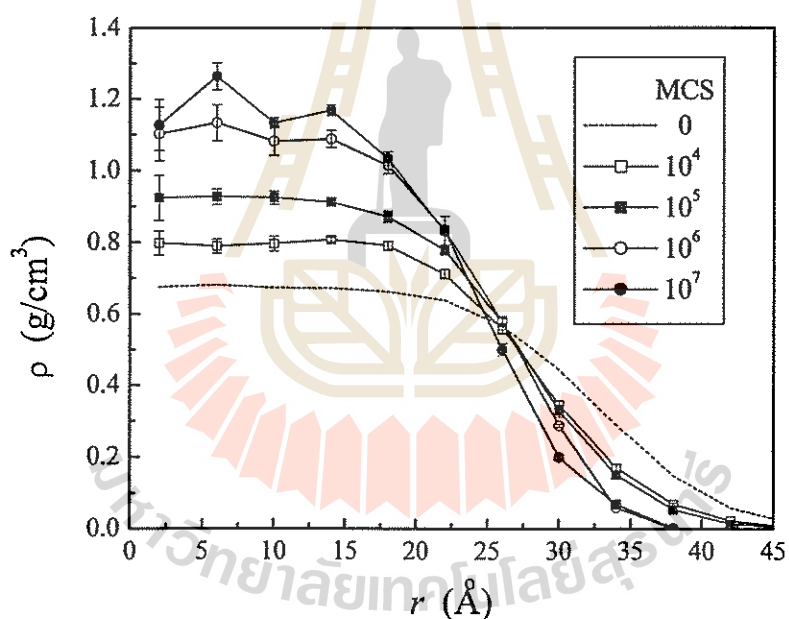
การตรวจสอบการเข้าสู่สมดุลของนาโนไฟเบอร์ที่อุณหภูมิ 298 K (ซึ่งเป็นอุณหภูมิที่ค่ากว่าจุดหลอมเหลวของ *n*-tetraconane ประมาณ 56 K) กระทำการได้โดยพิจารณาจากฟังก์ชันการกระจายความหนาแน่นเชิงรัศมี (radial density profile) และ พารามิเตอร์การจัดเรียง (orientation order parameter) นิยามจากสมการ 3.6 โดยมุม  $\Theta$  ในที่นี้จะเป็นมุมที่เวกเตอร์ของส่วนย่อยในสายโซ่กับแกนไฟเบอร์ พารามิเตอร์การจัดเรียงจะมีค่าเท่ากับ 1 เมื่อมีพิเศษการจัดเรียงขนาดกับแกนไฟเบอร์

การเปลี่ยนแปลงของฟังก์ชันการกระจายความหนาแน่นเชิงรัศมี  $\rho(r)$  ในทิศที่ตั้งฉากกับแกนไฟเบอร์แสดงในรูป 4.2 ผลที่ได้พบว่าความหนาแน่นของนาโนไฟเบอร์จะเพิ่มขึ้นจนใกล้เคียงกับความหนาแน่นของผลึกพอลิเอทธิลีน บริเวณพื้นผิวจะแอบลงเมื่อความหนาแน่นเพิ่มขึ้น ความยาวสห

สัมพันธ์ (๕) จากการกระจายความหนาแน่นเชิงรัศมีห้าได้จากการเทียบกับสมการ 4.1 ซึ่งพบว่ามีค่าลดลงประมาณ 2 เท่าจาก 6 เป็น 3 อังสตรอมที่อุณหภูมิ 298 K

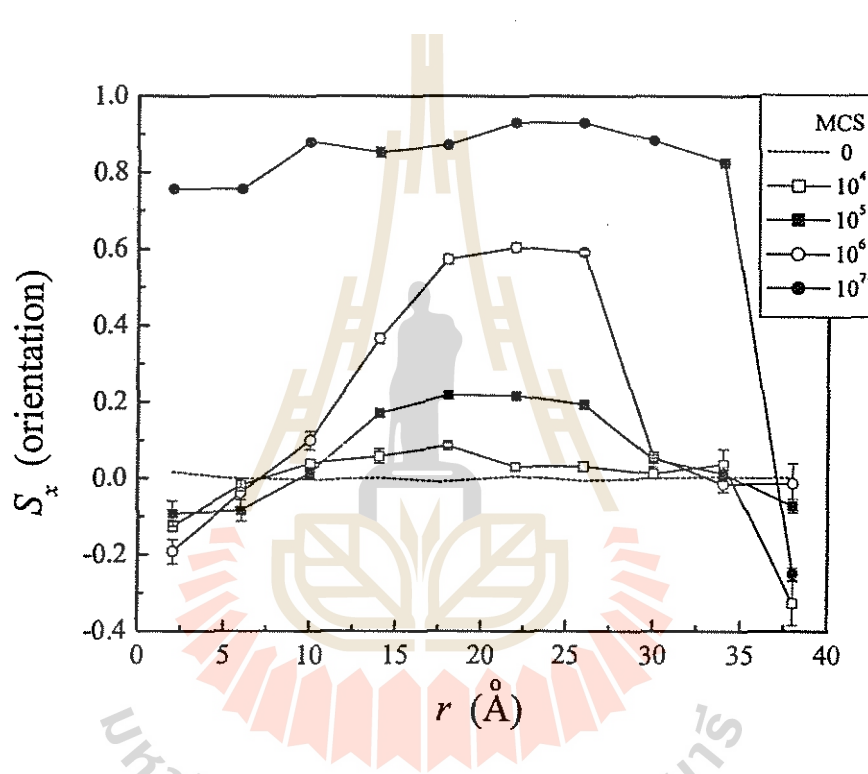
$$\rho(r) = \frac{\rho_B}{2} [1 - \tanh(\frac{r}{\xi})] \quad (4.1)$$

รัศมีที่ทำให้ความหนาแน่นลดลงครึ่งหนึ่ง ( $\rho(r) = \rho_B/2$ ) จะเลื่อนเข้าใกล้แกนไฟเบอร์มากขึ้นเมื่อเวลาผ่านไป ความหนาแน่นจะเพิ่มขึ้นอย่างรวดเร็วในช่วง  $10^6$  MCS แรก จากนั้นจะเปลี่ยนแปลงค่อนข้างน้อยถึงแม้จะใช้วินวนรอบนานถึง  $10^7$  MCS

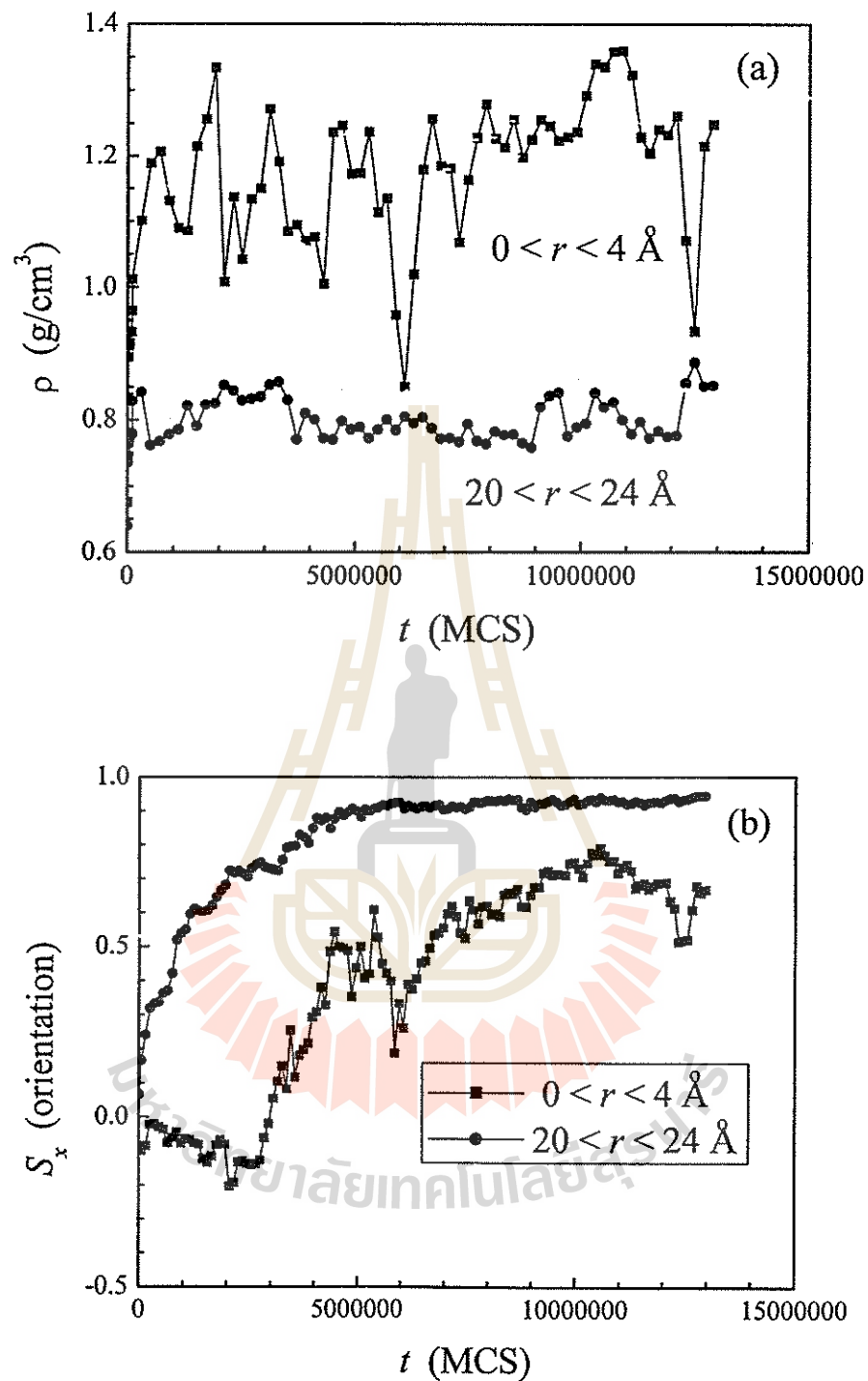


รูปที่ 4.2 การเปลี่ยนแปลงของการกระจายความหนาแน่นเชิงรัศมีของนาโนไฟเบอร์เมื่อลดอุณหภูมิลงจาก 473 K เป็น 298 K ที่จำนวนวนรอบมอนติ คาร์โล (MCS) ต่างๆ

ฟังก์ชันการจัดเรียงของส่วนย่อยในสายโซ่  $S_x(r)$  จะมีลักษณะการตอบสนองที่แตกต่างกันขึ้นกับบริเวณที่พิจารณา จากรูป 4.3 พบว่า  $S_x(r)$  จะเพิ่มขึ้นในช่วงรัศมีที่ความหนาแน่น  $\rho > 0.1 \text{ g/cm}^3$  และจะลดลงที่รัศมีขาวขึ้น โดยเฉพาะบริเวณพื้นผิวซึ่งมีพิศการจัดเรียงนานตามแกนของไฟเบอร์ เวลาที่ใช้ในการปรับพิศการจัดเรียงจะไม่เท่ากันขึ้นกับระยะห่างจากพื้นผิวโดยจะเกิดต้นข้าหัวที่สูญเสียบริเวณใกล้แกนไฟเบอร์

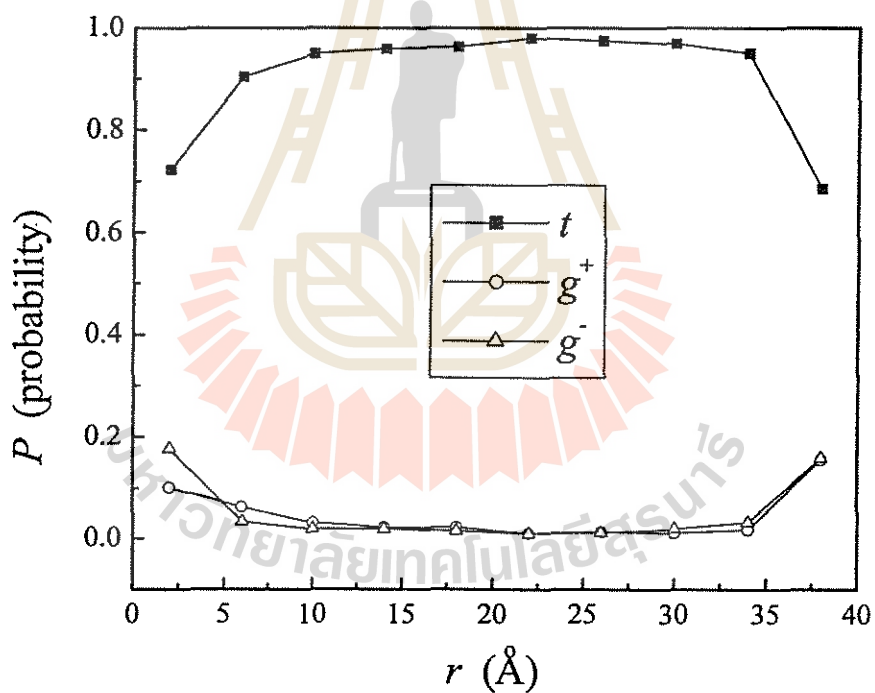


รูปที่ 5.3 ฟังก์ชันการจัดเรียงของส่วนย่อยในสายโซ่เพื่อเทียบกับแกนของนาโนไฟเบอร์ที่จำนวนวนรอบมอนติคาร์โลต่างๆ หลังการลดอุณหภูมิของระบบลงที่ 298 K



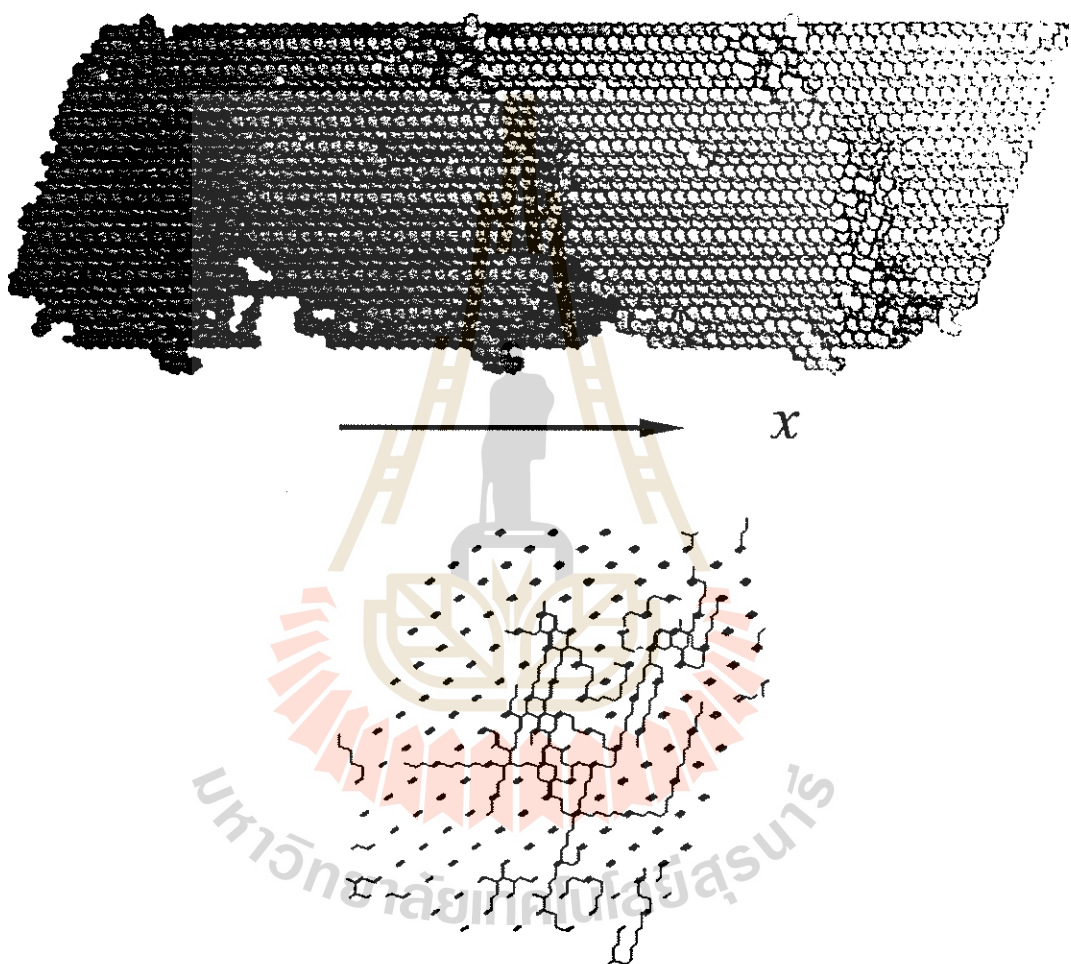
รูปที่ 4.4 การเปลี่ยนแปลงความหนาแน่นและพังก์ชันการอัดเรียงในบริเวณ  $4 \text{ \AA}$  และ  $20 - 24 \text{ \AA}$  จากแกนไฟเบอร์

เมื่อพิจารณาการเปลี่ยนแปลงความหนาแน่นและฟังก์ชันการจัดเรียงบริเวณ  $0 < r < 4$  อังสตรอม (ไกล์กันไไฟเบอร์) และ  $0 < r < 24$  อังสตรอม (ไกล์บบริเวณนิวเคลียลิกของพลีก) พบว่ามีลักษณะแตกต่างกันดังรูปที่ 4.4 ความหนาแน่นทั้งสองส่วนจะเท่ากับ  $0.67 \text{ g/cm}^3$  ในตอนแรก แต่จะมีค่าที่แตกต่างกันอย่างหลัง โดยความหนาแน่นบริเวณที่ไกล์กันกับไไฟเบอร์จะเพิ่มขึ้นมากกว่า สำหรับฟังก์ชันการจัดเรียงนั้นจะเพิ่มน้อยกว่าบริเวณที่เป็นพลีก ผลที่ได้ทำให้สรุปได้ว่า พลีกของโพลิเมอร์จะเกิดขึ้นที่บริเวณพื้นผิวจากนั้นจึงแพร่เข้าไปบริเวณภายใน บริเวณที่ไกล์กันกับไไฟเบอร์จะมีความหนาแน่นสูงถึงแม้ไม่เลกูลจะจัดเรียงเป็นระเบียบน้อยกว่า ความน่าจะเป็นโดยเฉลี่ยของโครงรูปโพลิเมอร์ (trans, gauche+, gauche-) ในนาโนไไฟเบอร์แสดงในรูปที่ 4.5 ผลที่ได้ยืนยันว่าไม่เลกูลโพลิเมอร์จะมีโครงรูปที่ไร้ระเบียบทั้งในบริเวณไกล์กันกับไไฟเบอร์และบริเวณพื้นผิว



รูปที่ 4.5 ความน่าจะเป็นโดยเฉลี่ยของโครงรูปโพลิเมอร์ ( $t$  คือ trans,  $g$  คือ gauche) สำหรับพันธะ C-C ที่ 298 K.

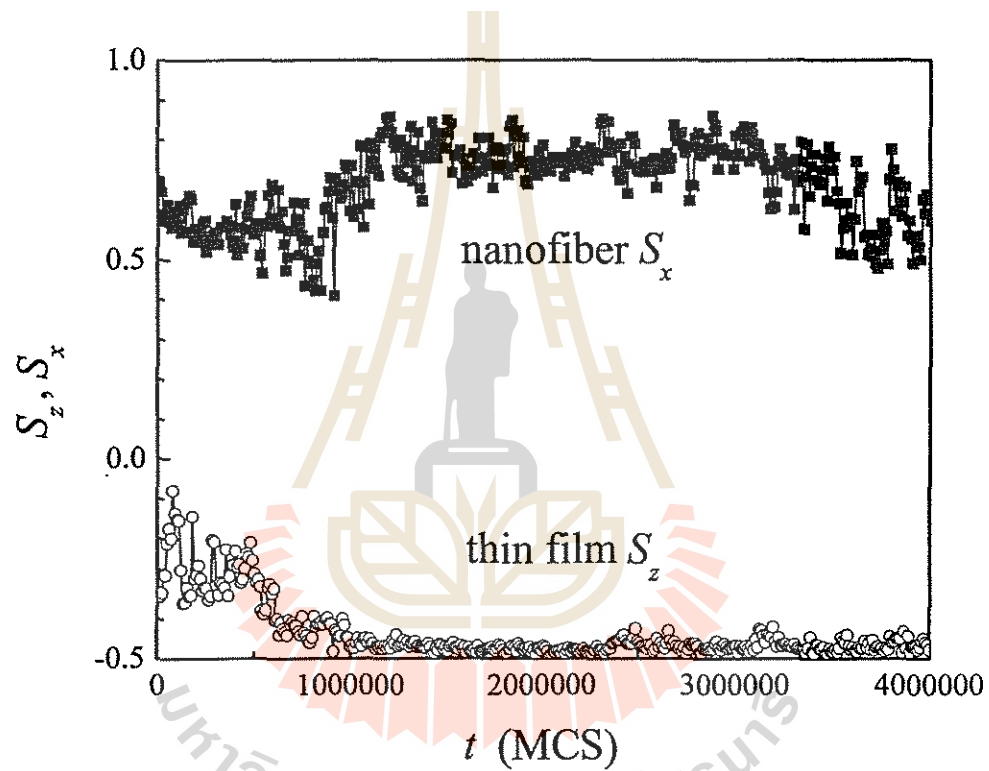
รูปที่ 4.6(a) แสดงโครงสร้างของนาโนไฟเบอร์ที่ได้เมื่อแกน x เป็นแกนของไฟเบอร์ ไม่เลกุล พอลิเมอร์จะมีทิศการจัดเรียงตามแกนไฟเบอร์และมีโครงรูปแบบยึดเก็บทั้งหมด สายโซ่บางส่วนอาจมีโครงรูปที่ไม่ระเบียบได้บ้าง รูป 4.6(b) แสดงภาพตัดขวางในทิศตั้งฉากกับแกนไฟเบอร์ซึ่งจะพบว่ามีส่วนที่ไม่ระเบียบเรียบร้อยใกล้กับแกนไฟเบอร์ นอกจากนี้ยังพบด้วยว่าขอบของไฟเบอร์ที่ได้จะไม่เป็นวงกลมเหมือนกับที่ได้จากการจำลองแบบที่อุณหภูมิสูง



รูปที่ 4.6 โครงสร้างของนาโนไฟเบอร์ที่อุณหภูมิ 298 K (a) ภาพตามแนวแกนนาโนไฟเบอร์ (b) ภาพตัดขวางของนาโนไฟเบอร์

#### 4.3.2 การเปลี่ยนโครงสร้างของนาโนไฟเบอร์ที่อุณหภูมิสูง

เป็นที่คาดได้ว่าการกำจัดบริเวณไร์เรบีบที่เกิดขึ้นอาจกระทำได้โดยการเพิ่มอุณหภูมิของระบบให้สูงพอกกระทั้งพอลิเมอร์เปลี่ยนโครงรูปได้บ้าง โดยทั่วไปจะใช้อุณหภูมิต่ำกว่าจุดหลอมเหลวประมาณ 10 K ซึ่งในที่นี้คือ 380 K รูปที่ 4.7 แสดงการเปลี่ยนแปลงของฟังก์ชันการจัดเรียงเปรียบเทียบกันระหว่างนาโนไฟเบอร์และฟิล์มนาง



รูปที่ 4.7 การเปลี่ยนแปลงของฟังก์ชันการจัดเรียงของนาโนไฟเบอร์และพอลิเมอร์ที่ล้มบางที่อุณหภูมิ 380 K

กรณีของพิล์มนบางพบว่าฟังก์ชันการจัดเรียงบริเวณกึ่งกลางจะลดลงมากในช่วงแรก จากนั้นจึงเพิ่มขึ้นจนมีค่าประมาณ  $-0.1$  และปรับค่าเป็น  $-0.5$  หรือทุกโมเลกุลจัดเรียงบนกันอย่างสมบูรณ์ภายใน  $10^6$  MCS และว่าส่วนที่ไม่ระเบียบในตอนแรกจะกำจัดให้หมดไปได้ สำหรับระบบนาโนไฟเบอร์นั้นพบว่าฟังก์ชันการจัดเรียงจะบังคับมีค่าสูงประมาณ  $0.75$  ถึงแม้จะใช้จำนวนวนรอบอนติ การโดยสารถึง  $4 \times 10^6$  MCS จึงสรุปได้ว่าการกำจัดบริเวณที่ไม่ระเบียบในโครงสร้างของนาโนไฟเบอร์จะกระทำได้มากกว่าระบบพิล์มนบาง

การอธิบายผลที่ได้ข้างต้นทำได้โดยการพิจารณาจากกลไกที่เกิดขึ้น โดยกรณีของนาโนไฟเบอร์นั้นบริเวณที่ไม่ระเบียบจะถูกส้อมคัวค้านที่เป็นผลึกห้องหมุดทำให้โมเลกุลพอลิเมอร์ที่อยู่ในบริเวณดังกล่าวจัดเรียงได้ยากกว่ากรณีของพิล์มนบางซึ่งจะมีค้านที่ส้อมอยู่เพียง 2 ค้าน ถึงแม้จะเพิ่มอุณหภูมิของนาโนไฟเบอร์ให้สูงพอเพื่อกระตุ้นให้ส่ายไปเปลี่ยนโครงรูป การปรับโมเลกุลให้เรียงบนกันห้องหมุดสำหรับนาโนไฟเบอร์จะทำได้ยากเนื่องจากข้อจำกัดในการเคลื่อนที่ของส่ายไปที่แคน

#### 5.4 สรุป

เมื่อนาโนไฟเบอร์ที่ประกอบด้วยพอลิเมอร์สันฐานเป็นตัวลงอย่างรวดเร็วจะเกิดผลึกขึ้น โดยความหนาแน่นของระบบจะเพิ่มขึ้นตามด้วยการปรับทิศการเรียงคัวของส่ายไปให้เรียงบนกัน ผลึกที่ได้จะเป็นผลึกเดี่ยวและมีการจัดเรียงในทิศเดียวกัน โดยจะบนกันกับแกนของไฟเบอร์ซึ่งต่างจากผลึกที่เกิดขึ้นในพิล์มนบางโดยมักมีบริเวณผลึกมากกว่า 1 กลุ่มและมีทิศการจัดเรียงแตกต่างกัน ผลึกที่ได้ในนาโนไฟเบอร์จะมีความไม่ระเบียบและความหนาแน่นต่ำบนอยู่บังซึ่งเกิดขึ้นบริเวณใกล้แกนไฟเบอร์ การกำจัดบริเวณไม่ระเบียบดังกล่าวโดยการเพิ่มอุณหภูมิของระบบให้สูงขึ้นไม่อาจทำได้โดยง่ายซึ่งต่างจากกรณีของพอลิเมอร์พิล์มนบาง

បរទោនកម្ម

1. National Research Council *Polymer Science and Engineering: The Shifting Research Frontier*, National Academy Press, Washington D.C., 1994
2. Garbassi F.; Morra, M.; Occhiello, E. *Polymer Surfaces: From Physics to Technology*; Chichester, New York: Wiley, 1994.
3. IC Sanchez, editor. Physics of polymer surface and interfaces. Boston: Butterworth-Heinemann, 1992.
4. E Eisenriegler, Polymer near surfaces. Singapore: World Scientific, 1993.
5. AN Semenov, JF Joanny, A Johner, In: A Grosberg, editor. Theoretical and mathematical models in polymer research. San Diego: Academic Press, 1998.
6. GJ Fleer, MA Cohen Stuart, JMHM Scheutjens, T Cosgrove, B Vincent, *Polymers at interfaces*, Chapman & Hall, Cambridge, 1993.
7. Theodorou, D. N.; Suter, U. W. *Macromolecules.*, 1985, 18, 1476.
8. KF Mansfield, DN Theodorou, *Macromolecules*, 1990, 23, 4430.
9. DY Yoon, M Vacatello, GD Smith, In: K Binder, editor. Monte Carlo and molecular dynamics simulations in polymer science. New York: Oxford University Press, 1995.
10. Rapold, R. F.; Mattice, W. L. *J. Chem. Soc. Faraday Trans.* 1995, 91, 2435.
11. J Baschnagel, K Binder, P Doruker, AA Gusev, O Hahn, K Kremer, WL Mattice, F Muller-Plathe, M Murat, W Paul, S Santos, UW Suter, V Tries, *Adv. Polym Sci.* 2000, 152, 41.
12. Flory, P. J. *Statistical Mechanics of Chain Molecules*, Wiley, New York, 1969.
13. J Skolnick, A Kolinski, *Science*, 1990, 250, 1121; A Kolinski, J Skolnick, *J. Chem. Phys.*, 1992, 97, 9412; A Kolinski, A Godsik, J Skolnick, *J. Chem. Phys.*, 1993, 98, 7420.
14. RF Rapold, WL Mattice, *Macromolecules* 1996, 29, 2457.
15. J Cho, WL Mattice, *Macromolecules* 1997, 30, 637-644.
16. RF Rapold, WL Mattice, *J. Chem. Soc. Faraday Trans.* 1995, 91, 2435; P Doruker, WL Mattice, *Macromolecules* 1997, 30, 5520.; P Doruker, WL Mattice, *Macromol. Theory Simul.* 1999, 8, 463.
17. T Haliloglu, WL Mattice, *J. Chem. Phys.* 1998, 108, 6989.; T Haliloglu, J Cho, WL Mattice, *Macromol. Theory Simul.* 1998, 7, 613.

18. T Clancy, JH Jang, A Dhinojwala, WL Mattice, *J. Phys. Chem. B.* **2001**, *105*, 11493
19. T Clancy, WL Mattice, *Macromolecules* **2001**, *34*, 6482.
20. JH Jang, WL Mattice, *Polymer* , *40*, **1998**, 4685.; JH Jang, WL Mattice, *Macromolecules* **2000**, *33*, 1467
21. T Haliloglu, WL Mattice, *J. Chem. Phys.* **1999**, *111*, 4327.; T Clancy, M Putz, JD Weinhold, JG Curro, WL Mattice, *Macromolecules* **2000**, *33*, 9452; D Akten, WL Mattice, *Macromolecules* **2001**, *34*, 3389; T Clancy, WL Mattice, *J. Chem. Phys.* **2001**, *115*, 8221
22. P Doruker, WL Mattice, *Macromolecules* **1998**, *31*, 1418.; P Doruker, WL Mattice, *J. Phys. Chem. B* **1999**, *103*, 178.; P Doruker, WL Mattice, *Macromolecules* **1999**, *32*, 194; JH Jang, R Ozisik, WL Mattice, *Macromolecules* **1998**, *33*, 7663; P Doruker, WL Mattice, *Macromol. Theory Simul.* **2001**, *10*, 363.
23. V Vao-soongnern, P Doruker, Mattice, W. L. *Macromol. Theory Simul.*, *1*, **2000**, *1*; V Vao-soongnern, WL Mattice, *Langmuir*, *16*, **2000**, 6757; V Vao-soongnern, WL Mattice, *Macromol. Theory Simul.*, *9*, **2000**, 570.
24. F. Fukui, B. G. Sumpter, M. D. Barnes, D. W. Noid, *Polym. J.* **31**, 664 (1999); F. Fukui, B. G. Sumpter, M. D. Barnes, D. W. Noid, *Comput. Theor. Polym. Sci.* **9**, 245 (1999); K. Fukui, B. G. Sumpter, M. D. Barnes, D. W. Noid, J. U. Otaigbe, *Macromol. Theor. Simul.* **8**, 38 (1999); K. Fukui, B. G. Sumpter, M. D. Barnes, D. W. Noid, *Macromolecules* **33**, 5982 (2000); K. Fukui, B. G. Sumpter, D. W. Noid, C. Yang, R. E. Tuzun, *Comput. Theor. Polym. Sci.* **11**, 191 (2001)

ภาคผนวก

ผลงานตีพิมพ์จากงานวิจัยนี้

1. Monte Carlo Simulation of the Structures and Dynamics of Amorphous Polyethylene Nanoparticles. Visit Vao-soongnern, Rahmi Ozisik, Wayne L. Mattice, *Macromol. Theory Simul.*, 2001, 10, 553-653.
2. Similarities and Differences in the Rapid Crystallization Induced in *n*-Tetracontane by an Instantaneous Deep Quench of the Free-Standing Nanofiber and Free-Standing Thin Film. Guoqiang Xu, Visit Vao-soongnern, Wayne L. Mattice, *Macromol. Theory Simul.*, 2002, 11, 494-500.
3. Monte Carlo Simulation of Polyethylene Nanoparticles: Structure Formation of Short Chains below its Melting Temperature Visit Vao-soongnern, Guoqiang Xu and Wayne L. Mattice *Preceeding of The 6<sup>th</sup> Annual National Symposium on Computational Science and Engineering (ANSCSE)*, Walailak University, Bangkok, Thailand, 2002.
4. Monte Carlo Simulation of the Crystallization of Nanoparticle of *n*-tetracontane Visit Vao-soongnern, Guoqiang Xu and Wayne L. Mattice *Proceeding of IUPAC WORLD POLYMER CONGRESS 2002: 39<sup>th</sup> International Symposium on Macromolecules*, Beijing, China, July 5-12 2002.

## ประวัตินักวิจัย

ดร.วิสิษฐ์ แวงสูงเนิน เกิดที่ อำเภอค่ายบ้านบุนทด จังหวัดนครราชสีมา วันที่ 19 กันยายน 2515 ได้รับการศึกษาขั้นป्रogramsศึกษาที่โรงเรียนพยัคฆ์วิทยาและมัธยมศึกษาตอนต้นที่โรงเรียนมัธยมค่ายบ้านบุนทด จากนั้นได้ผ่านการคัดเลือกให้รับทุนโครงการพัฒนาและส่งเสริมผู้มีความสามารถพิเศษทางวิทยาศาสตร์และเทคโนโลยี (พสวท.) และได้เดินทางไปศึกษาต่อระดับมัธยมศึกษาตอนปลายที่โรงเรียนแก่นกรวิทยาลัยชั้นจบมัธยมศึกษาปีที่ 6 หลังจากนั้นจึงเข้าศึกษาต่อระดับอุดมศึกษาที่คณะวิทยาศาสตร์ มหาวิทยาลัยขอนแก่น โดยเลือกสาขาวิเคมีเป็นวิชาเอก จนการศึกษาระดับปริญญาตรีด้วยเกียรตินิยมอันดับ 1 ในปี พ.ศ. 2537 และได้เดินทางไปศึกษาต่อที่ประเทศสหรัฐอเมริกาด้วยทุนโครงการพสวท. โดยเลือกศึกษาที่สาขาวิชา Polymer Science มหาวิทยาลัย Akron มลรัฐ Ohio จนจบการศึกษาระดับปริญญาเอกในปี 2542 ได้เดินทางกลับประเทศไทยในปีเดียวกันและเริ่มปฏิบัติงานที่สาขาวิชาเคมี มหาวิทยาลัยเทคโนโลยีสุรนารี จังหวัดนครราชสีมา โดยรับผิดชอบการสอนและเป็นอาจารย์ที่ปรึกษานักศึกษาทั้งระดับปริญญาตรีและบัณฑิตศึกษา ต่อมาในปี 2546 จึงได้เดินทางไปที่วิจัยเพื่อเตรียมทางด้านการจำลองแบบโมเดลของระบบพอลิเมอร์ พสมและลือกโคงพอลิเมอร์ที่ภาควิชา Material Science and Engineering, Seoul National University, South Korea เป็นเวลา 6 เดือน

งานวิจัยหลักที่สนใจจะเกี่ยวข้องกับเคมีเชิงพิสิกส์ของพอลิเมอร์ การจำลองแบบโมเดล และเคมีคำนวณ นอกจากนี้ยังได้เริ่มทำงานวิจัยประยุกต์ 2 หัวข้อ ได้แก่ การศึกษาพอลิเมอร์อิเล็กโทรไลท์และพอลิเมอร์นาโนคอมโพลิตเพื่อใช้เป็นสารอิเล็กโทรไลท์ในแบตเตอรี่และการศึกษาพอลิเมอร์ไมเซลล์เพื่อใช้ในการขนส่งยาในร่างกาย นอกจากนี้ยังมีผลงานการเขียนหนังสือ 1 เล่ม คือ เคมีเชิงพิสิกส์ของพอลิเมอร์ เพื่อใช้ประกอบการสอนวิชาหัวข้อเลือกสรรทางเคมีเชิงพิสิกส์ที่มหาวิทยาลัยเทคโนโลยีสุรนารี

